

# ΠΑΘΟΒΙΟΛΟΓΙΑ ΤΗΣ ΠΕΡΙΡΙΖΙΚΗΣ ΜΟΝΟΧΩΡΗΣ ΑΚΤΙΝΟΔΙΑΥΓΑΣΗΣ

Π. ΟΙΚΟΝΟΜΟΠΟΥΛΟΥ\*, Α. TRIANTAFYLLOU\*\*

## ΠΕΡΙΛΗΨΗ

**A**κρο-/πλαγιο-ριζικές μονόχωρες ακτινοδιαισγάσεις οφείλονται σε απορρόφηση ή αντικατάσταση φατνιακού οστού από χωροκατακτητικές μάζες (φλεγμονή που μπορεί να είναι συμπαγής ή κυστική, ιδιοπαθής κύστη, ογκόμορφες δυσπλαστικές ή μη διεργασίες, οστεολυτικά νεοπλάσματα). Οι περισσότερες είναι χρόνιες φλεγμονές γύρω από ακροριζικά τρίματα ριζικών σωλήνων με νεκρό πολφό. Κατ' εξοχήν αντιπροσωπεύουν κοκκιώδη ιστό, ακρο-/πλαγιο-ριζική κύστη, αθηρωματόμορφη εναπόθεση κρυστάλλων χοληστερόπιτς και αντίδραση σε εμφρακτικά υλικά, δύσπρια ή πλαχανικά. Επίσης, είναι συχνή κυστική φλεγμονή από περιστεφανίτιδα (παροδοντική κύστη). Οι ακρο-/πλαγιο-ριζικές και παροδοντικές κύστεις επενδύονται με διαφόρους αριθμούς στιβάδες επιθήλιο, απότοκο οδοντικών νησίδων στην περιοδοντική μεμβράνη, που συνεκφράζει κυτταροκερατίνες μη κερατινοποιούμενων πολύστιβων και απλών επιθηλίων. Το επενδυτικό επιθήλιο, που σχετίζεται συχνά με υπεραιμικά τριχοειδή, χαρακτηρίζεται από υπερπλασία (ενίστε ύπονταν και υποδυόμενη ενδοαιθηλικό μονόχωρο αδαμαντινοβλάστωμα), μετάπλαση (βλεννώδη, κροσσωτά κύτταρα) και ατροφία μέσω απόπτωσης ή αυτοφαγοκυττάρωσης (υπολειμματική κύστη). Σε απλοιώσεις των υπεραιμικών τριχοειδών οφείλονται τα σωμάτια Rushton. Μακροφάγα και ποικιλίες τους είναι σημαντικά στην περιριζική φλεγμονή. Σε συνδυασμό με φαγοκυττάρωση πλιπίδων (λιποπρωτεΐνες, μεμβράνες εξαγγειωθέντων ερυθροκυττάρων) και κυκλοφορικές διαταραχές στον περιοδοντικό σύνδεσμο, προκαλούν εναπόθεση χοληστερόπιτς. Συσώρευση φαγοσωμάτων στο κυτταρόπλασμά τους υπενθυμίζει κοκκιοκυτταρικούς όγκους, και μπορεί να επισυμβεί ενασβεστώση φαγοσωμάτων (μαλακοπλακία). Ενίστε, οι παραπάνω μη ειδικές περιριζικές φλεγμονές περιέχουν βακτήρια, π.χ. ακτινομύκτες. Περιριζική επιθηλιοειδής κοκκιωματώδης φλεγμονή, εκδήλωση σαρκοείδωσης ή υπερευαισθησίας σε εμφρακτικό υλικό, και ιδιοπαθείς (πλάγιες περιοδοντικές) κύστεις είναι σπάνιες. Σπάνια επίσης συναντώνται ογκόμορφες βλαστήσεις (ακροριζική οστική δυσπλασία, οστεοκλαστική γιγαντοκυτταρική βλάβη) και οστεογενή νεοπλάσματα (οστεοειδές οστέωμα, οστεοποιούμενο ίνωμα) ή νεοπλάσματα αιμοποιητικού ιστού (βλαστική νόσος από κύτταρα Langerhans, πλευχαιμία). Οι σπάνιες ενδο- ή περι-νευρικές νησίδες οδοντογενούς επιθηλίου σε ακροριζικές φλεγμονές δεν θα πρέπει να συγχέονται με διάθηση από κακόθες νεόπλασμα. Το φάσμα των παθολογικών εξεργασιών που εμφανίζονται ως περιριζική μονόχωρη ακτινοδιαιύγαση είναι ευρύ. Για την ορθή διάγνωση και αντιμετώπισή τους, ο οδοντίατρος θα πρέπει να αποστέλλει τους μαλακούς ιστούς που εξαιρεί γύρω από ρίζες δοντιών, για παθολογοανατομική εξέταση.

Ανακοινώθηκε στο 26ο Πανελλήνιο Οδοντιατρικό Συνέδριο της Ελληνικής Οδοντιατρικής Ομοσπονδίας - Αθήνα, 2-5 Νοεμβρίου 2006.

Από τον Τομέα Παθολογίας και Χειρουργικής Στόματος του Οδοντιατρικού Τμήματος του Πανεπιστημίου Αθηνών και το Pathology Laboratory, Department and School of Dental Studies, The University of Liverpool, Liverpool, United Kingdom.

\* Αναπληρώτρια Καθηγήτρια Στοματολογίας, Τομέας Παθολογίας και Χειρουργικής Στόματος, Οδοντιατρικό Τμήμα, Πανεπιστήμιο Αθηνών.

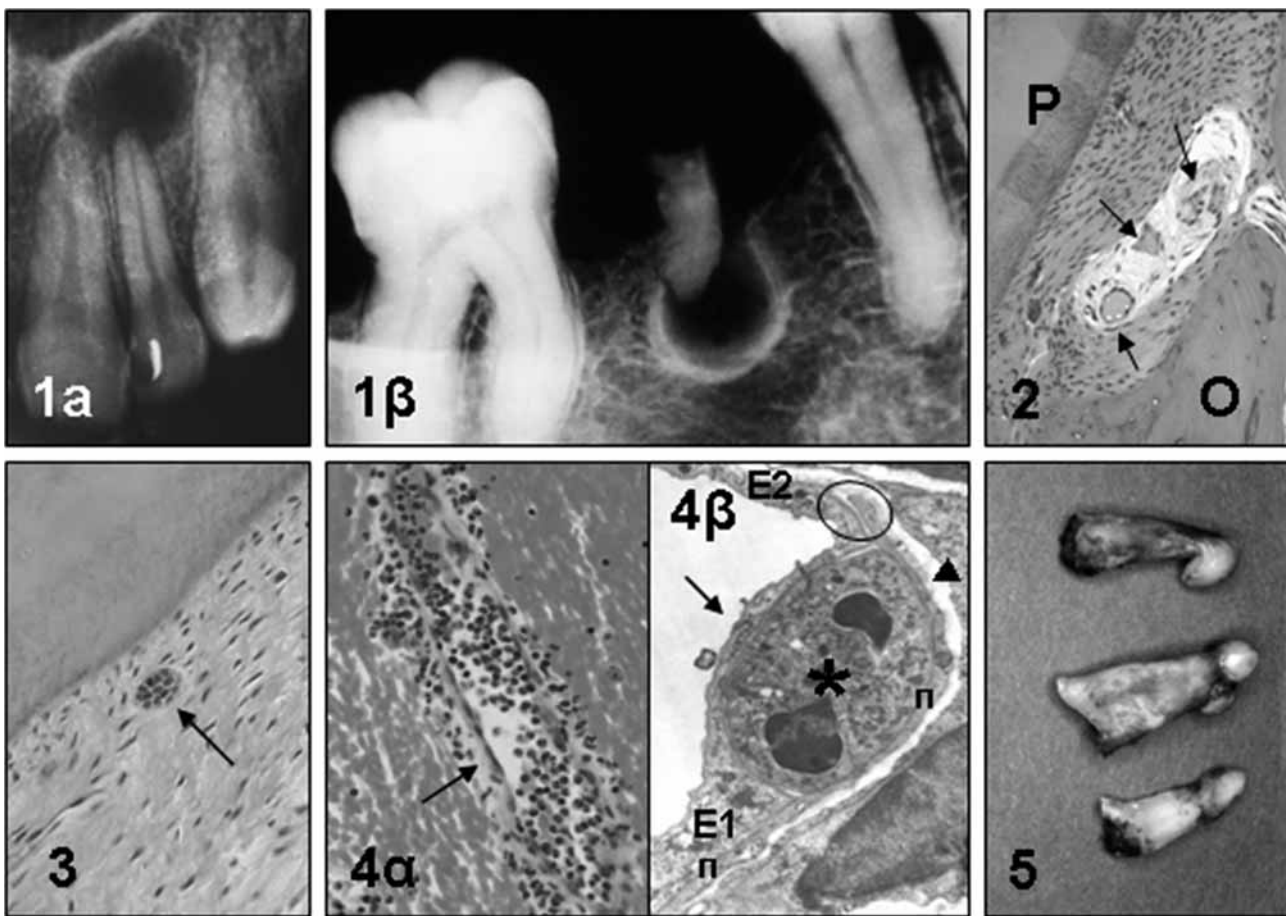
\*\* Lecturer in Oral Pathology, Pathology Laboratory, Department and School of Dental Studies, The University of Liverpool, Liverpool, United Kingdom.

ΟΡΟΙ ΕΥΡΕΤΗΡΙΑΣΜΟΥ: Ακτινοδιαιύγαση, Δόντι, Κύστη, Νεόπλασμα, Φλεγμονή.

## ΕΙΣΑΓΩΓΗ - ΤΑΞΙΝΟΜΗΣΗ

Στην παρούσα ανασκόπηση χρησιμοποιείται ο όρος «περιριζική» για τη μονολεκτική περιγραφή της τοπογραφίας του φατνιακού οστού γύρω από το ακρορίζιο ενός δοντιού, μεταξύ των ριζών δύο γειτονικών δοντιών, μεταξύ των ριζών ενός γομφίου, και σε επαφή με την άπω ρίζα ενός ημιέγκλειστου κάτω τρίτου γομφίου.

Περιριζική μονόχωρη, στρογγύλη ή ελλειψοειδής, ακτινοδιαιύγαση, αναγνωρίζεται εύκολα στο κοινό οδοντιατρικό ακτινογράφημα (εικ. 1) και συναντάται συχνά στο οδοντιατρείο. Η επιτυχής



αντιμετώπισή της βασίζεται στην κατανόηση της σχετικής υπεύθυνης παθοβιολογίας. Παρουσιάζονται οι απόψεις των συγγραφέων για την παθοβιολογία αυτή, όπως διαμορφώθηκαν από την πολυετή σπουδή πληθώρας βιοψιών και άφθονου παθολογοανατομικού υλικού με ποικίλες μορφολογικές τεχνικές. Στη μεθοδολογία αυτή θα πρέπει να αποδοθούν οι όποιες διαφορές με συγγράμματα Παθολογίας Στόματος ή Ενδοδοντίας<sup>1-4</sup>. Πιθανώς ο κατάλογος των νοσολογικών οντοτήτων που συζητούνται δεν είναι πλήρης, αφού αντιπροσωπεύει την εμπειρία των συγγραφέων και όχι βιβλιογραφικά δεδομένα. Επέκταση ή τροποποίησή του πλόγων νέων εμπειριών, είναι αναμενόμενη.

Η περιριζική μονόχωρη ακτινοδιαύγαση, όπως συζητείται εδώ, αντικατοπτρίζει: (1) τοπική καταστροφή περιοδοντικής μεμβράνης και του γύρω φατνιακού οστού, η οποία δεν σχετίζεται με περιοδοντίτιδα· (2) δυσγενετική αντικατάσταση οστού από δυσπλαστικό ιστό. Οι αιτίες είναι ποικίλες και στηρίζουν το σύστημα ταξινόμησης που χρησιμοποιείται (πίν. 1). Η πιο συχνή αιτία είναι χρόνια φλεγμονή στην περιοδοντική μεμ-

βράνη δοντιών με νεκρό συνήθως πολφό. Λιγότερο συχνές αιτίες είναι οι ιδιοπαθείς κύστεις, χωροκατακτητικές δυσπλαστικές (δυσγενετικές) ή μή διεργασίες, και νεοπλάσματα που δεν σχετίζονται με πολφική νέκρωση.

## ΠΕΡΙΡΙΖΙΚΗ ΧΡΟΝΙΑ ΦΛΕΓΜΟΝΗ

Αυτή είναι συνήθως μή ειδική και στις περισσότερες περιπτώσεις αναπτύσσεται γύρω από το ακροριζικό τρίγμα του κύριου ριζικού σωλήνα (ακροριζική εντόπιση) ή επικουρικών (παραπλευρων) ριζικών σωλήνων (πλαγιοριζική εντό-

**Πίνακας 1.** Αιτιολογία της περιριζικής μονόχωρης ακτινοδιαύγασης

- Χρόνια φλεγμονή
- Ιδιοπαθείς κύστεις
- Δυσγενετικές διεργασίες (δυσπλασίες)
- Ογκόμορφες χωροκατακτητικές διεργασίες και νεοπλάσματα

**Εικ. 1.** α. Τυπική περιοριζική μονόχωρη ακτινοδιαύγαση όπως παρατηρείται στο κοινό οδοντιατρικό ακτινογράφημα. Είναι περιγεραμένη, συνέχεται με την περιοδοντική μεμβράνη του πλάγιου τομέα και δεν περιβάλλεται από άλλω. Η βαθειά έμφραξη εξικνείται στον πολφό. β. Ακτινοσκιερή άλως περιβάλλει την ακτινοδιαύγαση γύρω από την υπολειματική ρίζα και αντιπροσωπεύει αντιδραστική οστεοπύκνωση, αποτέλεσμα διέγερσης οστεοβλαστών από ήπιο τοπικό ερεθίσμα. Το εύρημα θεωρείται «κλασικό», αλλά είναι ασύνθετης.

**Εικ. 2.** Ιστολογική εικόνα αγγείων (βέλη) της περιοδοντικής μεμβράνης. Τα αγγεία είναι πεπτοτοιχωματικά και κατασκηνούν σε «ωχρή» υνσίδα χαλαρού υποστρώματος, ανάμεσα στις βαθύτερες χρωματισμένες κοιλήσεις δεσμίδες. Το περιορισμένο σε έκταση περιαγγειακό χαλαρό υπόστρωμα και ο εγκλεισμός της περιοδοντικής μεμβράνης μεταξύ ανένδοτων δομών, ρίζα (P) και φατνιακό οστούν (O), δεν είναι ιδεατό μικροπεριβάλλον για εξίδρωση και μετανάστευση πλευκούτταρων. Το γεγονός, σε συνδυασμό με τη νευροβρίθεια της περιοδοντικής μεμβράνης, εξηγεί το άλγος που χαρακτηρίζει αρχικά την περιοριζική φλεγμονή. Το περιαγγειακό χαλαρό υπόστρωμα φαίνεται ότι είναι συνέχεια εκείνου σωλήνων που διατηρούν το συμπαγές φατνιακό οστούν για να μεταφέρουν αγγεία και νεύρα. Ένας σωλήνας είναι ορατός στο μέσο της δεξιάς πλευράς του μικροφωτογραφήματος. Η οδοντίνη και η βαθύτερη χρωματισμένη οστεΐνη της ρίζας είναι ευδιάκριτες (αιματοξυλίνη-πωσίνη).

**Εικ. 3.** Ιστολογική εικόνα υπολειμματος Malassez (βέλος) στην περιοδοντική μεμβράνη. Το υπόλειμμα φαίνεται ως υνσίδα και όχι ως δοκίδα, γιατί η επιθηλιακή χορδή έχει τμηθεί εγκάρσια κατά τη διάρκεια της ιστολογικής τεχνικής. Τμήμα της ρίζας στο άνω αριστερό τμήμα του μικροφωτογραφήματος (αιματοξυλίνη-πωσίνη).

**Εικ. 4.** α. Ιστολογική εικόνα οξείας οστεομυελίτιδας γνάθου. Ο πλοξός κεντρικός «σωλήνας» που πορεύεται από άνω αριστερά προς τα κάτω δεξιά είναι πεπτοτοιχωματικό αγγείο σε αιμορραγικό υπόστρωμα. Το βέλος υποδεικνύει το τοίχωμα του αγγείου. Πολυάριθμα, μικρά, στρογγυλά και βαθέως χρωμένα κύτταρα, κυρίως ουδετερόφιλα πολυμορφοφόρων, βρίσκονται σε ενδοαγγειακά, διατοιχωματικά και περιαγγειακά στάδια μετανάστευσης (αιματοξυλίνη-πωσίνη). β. Ουδετερόφιλο πολυμορφοφόρων (αστερίσκος) που μεταναστεύει μέσω του τοιχώματος πεπτοτοιχωματικού αγγείου, όπως παρατηρείται με το πλεκτρονικό μικροσκόπιο. Το ουδετερόφιλο έχει ήδη διοισισθήσει μεταξύ δύο ενδοθηλιακών κυττάρων (E1, E2), και εντοπίζεται μεταξύ αυτών και πεπλατισμένου περικυττάρου (P). Το ενωτικό σύμπλεγμα των ενδοθηλιακών κυττάρων έχει αποκατασταθεί και επισημαίνεται με βέλος. Μόνο τμήματα των ενδοθηλιακών κυττάρων και του περικυττάρου περιέχονται στο μικροφωτογράφημα. Η παριφή του περικυττάρου αναγνωρίζεται στην περιοχή που περικλείεται από έλλειψη. Αιχμή βέλους υποδεικνύει τη βασική μεμβράνη που περιβάλλει το περικύτταρο. Σιαλογόνος αδένας γάτας μετά από πειραματική περίδεση του κύριου εκφορπτικού πόρου (κιτρικός μόλυβδος).

**Εικ. 5.** Μακροσκοπική όψη ακροριζικών σαρκωδών υπόλευκων «ογκιδίων» που συναφαιρέθηκαν με υπολειμματα ρίζων, μονιμοποιήθηκαν και υποβρήθηκαν σε παθολογοανατομική εξέταση. Η συναφάρεση δεν είναι πάντοτε δυνατή. Εκτός από την ικανότητα του χειρουργού - οδοντιάτρου, επηρεάζεται από τις ισορροπίες φλεγμονής και επιδιόρθωσης. Όταν η φλεγμονή βρίσκεται σε έξαρση, η εξίδρωση είναι έντονη και οι εξαγγειούμενες ουσίες αντιδρούν με τη φιμπρονεκτίνη του διάμεσου υποστρώματος. Η αντίδραση προάγει τη συνεκτικότητα των ιστών με συνέπεια κερματισμό κατά τη διάρκεια των χειρισμών. Αντίθετα, όταν η φλεγμονή υποστρέφεται, οι διεργασίες επιδιόρθωσης (ίνωση) συμβάλλουν στη δημιουργία «φλοιού» που διευκολύνει τους χειρισμούς «αποφλοίωσης» και την *in toto* αφαίρεση του παθολογικού ιστού μαζί με το δόντι.

πιση), «πηγή» φλεγμονογόνων ερεθισμάτων πόρων πολφικής νέκρωσης. Η φλεγμονή μπορεί να συνοδεύεται από διεργασίες επιδιόρθωσης, να είναι συμπαγής ή κυστική και να σχετίζεται με τοπική αθηρωμάτωση (εναπόθεση χοληστερόλης) ή αντίδραση ξένου σώματος. Σπάνια μπορεί να παρατηρηθεί ειδική επιθηλιοειδής κοκκιωματώδης φλεγμονή (πίν. 2).

Χρόνια φλεγμονή και επιδιόρθωση στην περιοδοντική μεμβράνη και το φατνιακό οστούν είναι

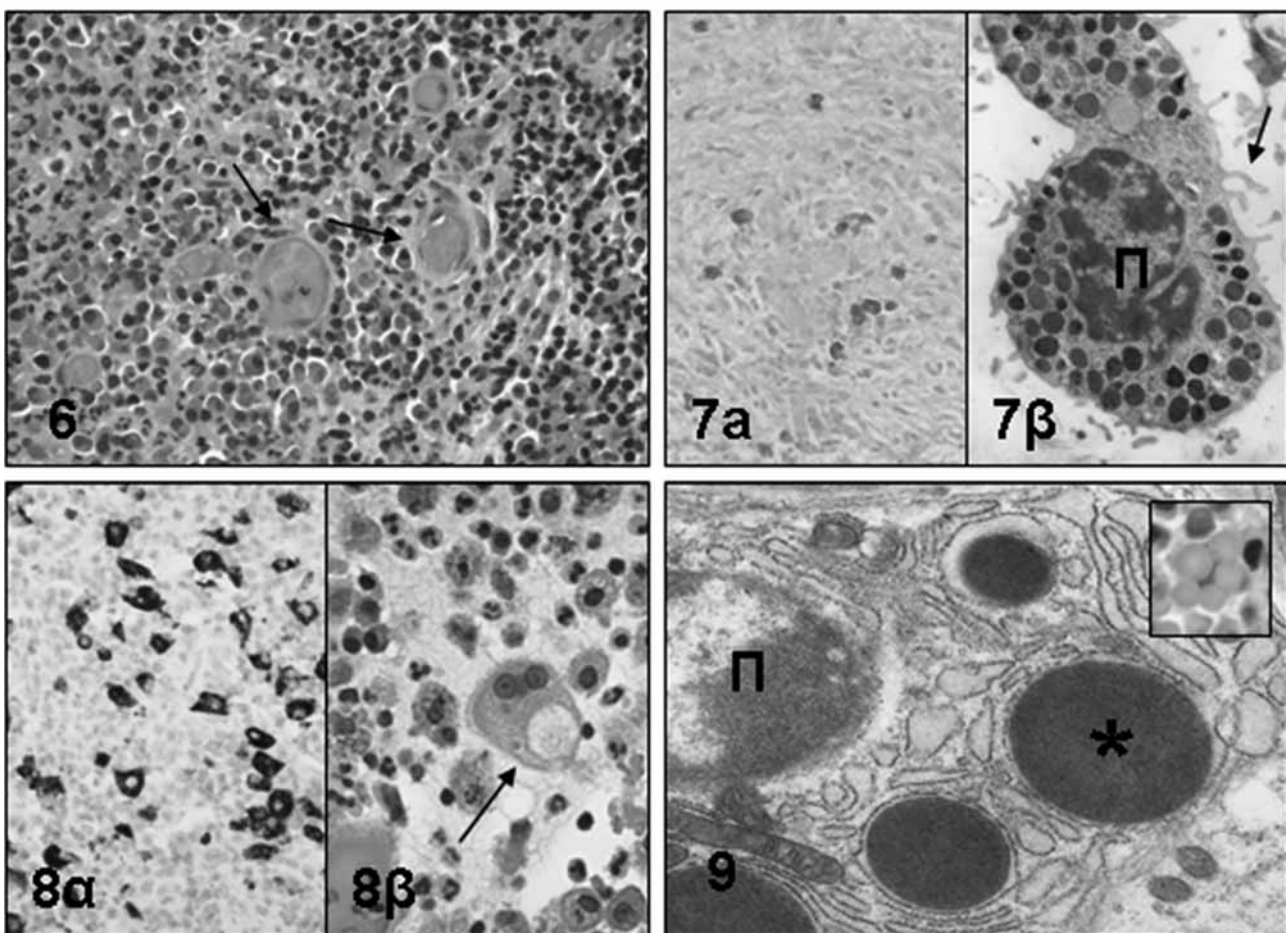
ανάλογες εκείνων που παρατηρούνται σε άλλα όργανα ή προκαθούνται πειραματικά. Υπάρχουν όμως ιδιαιτερότητες που οφείλονται: (1) στην ξεχωριστή ανατομία της περιοχής και ειδικότερα στα αγγεία της περιοδοντικής μεμβράνης (εικ. 2)<sup>5</sup>, τόπο των αρχικών διεργασιών της περιοριζικής φλεγμονής, και (2) στην επίδραση της φλεγμονής στα εμβρυϊκά υπολειμματα του Malassez<sup>6,7</sup>, επιθηλιακές χορδές στην περιοδοντική μεμβράνη (εικ. 3). Η συζήτηση που ακολουθεί προϋποθέτει εξοικείωση με την ορολογία και τις διεργασίες της φλεγμονής και επιδιόρθωσης γενικότερα, για τις οποίες ο αναγνώστης μπορεί να ανατρέξει στη συγγραφή του βαρώνου Florey<sup>8</sup> και στην τρίτομη πραγματεία που επιμελήθηκε ο Zweifach<sup>9</sup>.

#### **Κοινή συμπαγής περιοριζική χρόνια φλεγμονή (οδοντικό ή ακροριζικό «κοκκίωμα»)**

Εξίδρωση / οίδημα και μετανάστευση πλευκούτταρων από αγγεία της περιοδοντικής μεμ-

**Πίνακας 2.** Ταξινόμηση της περιοριζικής χρόνιας φλεγμονής

Συμπαγής (οδοντικό ή ακροριζικό «κοκκίωμα»)  
Κυστική (οδοντική ή ακρο-/πλαγιο-ριζική κύστη)  
Τοπική αθηρωμάτωση  
Αντίδραση ξένου σώματος  
Επιθηλιοειδής κοκκιωματώδης



βράνης κοντά στα στόμια ριζικών σωλήνων χαρακτηρίζουν τις αρχικές διεργασίες (οξεία φάση) της κοινής περιριζικής φλεγμονής. Είναι απίθανο ότι οξέως φλεγμαίνοντες περιριζικοί ιστοί ανθρώπου θα υποβληθούν σε παθολογοανατομική εξέταση και για την εικονογραφία των διεργασιών χρησιμοποιήθηκε υπικό από οξείες φλεγμονές άπλιων οργάνων ή από πειραματικές φλεγμονές (εικ. 4).

Με την πάροδο του χρόνου και παραμονή γενεσιουργών ερεθισμάτων (χρόνια φάση) οι φλεγμονώδεις διεργασίες επικεντρώνονται στην αύξηση και σε απλαγές στη σύνθεση του πληθυσμού των μεταναστευόντων κυττάρων. Προσπάθειες επιδιόρθωσης, οι οποίες περιλαμβάνουν αγγειογένεση και ίνωση / ουλοποίηση, ακολουθούν ή λαμβάνουν χώρα ταυτόχρονα. Σχηματίζονται έτσι ποικιλομεγέθεις μάζες παθολογικού ιστού που καταστρέφουν το οστούν, μπορεί να συναφαιρεθούν με το νεκρό δόντι (εικ. 5) και υποβάλλονται συχνά σε παθολογοανατομική εξέταση. Μακροσκοπικά οι μάζες μπο-

ρεί να είναι σφαιρικές και συμπαγείς. Παρατηρείται ιστοθηριακά οίδημα, διηθήματα φλεγμονωδών κυττάρων, νεοσχηματισμένα αγγεία και ίνωση, σε άπλοτε άπλοτε αναλογίες<sup>10</sup>. Με βάση τις αναλογίες αυτές, οι μάζες μπορούν να χαρακτηρισθούν ως χρόνια φλεγμονή, κοκκιώδης ιστός ή «ακροριζική ουλή»<sup>11</sup>. Είναι όμως γνωστές στο γενικό οδοντίατρο ως «οδοντικό κοκκίωμα» ή «ακροριζικό κοκκίωμα». Με πρώτη ματιά ο όρος φαίνεται επιτυχής, αφού οι μάζες μπορεί να περιέχουν κοκκιώδη ιστό και να μοιάζουν με μικρό όγκο (εικ. 5), και είναι γνωστό ότι για την ονοματολογία των όγκων χρησιμοποείται το βασικό συστατικό του όγκου σε συνδυασμό με την κατάτηξη «-ωμα». Επίσης, ο Virchow ταύτιζε το κοκκίωμα με τον κοκκιώδη ιστό<sup>12,13</sup>. Στη σύγχρονη όμως Παθολογική Ανατομία, οι όροι «κοκκίωμα» και «κοκκιωματώδης» υποδηλώνουν τα διακριτά αθροίσματα άπλοτε άπλων αριθμών επιθημιοειδών κυττάρων, μακροφάγων και πολυπύρηνων γιγαντοκυττάρων, τα οποία ταξινομούνται με βάση διαφορές στην ιστολογία, φαγοκυτταρι-

**Εικ. 6.** Ιστολογική εικόνα συμπαγούς περιριζικής χρόνιας φλεγμονής πλούσιας σε ώριμα πλασματοκύτταρα. Βέβηπε επισημαίνουν εγκάρσια τμημένα υπεραιμικά τριχοειδή (αιματοξυλίνη-πωσίνη).

**Εικ. 7. a.** Μικροφωτογράφημα περιοχής από ιστολογική τομή συμπαγούς περιριζικής χρόνιας φλεγμονής χρωματισμένη με ιστοχημική τεχνική για Napthol AS-D χλωροοξεική εστεράση. Τα έντονα χρωματισμένα στοιχεία αντιπροσωπεύουν σιτευτικά κύτταρα διάσπαρτα ανάμεσα σε άλλους μη χρωματισμένους τύπους φλεγμονώδων κυττάρων. Η τεχνική, ιδιαίτερα χρήσιμη γιατί είναι εφαρμόσιμη σε ιστολογικές τομές «ρουτίνας» και δεν απαιτεί κατάψυξη ή ειδική μονιμοποίηση του ιστού, είναι ευαίσθητη για σιτευτικά κύτταρα απλά όχι ειδική (βέβηπε εικόνα 65). **β.** Τμήμα σιτευτικού κυττάρου στο υπόστρωμα σιαλογόνου αδένα γάτας, όπως παρατηρείται με το πλεκτρονικό μικροσκόπιο. Αναγνωρίζονται ο πυρήνας (Π), τα πολυσάριθμα και ποικίλης πεπτές και βραχείς κυτταροπλασματικές αποφυάδες («μικροπλάκνες») (βέβηπος) (κιτρικός μόλυβδος).

**Εικ. 8. a.** Μικροφωτογράφημα περιοχής από ιστολογική τομή συμπαγούς περιριζικής χρόνιας φλεγμονής χρωματισμένη με ανοσοϊστοχημική τεχνική για το ήπιοσωματικό αντιγόνο CD68. Η τεχνική χρωματίζει έντονα τα κυτταρόπλασμα μακροφάγων, απλά ο κεντρικός στρογγυλός πυρήνας τους παραμένει αχρωμάτιστος. **β.** Μικροφωτογράφημα περιοχής από συμπαγή περιριζική χρόνια φλεγμονή με ποικίλη φλεγμονώδη κύτταρα. Τα πλέον ευμεγέθη είναι μακροφάγα που έχουν επιδοθεί σε φαγοκυττάρωση. Το φαγοκυτταρωμένο υπόλικο αναγνωρίζεται στο άφθονο κυτταρόπλασμα των μακροφάγων υπό μορφή κοκκίων, ορισμένα από τα οποία βρίσκονται μέσα σε «κενοτόπια». Παρατηρείτε το μεγάλο κενοτόπιο (βέβηπος) σε ένα διπύρυνο μακροφάγο (αιματοξυλίνη-πωσίνη).

**Εικ. 9.** Τμήμα πλασματοκυττάρου στο υπόστρωμα σιαλογόνου αδένα γάτας, όπως παρατηρείται με το πλεκτρονικό μικροσκόπιο. Αναγνωρίζονται ο πυρήνας (Π), δεξαμενές κοκκιώδους ενδοπλασματικού δίκτυου και τέσσερα σφαιροειδή, πλεκτρονιοπυκνωτικά σωμάτια Russell, ένα από τα οποία επιομαίνεται με αστερίσκο. Τα σωμάτια βρίσκονται σε διευρυσμένες δεξαμενές, εντόπιον που αναγνωρίζεται ευκολότερα στο κάτω και μέσο του μικροφωτογραφήματος (κιτρικός μόλυβδος). Με συνδυασμό ανοσοϊστοχημείας και πλεκτρονικού μικροσκοπίου έχει διαπιστωθεί ότι αντισώματα για ανοσοσφαιρίνες καθηπτώνονται μόνο στην περιφέρεια των σωματίων Russell. Το εύρημα υποδηλώνει την παρουσία άγνωστης ταυτότητας παραπροϊόντων σύνθεσης ανοσοσφαιρινών ή / και απλοίωμένων ανοσοσφαιρινών που δεν αντιδρούν με σεσημασμένα αντισώματα της ανοσοϊστοχημείας<sup>26,28</sup>. Στο ένθετο απεικονίζεται ένα σωμάτιο Russell όπως φαίνεται σε ιστολογικές τομές ρουτίνας. Η «μοροειδής» όψη είναι χαρακτηριστική (αιματοξυλίνη-πωσίνη).

κή ικανότητα, αιτιολογία, παθογένεια και κυτταρική κινητική, και συχνά χαρακτηρίζουν ειδικές φλεγμονές<sup>12-16</sup>. Επιθημιοειδή κύτταρα δεν παρατηρούνται στο κοινό «ακροριζικό κοκκίωμα» και ο όρος είναι αδόκιμος. Αν και ευκταία, η εγκατάλειψή του δεν θεωρείται πιθανή. Ο γενικός οδοντίατρος δεν θα πρέπει όμως να συγχέει το συχνό και μη ειδικό «ακροριζικό κοκκίωμα» με την ειδική κοκκιώματώδη φλεγμονή<sup>17</sup>, η οποία όπως ήδη αναφέρθηκε, προσβάλλει σπάνια το φατνιακό οστούν.

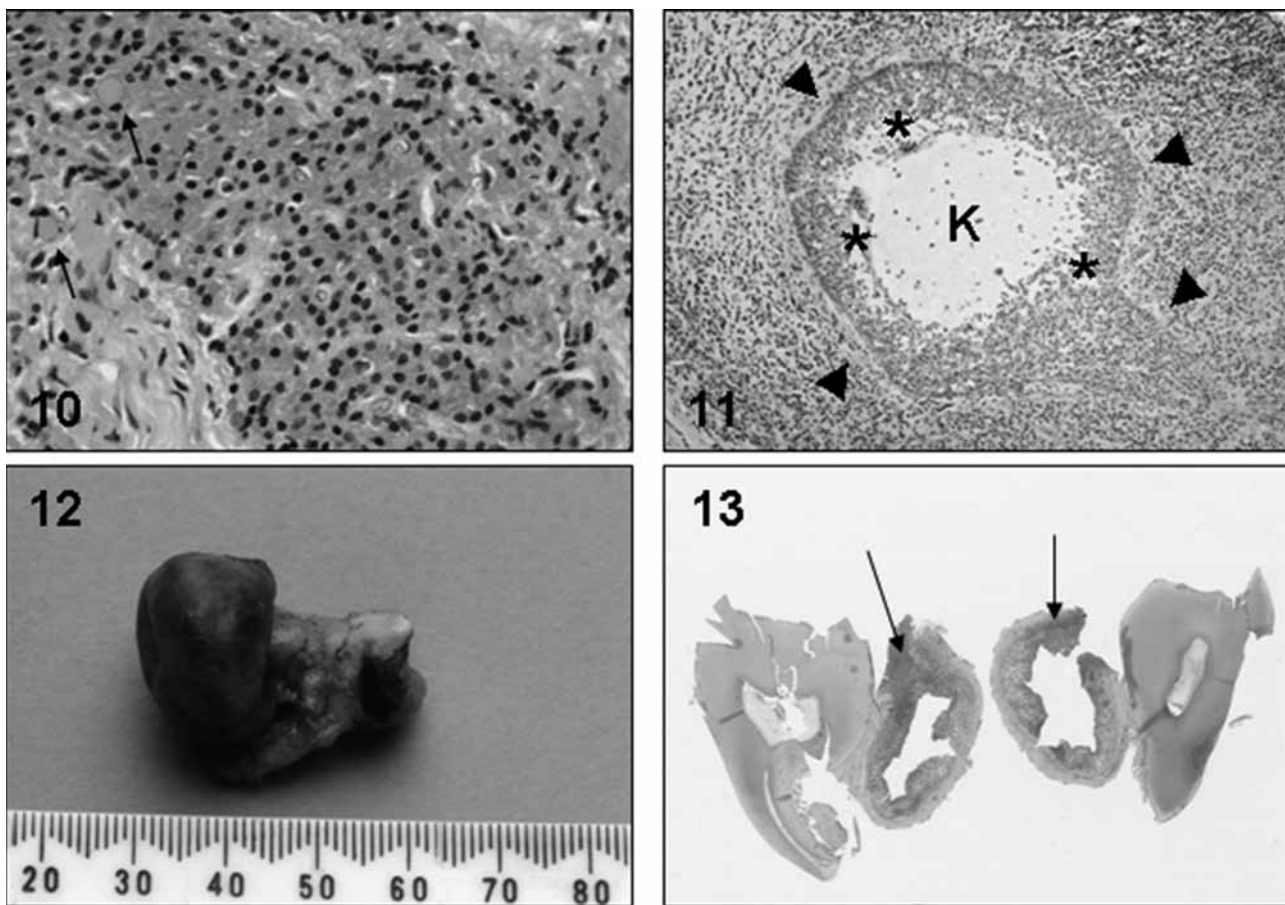
Ιστοχημεία και ανοσοϊστοχημεία έχουν κατ' εξοχή χρησιμοποιηθεί για τον *in-situ* χαρακτηρισμό των κυττάρων του «ακροριζικού κοκκιώματος». Η πλούσια βιβλιογραφία στηρίζεται σε ανάλογη μεθοδολογία (συλλογή ιστού από ασθενείς, παραγωγή ιστολογικών τομών, εφαρμογή «δείκτη» για συγκεκριμένο κύτταρο στις τομές, μικροσκοπική εκτίμηση πληθυσμού κυττάρων σεσημασμένων με το «δείκτη»), και παρατίθενται δειγματοληπτικές αναφορές μόνο<sup>18-24</sup>. T4-κύτταρα, T8-κύτταρα, B-κύτταρα, πλασματοκύτταρα (εικ. 6), σιτευτικά κύτταρα (εικ. 7), μακροφάγα (εικ. 8) και κύτταρα Langerhans είναι παρόντα σε άλλοτε άλλες αναθηματικές που ερμηνεύθηκαν ως ενδεικτικές χυμικών και κυτταρικών ανοσοϊλογικών διεργασιών. Η αυτονότητα και χωρίς έμπνευ-

ση αυτή ερμηνεία, σε συνδυασμό με την όχι πρωτότυπη μεθοδολογία, δεν προάγουν την κατανόηση της περιριζικής χρόνιας φλεγμονής και δεν υπάρχει πλόγος για περαιτέρω ανάληψη αναλόγων σπουδών.

Τα πλασματοκύτταρα εκκρίνουν πολυκλωνικές ανοσοσφαιρίνες, κυρίως IgG<sup>20</sup>. Στην κατακράτηση εκκριτικών προϊόντων στο κοκκιώδες ενδοπλασματικό δίκτυο «δυσληιτουργικών» πλασματοκυττάρων αποδίδεται ο σχηματισμός σωματίων του Russell (εικ. 9 και 10)<sup>25-28</sup>. Η φύση των προϊόντων αυτών έχει προκαλέσει αντιγνωμίες<sup>26-28</sup>. Δεν φαίνεται όμως ότι αποτελούνται από πλειτουργικά ενεργείς ανοσοσφαιρίνες, όπως συζητείται στην επεξήγηση της εικόνας 9.

Τα μακροφάγα είναι ιδιαίτερα σημαντικά και επιτελούν ποικίλες πλειτουργίες, μεταξύ των οποίων φαγοκυττάρωση, ενίστε αναγνωρίσιμη χωρίς ειδικές τεχνικές (εικ. 8β).

Συχνά, η χρόνια περιριζική φλεγμονή περιέχει αθροίσματα από κύτταρα με πλειτοκκιώδες κυτταρόπλασμα, το οποίο σε ιστολογικές τομές ρουτίνας χρωματισμένες με αιματοξυλίνη-πωσίνη, εμφανίζεται μώβ / πορφυρό, και πυκνοχρωματικούς πυρήνες (εικ. 10). Τα κύτταρα αυτά, παρά τη συχνότητά τους, δεν έχουν προσελκύσει ενδιαφέρον. Οι συγγραφείς θεωρούν ότι η



**Εικ. 10.** Ιστολογική εικόνα συμπαγούς περιριζικής χρόνιας φλεγμονής πλούσιας σε κύτταρα με κοκκίωση του κυτταροπλάσματος. Λόγω του πυκνοχρωματικού πυρήνα, τα κύτταρα μπορεί να αντιπροσωπεύουν μακροφάγα σε απόπτωση, αλλά η πιθανότητα αυτή δεν έχει διερευνηθεί. Δύο σωμάτια Russell είναι επίσης παρόντα (βέβη). Αντί μοροειδή (ένθετο εικόνας 9), τα σωμάτια εμφανίζονται ως σταγονοειδές υαλοειδές υπίκο που έχει απωθήσει περιφερικά τον πυρήνα (αιματοξυπίνη-πωσίνη).

**Εικ. 11.** Ιστολογική εικόνα μικροκυστικής περιριζικής χρόνιας φλεγμονής. Αιχμές βεβών οριοθετούν επιθηπλιακή μάζα που περιέχει κεντρική κοιλότητα (K). Οι πολλαπλές βαθυχρωματικές κουκίδες αντιπροσωπεύουν φλεγμονώδη κύτταρα. Απώλεια συνοχής και πύση επιθηπλιακών κυττάρων λαμβάνουν χώρα στις διαιγείς περιοχές που επισημαίνονται με αστερίσκο (αιματοξυπίνη-πωσίνη).

**Εικ. 12.** Μακροσκοπική όψη κοινής περιριζικής κύστης που συναφαιρέθηκε με γομφίο, μονιμοποιήθηκε και υποβλήθηκε σε παθολογοανατομική εξέταση. (Οι δυνατότητες συναφαιρέσσονται συζητούνται στη λεζάντα της εικόνας 5).

**Εικ. 13.** Ιστολογία παροδοντικής κύστης σε πανοραμική άποψη. Αναγνωρίζεται η στενή σχέση της κύστης με την άπω ρίζα γομφίου, ο φλεγμονή στην παχειά κάψα (βέβη) και ο υγιής πολφός. Η ωχρότητα του τελευταίου είναι ενδεικτική έπλειψης φλεγμονής (αιματοξυπίνη-πωσίνη).

κοκκίωση του κυτταροπλάσματος οφείλεται σε συσσώρευση φαγοσωμάτων. Δεν γνωρίζουν εάν πρόκειται για ετεροφαγοσώματα ή αυτοφαγοσώματα. Κατ' επέκταση, η ταυτότητα των κυττάρων είναι ανοικτή προς συζήτηση.

#### Κοινή κυστική περιριζική χρόνια φλεγμονή (οδοντική ή ακρο-/ πλαγιο-ριζική κύστη): γένεση - αύξηση - ποικιλίες

Η χρόνια φλεγμονή στην περιοδοντική μεμβράνη γύρω από ακροριζικά τρήματα ριζικών σωλήνων συχνά επηρεάζει τα υποδείματα του

Malassez. Υπό τις συνθήκες αυτές μεταβολικές οδοί στα υποδείματα αιχνάζουν<sup>7</sup>, και τα περιφερικά κύτταρα των υποδείματων εκφράζουν υποδοχείς για τον αυξητικό παράγοντα της επιδερμίδας<sup>29</sup>. Ενεργοποιείται έτσι ο πολλαπλασιασμός τους και σχηματίζεται επιθηπλιακή μάζα που προοδευτικά αυξάνεται σε μέγεθος. Η μάζα, αρχικά συμπαγής, επηρεάζεται κεντρικά από ισχαιμική νέκρωση που συμβάλλει στη δημιουργία κοιλότητας (εικ. 11) και αυξάνει την τοπική ωσμωτική πίεση<sup>30</sup>. Στην αύξηση της πίεσης συμβάλλουν τα θραύσματα δομικών συστατικών και

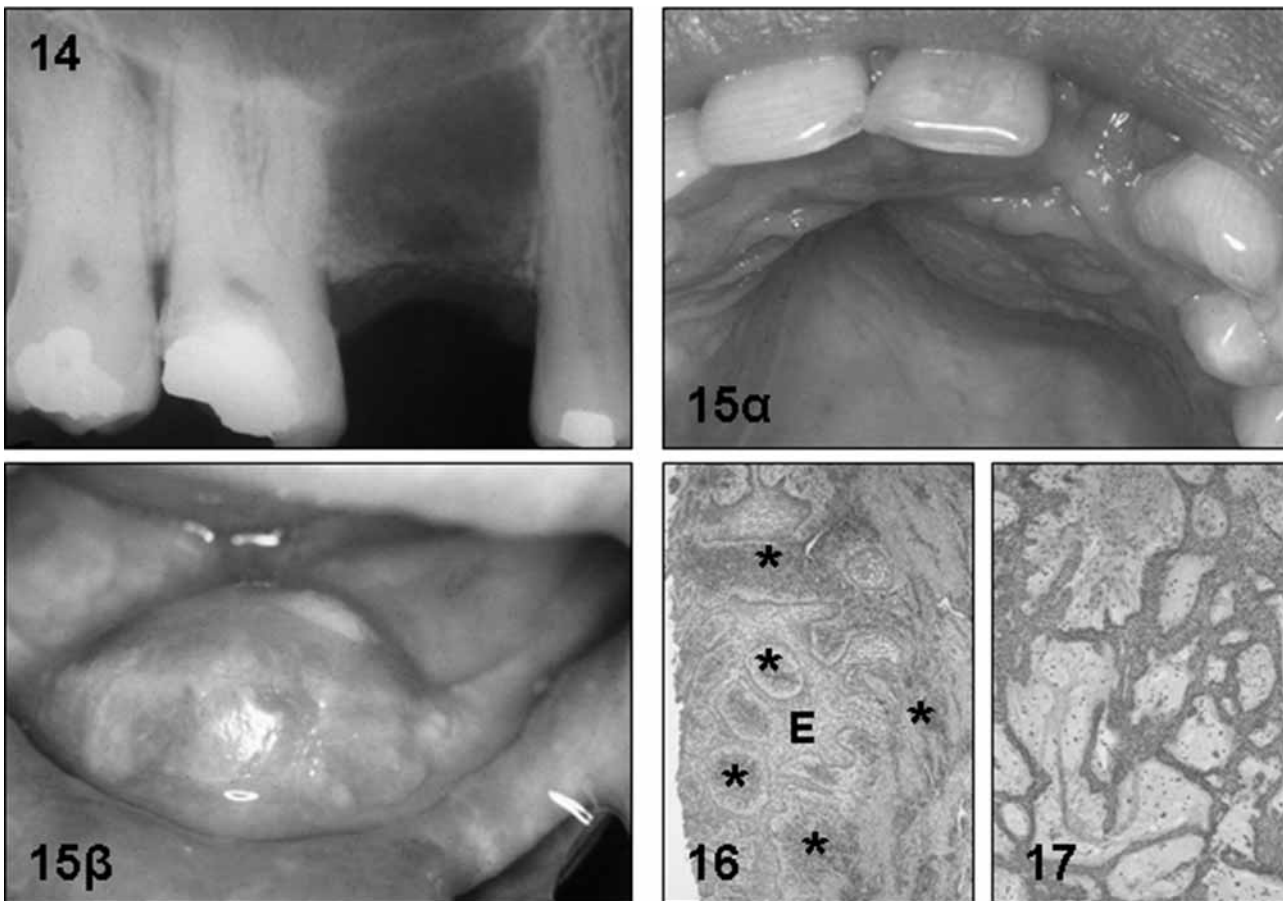
βιομορίων που απελευθερώνονται στο μικροεριβάλλον από τα θνήσκοντα και πιούμενα επιθηλιακά κύτταρα. Σε μία προσπάθεια εξισορρόπησης της ωσμωτικής πίεσης, υγρό εξιδρώματος μετακινείται προς την κοιλότητα, η οποία αυξάνεται προοδευτικά και αφορίζεται από τη φλεγμαίνουσα περιοδοντική μεμβράνη με στιβάδες επιθηλιακών κυττάρων που παραμένουν εν ζωή πλόγω γειτνίασης με αγγεία της μεμβράνης<sup>30</sup>. Αυτοί είναι οι βασικοί μηχανισμοί για τη γένεση και αύξηση της κοινής οδοντικής ή περιριζικής (ακρο- ή πλαγιο-ριζικής) κύστης που εξελίσσεται από υπόθειμα του Malassez σε μικρούστη και μακροσκοπικό σάκο τελικά (εικ. 12). Η διεργασία είναι σχετικά συχνή και περιριζικές κύστεις (συμβατικές και ποικιλίες) αντιπροσώπευαν το 8,5% των βιοψιών που διαγνώσθηκαν σε ένα εργαστήριο στοματικής και γναθοπροσωπικής παθολογικής ανατομίας επί 30ετή περίοδο<sup>31</sup>.

Σε περιπτώσεις κυστικής χρόνιας φλεγμονής που αναπτύσσεται σε επαφή με την άπω ρίζα ημιέγκληστου κάτω τρίτου γομφίου, ο πολφός του δοντιού είναι υγιής και η πηγή των φλεγμονώδων ερεθισμάτων θα πρέπει να αναζητηθεί αιθλού. Φαίνεται ότι φλεγμονή από περιστεφανίτιδα μπορεί να επεκταθεί στην περιοδοντική μεμβράνη του δοντιού, όπου προκαλεί υπερπλασία και κυστική μεταβολή υποθειμάτων του Malassez. Δημιουργείται έτσι κύστη, ιστολογικά και βιολογικά ανάλογη με την κοινή περιριζική κύστη, που αναφέρεται στη βιβλιογραφία ως «παροδοντική κύστη» (paradental cyst) (εικ. 13)<sup>32</sup>. (Η «πατρότητα» της παροδοντικής κύστης αποδίδεται στον Craig<sup>33</sup>. Μία πιθανή παροδοντική κύστη απεικονίζεται στην εικόνα 15, δημοσίευσης του Hodson<sup>34</sup>, σχεδόν 20 χρόνια πριν από εκείνη του Craig). Γίνεται αντιθητό ότι παθογενετική σημασία έχει η καθ' εαυτή φλεγμονή και όχι η προέλευσή της. Ένας από τους συγγραφείς έχει παρατηρήσει περιριζική κύστη στην άνω γνάθο, οφειλόμενη σε επινέμηση της περιοδοντικής μεμβράνης από χρόνια ιγμορίτιδα.

Σε αντίθεση με την περιστεφανίτιδα, χρόνια περιοδοντίτιδα φαίνεται ότι σπάνια επηρεάζει τα υποθειμάτα του Malassez. Πρωτοπαθείς περιοδοντικές βλάβες με δευτεροπαθή ενδοδοντική προσβολή έχουν αναφερθεί, απλά οι πε-

ριγραφές συγκεντρώνονται στην επίδραση της περιοδοντοπάθειας στον πολφό<sup>35</sup>. Ο Browne δέχεται ότι, εξαιρετικά σπάνια, φλεγμονώδεις κύστεις μπορεί να αναπτυχθούν σε σχέση με περιοδοντικό θύλακο και τις οποίες χαρακτηρίζει ως «παράπλευρες κύστεις» (inflammatory collateral cysts)<sup>32</sup>. Οι συγγραφείς συμμερίζονται την άποψη του Browne και υιοθετούν την ορολογία που πρότεινε. Συχνά όμως η παράπλευρη κύστη ταυτίζεται με την παροδοντική κύστη<sup>36</sup>, αφού ο Main ο οποίος εισήγαγε τον όρο «inflammatory collateral cyst», απέδωσε την αιτιολογία της σε περιστεφανίτιδα<sup>37</sup>. Μία πιθανή εξήγηση για τη σπανιότητα της «παράπλευρης κύστης» όπως την εννοεί ο Browne, είναι ότι οι βλάβες της περιοδοντίτιδας είναι αρχικά επιφανειακές και, ίσως, οι κοιλιαγόνες δεσμίδες της περιοδοντικής μεμβράνης δεν ευνοούν «διάχυση» των φλεγμονογόνων ερεθισμάτων. Άλλες εξηγήσεις είναι η έκθετη μενηνία της φλεγμονής στην κύστη και διαφορές στη μικροβιακή χλωρίδα. Τέλος, η σπανιότητα της κύστης μπορεί να είναι πλασματική, αφού οι φλεγμαίνοντες ιστοί που υποβάλλονται σε παθολογοανατομική εξέταση μετά από περιοδοντική χειρουργική, είναι συνήθως κερματισμένοι. Ο κερματισμός και η φλεγμονή δεν επιτρέπουν διάκριση της επένδυσης της κύστης από εκείνη του θυλάκου. Το πρόβλημα μπορεί να πιστεύεται με την *in-situ* ιστολογική διακρίβωση της παράπλευρης κύστης. Ιστολογικές τομές από οδοντοφόρες περιοχές αφαίτωμένων γναθεκτομών για στοματοφαρυγικό καρκίνο, ίσως είναι χρήσιμες για το σκοπό αυτό. Παράπλευρες κύστεις δεν παρατηρήθηκαν σε 24 ανάλογες γναθεκτομές που μελέτησε ένας από τους συγγραφείς. Το δείγμα όμως ήταν μικρό, μόνο ουλίτιδες ή επιφανειακές περιοδοντίτιδες επηρέαζαν τα παρόντα δόντια, και η προσπάθεια συνεχίζεται.

Μία άλλη ποικιλία κυστικής περιριζικής φλεγμονής είναι η υποθειματική κύστη. Αντιπροσωπεύει ακρο- ή πλαγιο-ριζική κύστη που παραμένει στις γνάθους μετά την εξαγωγή του υπεύθυνου δοντιού (εικ. 14 και 15)<sup>32</sup>. Ελκυστικές είναι ορισμένες σκέψεις για τη φυσική ιστορία της υποθειματικής κύστης, οι οποίες αναπτύσσονται παρακάτω.



**Εικ. 14.** Ακτινογραφική εικόνα υποθειμματικής κύστης μεταξύ άνω προγομφίου και γομφίου.

**Εικ. 15.** Κλινική εικόνα υποθειμματικής κύστης. **a.** Στην περιοχή του αριστερού πλάγιου τομέα της άνω γνάθου. **β.** Στο πρόσθιο τμήμα της νωδής κάτω γνάθου. Οι κύστεις προκαλούν ποικίλου βαθμού οστική απορρόφηση και έκπτυξη των οστικών πετάλων των γνάθων. Οι διεργασίες ήταν τόσο προηγμένες στην περίπτωση (β), ώστε προκαλούσαν χαρακτηριστικό αίσθημα «κέλυφους αυγού» κατά την ψηλάφιση<sup>2</sup>.

**Εικ. 16.** Μικροφωτογράφημα περιοχής κοινής περιριζικής κύστης με αψιδόμορφη υπερπλασία της επένδυσης (Ε). Η επένδυση εμφανίζεται «ωχρή» λόγω σπογγώσης. Διηθήματα από φλεγμονώδη κύτταρα (αστερίσκοι) παρατηρούνται γύρω και μεταξύ των δοκίδων της επένδυσης. Τμήμα της κοιλότητας και κάψας στην αριστερή και δεξιά πλευρά του μικροφωτογραφήματος αντίστοιχα (αιματοξυλίνη-πωσίνη).

**Εικ. 17.** Μικροφωτογράφημα περιοχής από ενδοαυστικό μονόχωρο αδαμαντινοβλάστωμα. Τα νεοπλασματικά κύτταρα διατάσσονται σε λεπτές διαπλεκόμενες δοκίδες που υπενθυμίζουν υπερπλαστική επένδυση κοινής περιριζικής κύστης. Οίδημα, υποδηλούμενο από την ωχρότητα, είναι επίσης παρόν στο υπόστρωμα του ογκου, αλλά η απουσία φλεγμονής και υπεραιμικών τριχοειδών επιτρέπουν εύκολη διάκριση από την κύστη (αιματοξυλίνη-πωσίνη).

#### Παθολογικές διεργασίες στην κοινή κυστική περιριζική χρόνια φλεγμονή

Το αφοριστικό επιθήμιο του σάκου και ο γύρω ιστός αναφέρονται ως επένδυση και κάψα της κύστης, αντίστοιχα. Ποικίλες παθολογικές διεργασίες πλαμβάνουν χώρα στην επένδυση και την κάψα. Έχουν ταξινομηθεί στον πίνακα 3. Πριν επιχειρηθεί η ανάπλυση τους, τονίζεται ότι επιρρέαζουν την επένδυση και την κάψα ανισότιμα και / ή ετεροχρονικά, με συνέπεια η ιστολογία να διαφέρει όχι μόνο μεταξύ διαφορετικών περι-

ριζικών κύστεων, αλλά και μεταξύ διαφορετικών περιοχών της ίδιας κύστης. Ανομοιομορφία είναι ο κανόνας και όχι η εξαίρεση.

#### 1. Υπερπλασία

Η επαγωγή κυτταρικού πολλαπλασιασμού σε έδαφος υποθειμμάτων του Malassez από τη φλεγμονή, χαρακτηρίζεται ως υπερπλασία. Ιστολογικά εμφανίζεται υπό μορφή επιθημιακών δοκίδων που διαπλέκονται σε σχηματισμούς που μοιάζουν με δίκτυο ή «αψίδες» (arcading) (εικ.

16)<sup>38</sup>. Ιδιαίτερα έντονη υπερπλασία υποδύεται αδαμαντινοβλάστωμα, π.χ. ενδοαυσθικό μονόχωρο (εικ. 17)<sup>39,40</sup>. Η υπερπλασία μπορεί να μεθετήθει ιστολογικά, (π.χ. με καταμέτρηση των μιτώσεων κατά μήκος της επένδυσης) ή ανοσοϊστοχημικά με τη βούθεια «δεικτών» για τον κυτταρικό κύκλο όπως το Ki67 και το PCNA. Βρέθηκε έτσι ότι οι τιμές των μιτώσεων και κυττάρων που έχουν εισέλθει σε κυτταρικό κύκλο στην επένδυση της κοινής περιριζικής κύστης, είναι χαμηλότερες σεκίνων που παρατηρούνται σε άλλες οδοντογενείς βλάβες όπως ο κερατοκυττικός οδοντογενής όγκος (οδοντογενής κερατινοκύστη)<sup>36,41,42</sup>. Σε αντίθεση επίσης με τον κερατοκυττικό οδοντογενή όγκο<sup>43</sup>, η ογκοπρωτεΐνη bcl-1 (κυκλίνη D1) δεν έχει χροσιμοποιηθεί για τη σπουδή του κυτταρικού πολλαπλασιασμού στην περιριζική κύστη.

## 2. Κυτταρικός θάνατος

Και οι δύο μορφές κυτταρικού θανάτου (νέκρωση, απόπτωση)<sup>44</sup> συναντώνται στην περιριζική κύστη. Η σημασία της ισχαιμικής νέκρωσης στην αύξηση της κύστης έχει ήδη αναφερθεί. Κατά θέσεις μπορεί να επιπρεάσει οιδόκληρο το πάχος της επένδυσης και να καταβήξει σε «έλκωση», οπότε η φλεγμαίνουσα κάψα έρχεται σε άμεση επαφή με την κοιλότητα. Διευκολύνεται έτσι η διακίνηση ουσιών μεταξύ τους. Η απόπτωση συζητείται παρακάτω.

## 3. Φλεγμονή

Είναι *sine qua non* χαρακτήρας της κύστης (εικ. 11 και 16)<sup>38,45</sup>. Παρουσιάζει εναπλασσόμενες ή ταυτόχρονα εξερισσόμενες υφέσεις και

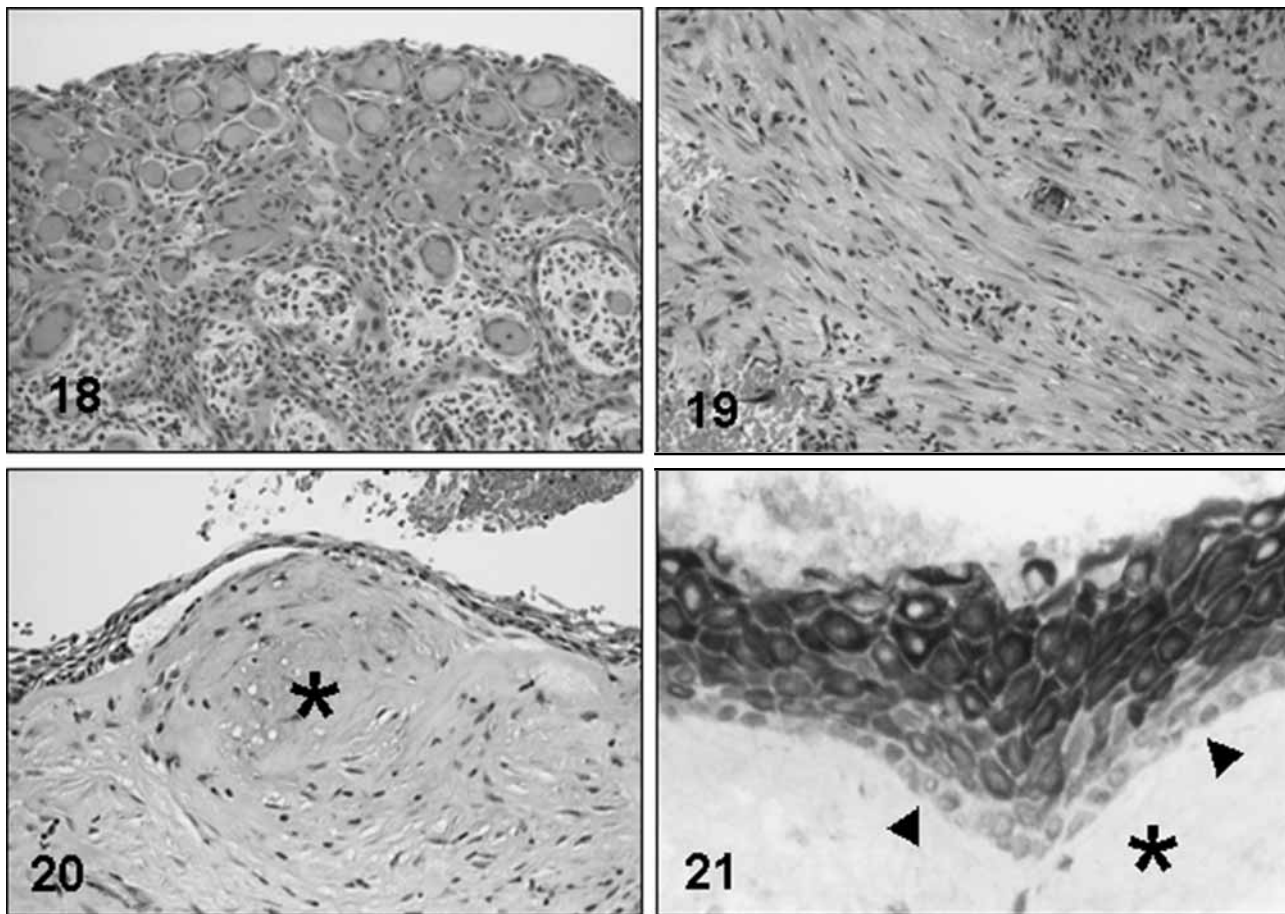
εξάρσεις, με ή χωρίς προσπάθειες επιδιόρθωσης, και προσβάλλει εστιακά ή διάχυτα την κάψα. Εξηγείται έτσι η ποικίλη παρουσία οιδήματος, υπεραιμίας, κυτταρικών διηθημάτων οξείας ή χρόνιας φλεγμονής, και ίνωσης στην κάψα. Οίδημα, υπεραιμικά αγγεία και μικτά κυτταρικά διηθήματα πλούσια σε ουδετερόφιλα τείνουν να συγκεντρώνονται υπό και σε επαφή με την επένδυση (εικ. 18). Παρά τη συχνότητά της, η υποεπιθηλιακή συγκέντρωση υπεραιμικών αγγείων δεν έχει τύχει προσοχής. Μπορεί να εξηγήσει μία ιδιαιτερότητα της κυστικής περιριζικής φλεγμονής, όπως συζητείται παρακάτω. Πλέον περιφερικά, οι πληθυσμοί των φλεγμονωδών κυττάρων είναι ανάλογοι εκείνων που περιγράφηκαν στη συμπαγή περιριζική χρόνια φλεγμονή<sup>46</sup>. Για την ίνωση, σημασία έχει η βλάστηση μυοϊνοβλαστών. Τα χαρακτηριστικά αυτά κύτταρα παραδοσιακά αναγνωρίζονται με τη χρήση πλεκτρονικού μικροσκοπίου ή ανοσοϊστοχημείας<sup>47</sup>. Είναι όμως εύκολα αναγνωρίσιμα και σε ιστολογικές τομές ρουτίνας (εικ. 19). Ορισμένοι προσπάθησαν να συνδυάσουν την παρουσία μυοϊνοβλαστών με την επιθετική κλινική συμπεριφορά ορισμένων οδοντογενών κύστεων και όγκων<sup>48</sup>. Στη συμπαγή ή κυστική περιριζική χρόνια φλεγμονή η βλάστηση μυοϊνοβλαστών αντικατοπτρίζει διεργασίες επιδιόρθωσης και στερείται κλινικής σημασίας.

## 4. Εξωκυττάρωση - σπογγίωση

Αυτές αντιστοιχούν στη μετανάστευση φλεγμονωδών κυττάρων, π.χ. ουδετερόφιλα και μακροφάγα, προς την κοιλότητα της κύστης, πιθανώς λόγω χημειοταξίας προς το νεκρωτικό υπί-

**Πίνακας 3. Παθοβιολογικές διεργασίες στην επένδυση και την κάψα της κοινής περιριζικής κύστης**

Επένδυση	Κάψα
Υπερπλασία	Φλεγμονή
Κυτταρικός θάνατος	Έκπτυξη
Εξωκυττάρωση - σπογγίωση	Απορρόφηση οστού
Διαφοροποίηση	Κυκλοφορικές διαταραχές, αγγειακή εκφύλιση
Μεταπλασία	Φαγοκυττάρωση και κοκκιοκυτταρική αντίδραση
Ατροφία	Δυστροφική ενασβεστίωση
Διεπιθηλιακή εξάρσειψη	Κοκκιώματα χοηποτερόβλητης και ξένων σωμάτων



κό, και στη μετακίνηση υγρού εξιδρώματος που έχει ήδη αναφερθεί (εικ. 11 και 16). (Ο όρος «εξωκυττάρωση» χρησιμοποιείται όπως στη Δερματοπαθολογία, για να δηλώσει τη μετανάστευση φλεγμονώδων κυττάρων μέσω στιβαδωτών επιθηκίων<sup>49</sup>. Απαιτείται όμως προσοχή, διότι εξωκυττάρωση στην αδενική βιολογία υποδηλώνει την απελευθέρωση εκκριτικών κοκκίων στο μικροπεριβάλλον<sup>50</sup>). Ενώ τα μακρόβια μακροφάγα επιβιώνουν για άλλοτε άλλο διάστημα στην κοιλότητα της κύστης, μαζικός κυτταρικός θάνατος επιρεάζει τα βραχύβια ουδετερόφιλα (ο μηχανισμός αναφέρεται παρακάτω). Το μετακινούμενο υγρό εξιδρώματος συμπαρασύρει ανοσοσφαιρίνες που εκκρίνονται από τα πλασματοκύτταρα της κάψας, οι οποίες συμβάλλουν έτσι στην αύξηση της ωσμωτικής πίεσης στην κοιλότητα της κύστης<sup>30</sup>. Εξωκυττάρωση και σπογγίωση χαρακτηρίζουν την κοινή οξεία και υποξεία δερματίτιδα<sup>49</sup>, και υπάρχουν αναλογίες μεταξύ επιδερμίδας στη νόσο αυτή και επένδυσης της κύστης. Τόσο η επένδυση όσο

και η επιδερμίδα φαίνεται ότι δρουν ως εκλεκτικά διαπερατή μεμβράνη. Η ορορροί που χαρακτηρίζει την οξεία και υποξεία δερματίτιδα<sup>49</sup>, αντιστοιχεί στη μετακίνηση υγρού εξιδρώματος μέσω της επένδυσης.

##### 5. Έκπτυξη

Η κάψα στηρίζει και τρέφει / διατηρεί εν ζωή την επένδυση της κύστης. Αρχικά ταυτίζεται με τη φλεγμαίνουσα περιοδοντική μεμβράνη, θέση που υποστηρίζεται από την ανεύρεση ινών οξυταλάνης στην κάψα<sup>51</sup>. Με την αύξηση της κύστης, η κάψα εκπύσσεται με νεοσχηματισμό συνδετικού ιστού που προοδευτικά ωριμάζει. Οι διεργασίες μοιάζουν με εκείνες της επιδιόρθωσης και περιλαμβάνουν σχηματισμό μυξοειδούς μεσοκυττάριας ουσίας. Η τελευταία περιέχει ιστοχημικά πιστοποιήσιμες γηπυκοζαμινογηπυκάνες<sup>51</sup>, αλλά μπορεί να αναγνωρισθεί και χωρίς τη βοήθεια ειδικών τεχνικών. Ενίστε παρατηρείται υπό την επένδυση (εικ. 20), όπου πάγω της μαλακής υφής που προσδίδει στους ιστούς, διευ-

**Εικ. 18.** Ιστολογία της σχέσης υπεραιμικών τριχοειδών και επένδυσης κοινής περιριζικής κύστης. Τα εγκάρσια τμημένα τριχοειδή φαίνονται ως στρογγύλες / ελλειψοειδείς δομές «παιγιδευμένες» στις βρογχίδες δικτύου που σχηματίζουν οι διαπλεκόμενες επιθηλιακές δοκίδες. Τμήμα της κάψας, ωχρό πλόγω οιδήματος και διπλημένο από φλεγμονώδη κύτταρα, στο κατώτερο ήμισυ του μικροφωτογραφήματος. Στην άνω πλευρά, τμήμα της κοιλότητας (αιματοξυλίνη-πωσίνη).

**Εικ. 19.** Ιστολογική εικόνα μυοϊνοβλαστών από κάψα κοινής περιριζικής κύστης, οι οποίες διατάσσονται σε δεσμίδες. Σε αντίθεση με τη συμβατική ινοβλάστη, της οποίας μόνο ο πυρήνας είναι συνήθως διακριτός σε ιστολογικές τομές ρουτίνας, η συσσώρευση ινδίων ακτίνης στο κυτταρόπλασμα της μυοϊνοβλάστης του προσδίδει πωσινοφιλία (ρόδινη χροιά). Η ιδιότητα επιτρέπει την αναγνώριση των μυοϊνοβλαστών χωρίς προσφυγή σε ανοσοϊστοχημεία για ακτίνη πλίσιν μυός (SMA). Οι χρωματικές αντιθέσεις πυρήνα-κυτταροπλάσματος μυοϊνοβλαστών αναγνωρίζονται στο κέντρο της δεσμίδας που πορεύεται στο μικροφωτογράφημα από άνω αριστερά προς τα κάτω δεξιά (αιματοξυλίνη-πωσίνη).

**Εικ. 20.** Μικροφωτογράφημα περιοχής κοινής περιριζικής κύστης, με μυξοειδή ουσία (αστερίσκος) στην κάψα. Η ουσία είναι αιματοξυλόφιλη, με αποτέλεσμα υποκύανη χροιά που επιτρέπει διάκρισή της από τις ανάλογης εντόπισης ωχρές οιδηματώδεις περιοχές (εικ. 18). (Για την ιστοχημεία της μυξοειδούς ουσίας βλέπε εικόνα 23β<sup>51</sup>). Η υπερκείμενη επένδυση είναι πλεπτή και συνίσταται από δύο έως τέσσερις στιβάδες επιθηλιακών κυττάρων. Στο άνω τμήμα του μικροφωτογραφήματος τμήμα της κοιλότητας περιέχει εξαγγειωμένα έμμορφα συστατικά αίματος (αιματοξυλίνη-πωσίνη).

**Εικ. 21.** Ανοσοϊστοχημεία κοινής περιριζικής κύστης. Το βαθυχρωματικό προϊόν ανοσοαντίδρασης με το αντίσωμα LL025 εντοπίζεται στην επένδυση εκλεκτικά με αποτέλεσμα η βασική στιβάδα (αιχμές βεηών) να παραμένει αχρωμάτιστη. (Ανάλογο πρότυπο έκφρασης έχει παρατηρηθεί στην οδοντοφόρο κύτταρο, τον κερατοκυστικό οδοντογενή όγκο και το αδαμαντινοβλάστωμα<sup>64</sup>). Τμήμα της κοιλότητας στο άνω τμήμα του μικροφωτογραφήματος. Φλεγμονώδη κύτταρα δεν αναγνωρίζονται στην υποκείμενη κάψα (αστερίσκος).

κοιλύνει ίσως την ενδιαίτηση του υπερπλαστικού επιθηλίου. Κατά την έκπτυξή της, η κάψα φαίνεται ότι ενσωματώνει προϋπάρχουσες δομές των γειτονικών συνδετικών ιστών, για παράδειγμα μικρά νεύρα. Η σημασία τους συζητείται σε άλλη ενότητα της ανασκόπησης.

## 6. Απορρόφηση οστού

Για την ενδιαίτηση του, ο εκπτυσσόμενος κυτταρικός σάκος προκαλεί απορρόφηση του γειτονικού οστού ή οποία, όπως αναφέρθηκε στην εισαγωγή, είναι υπεύθυνη για την ακτινοδιαύγαση. Η απορρόφηση διερευνάται εντατικά, αφού μαζί με την υπερπλασία, φλεγμονή και έκπτυξη, είναι οι πλέον σημαντικές διεργασίες της κυτταρικής περιριζικής φλεγμονής. Εκτός από τη διαπίστωση οστεοκλαστικής δραστηριότητας στη μεσόφαση μεταξύ κάψας και οστού, η συμβολή της μορφολογίας στην κατανόηση της απορρόφησης είναι περιορισμένη. Πολύτιμες πληροφορίες έχουν αποκτηθεί με βιοχημικές μεθόδους και κυτταροκαλπιέργειες, αλλά δεν θα αναφερθούν περισσότερα στοιχεία επ' αυτών. Ο αναγνώστης μπορεί να χρησιμοποιήσει την ανασκόπηση του Harvey<sup>52</sup> ως αφετηρία για την εξερεύνηση της εκτεταμένης βιβλιογραφίας. Σημειώνεται πάντως ότι ρόλο παίζουν τα αυξημένα επίπεδα ιντερλευκίνης-1 και προσταγμανδινών που αντίστοιχα παράγονται από μακροφάγα / επιθηλιακά κύτταρα και ινοβλάστες / ενδοθηλιακά κύτταρα<sup>52</sup>. Συμμετοχή κολλαγενάσης είναι επίσης πιθανή<sup>52</sup>, ένζυμο που πα-

ράγεται από επιθηλιακά κύτταρα, ουδετερόφιλη, μακροφάγα και ινοβλάστες<sup>53-55</sup>.

## 7. Διαφοροποίηση

Σε ιστολογικές τομές ρουτίνας οι πολλαπλές στιβάδες της επένδυσης παρουσιάζουν ομοιόμορφο φαινότυπο<sup>38</sup>, χαρακτηριζόμενο από πολυγωνικά κύτταρα που συνδέονται με μεσοκυτταρικές γέφυρες. Με τη χρήση ανοσοϊστοχημείας και *in-situ* υβριδισμού επιχειρήθηκε να «χαρτογραφηθούν» τα πρότυπα έκφρασης διαφόρων κυτταροκερατινών στην επένδυση και να συγκριθούν με εκείνα των υποθειμάτων του Malassez<sup>41,56-62</sup>. Τα ευρήματα είναι περίπλοκα, όχι σταθερά αναπαραγώγιμα και επί του παρόντος δύσκολο να αξιολογηθούν. Διαφορές στη μεθοδολογία και τεχνικές επιτείνουν τις δυσκολίες. Πιθανώς, η επένδυση της κοινής περιριζικής κύστης διαφοροποιείται ανάλογα με στιβάδωτά μη κερατινοποιούμενα επιθήλια, αλλά συνεκφράζει κυτταροκερατίνες που χαρακτηρίζουν απλά επιθήλια μιας στιβάδας<sup>58</sup>. Η συνέκφραση είναι ασυνήθιστη, αλλά όχι μοναδική<sup>63</sup>, και η αξιοπιστία της υπόθεσης θα πρέπει να δοκιμασθεί με το πέρασμα του χρόνου. Έχει παρατηρηθεί ότι το αντίσωμα LL025 καθηλώνεται ανοσοϊστοχημικά στις στιβάδες της επένδυσης παρά την κοιλότητα, αλλά όχι στη στιβάδα σε επαφή με την κάψα («βασική στιβάδα») (εικ. 21). Το αντίσωμα θεωρήθηκε ότι ανιχνεύει την κυτταροκερατίνη 16, η οποία σχετίζεται με επιθη-

πιακή βλάστηση και υπέρμετρο πολλαπλασιασμό<sup>58,64</sup>. Η παρατήρηση φαίνεται ότι εναρμονίζεται με τους μυχανισμούς αύξησης και γένεσης της περιφριγικής κύστης, αφού κυτταροκερατίνη 16 δεν εκφράζεται στα υποδειγματικά του Malassez<sup>58</sup>, αλλά υπάρχουν ερωτηματικά για την ειδικότητα του LL025.

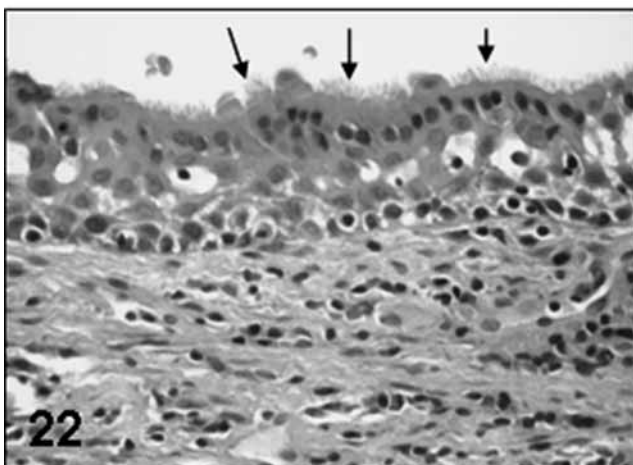
### 8. Μεταπλασία

Είναι σχετικά συχνή στην επένδυση. Εκδηλώνεται με την εμφάνιση κροσσωτών κυττάρων (εικ. 22)<sup>38,65</sup>, (οι κροσσοί είναι χαρακτηριστικό της τραχείας και των ωοαγωγών) και κυρίως με την εμφάνιση κυττάρων που παράγουν βλέννα, (μείγμα ουδέτερων και όξινων εκκριτικών γλυκοπρωτεΐνών) και μοιάζουν με τα καθικοειδή κύτταρα του εντέρου (εικ. 23)<sup>38,66-68</sup>. Η βλέννα εκκρίνεται στην κοιλότητα της κύστης, όπου συμβάλλει στην αύξηση της ωσμωτικής πίεσης<sup>30</sup>. Η σχέση μεταπλασίας και φλεγμονής δεν μπορεί να αποκλεισθεί, αλλά οι ακριβείς μυχανισμοί είναι αδιευκρίνιστοι. Βλεννώδης μεταπλασία στιβαδωτού επιθηλίου έχει προκηθεί σε πειραματόζωα με υψηλές δόσεις βιταμί-

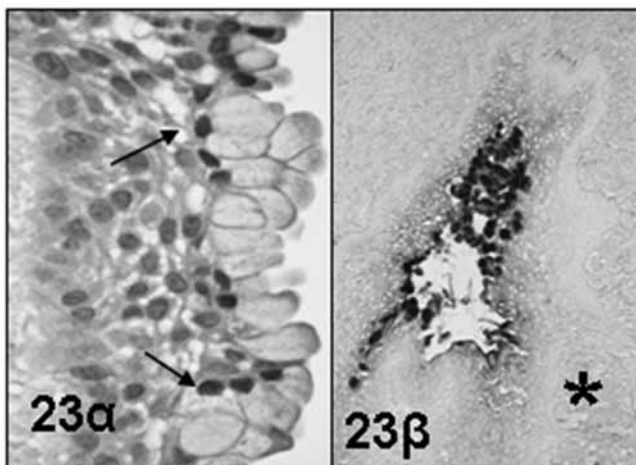
νης A<sup>69,70</sup>, αλλά το εφαρμόσιμο της παρατήρησης αυτής στον άνθρωπο δεν είναι πιθανό. Οι συγγραφείς υποθέτουν ότι σημασία έχει η αυξημένη πίεση στην κοιλότητα της κύστης. Πειραματική απόφραξη με περίδεση του κύριου πόρου μείζονα σιαλογόνου αδένα προκαλεί αύξηση της πίεσης στον αυπό του πόρου άπω της περίδεσης, και εμφάνιση κροσσωτών κυττάρων και αυξημένου αριθμού βλεννωδών κυττάρων<sup>71</sup>. Ανάλογα κύτταρα παρατηρούνται στους ποροειδείς σκηματισμούς της χρόνιας σιαλαδενίτιδας αποφρακτικής αιτιολογίας<sup>72-74</sup>.

### 9. Ατροφία

Αυτή σχετίζεται κυρίως με την επένδυση της υποδειγματικής κύστης. Είναι λογικό να υποτεθεί ότι με την εξαγωγή του νεκρού δοντιού, η πηγή που διατηρεί τη φλεγμονή στην κάψα απομακρύνεται. Ως εκ τούτου, τα ερεθίσματα που επάγουν τον κυτταρικό πολλαπλασιασμό στην επένδυση υποστρέφουν προοδευτικά και ακολουθεί ατροφία<sup>75</sup>. Ο αριθμός των μιτώσεων στην επένδυση της υποδειγματικής κύστης είναι μικρότερος εκεί-



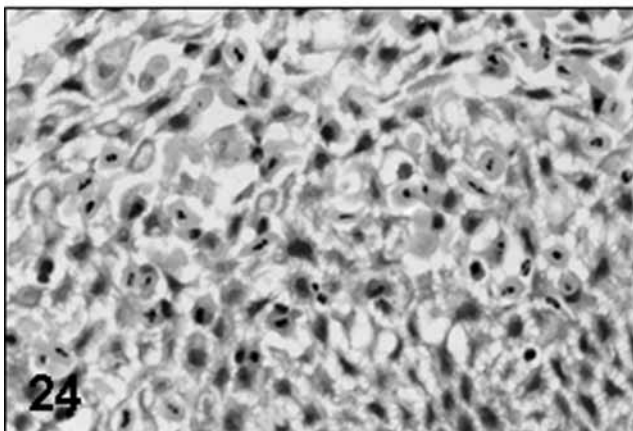
22



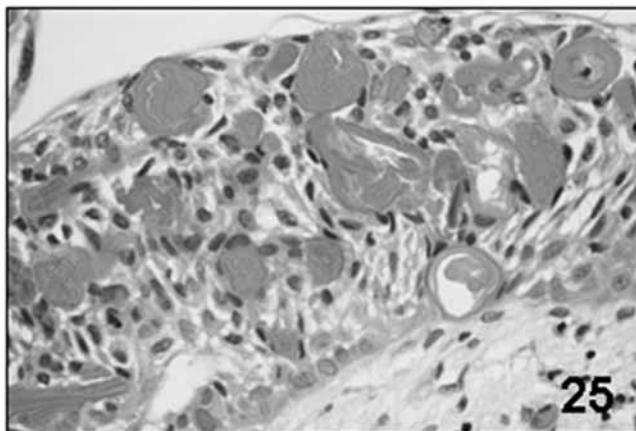
23α

23β

\*



24



25

νου της συμβατικής περιριζικής κύστης<sup>36</sup>, τα βλεννώδη κύτταρα ελαττώνονται σε αριθμό<sup>75</sup>, (εύρημα που υποστηρίζει την υπόθεση ότι η βλεννώδης μεταπλασία συνδέεται με τη μικροπεριβαλλοντική πίεση, αφού ελάττωση της πίεσης στην κοιλότητα της υποθειματικής κύστης είναι αναμενόμενη), οι αψιδόμορφοι σχηματισμοί εξαφανίζονται, η επένδυση λεπτύνεται και η επιφάνειά της σε επαφή με την κάψα επιπεδούται. Επιπλέον, σε αντίθεση με τη συμβατική περιριζική κύστη όπου η απόπτωση επηρεάζει κυρίως τα ουδετερόφιλα<sup>76</sup>, απόπτωση και φαινή κυτταροπλασματική κοκκίωση (βλέπε εικόνα 39), ενδεικτική λιποχρωστικών σε φαγοσώματα, παρατηρούνται σε επιθηλιακά κύτταρα της επένδυσης υποθειματικών κύστεων<sup>77</sup>. Απόπτωση και αυτοφαγοκυττάρωση είναι οι υπεύθυνοι κυτταρικοί μηχανισμοί για την ατροφία των ιστών<sup>78</sup>. Τα αποπτωτικά επιθηλιακά κύτταρα είναι ευδιάκριτα ακόμα και σε ιστολογικές τομές ρουτίνας (εικ. 24). Έχει προταθεί ότι η προοδευτική ατροφία της επένδυσης οδηγεί σε εξαφάνιση της υποθειματικής κύστης<sup>75</sup>, αλλά ο ενδιαφέρων αυτός θεωρητικός συλλογισμός δεν έχει κλινικά δοκιμασθεί.

#### *10. Κυκλοφορικές διαταραχές και αγγειακή εκφύλιση*

Είναι πιογικό να υποτεθεί ότι ο εκπτυσσόμενος κυστικός σάκος επηρεάζει, λόγω πίεσης, την αιμάτωση του περιοδοντίου. Τοπικές κυκλοφορικές διαταραχές και μικροαιμορραγίες είναι πιθανές<sup>79</sup>.

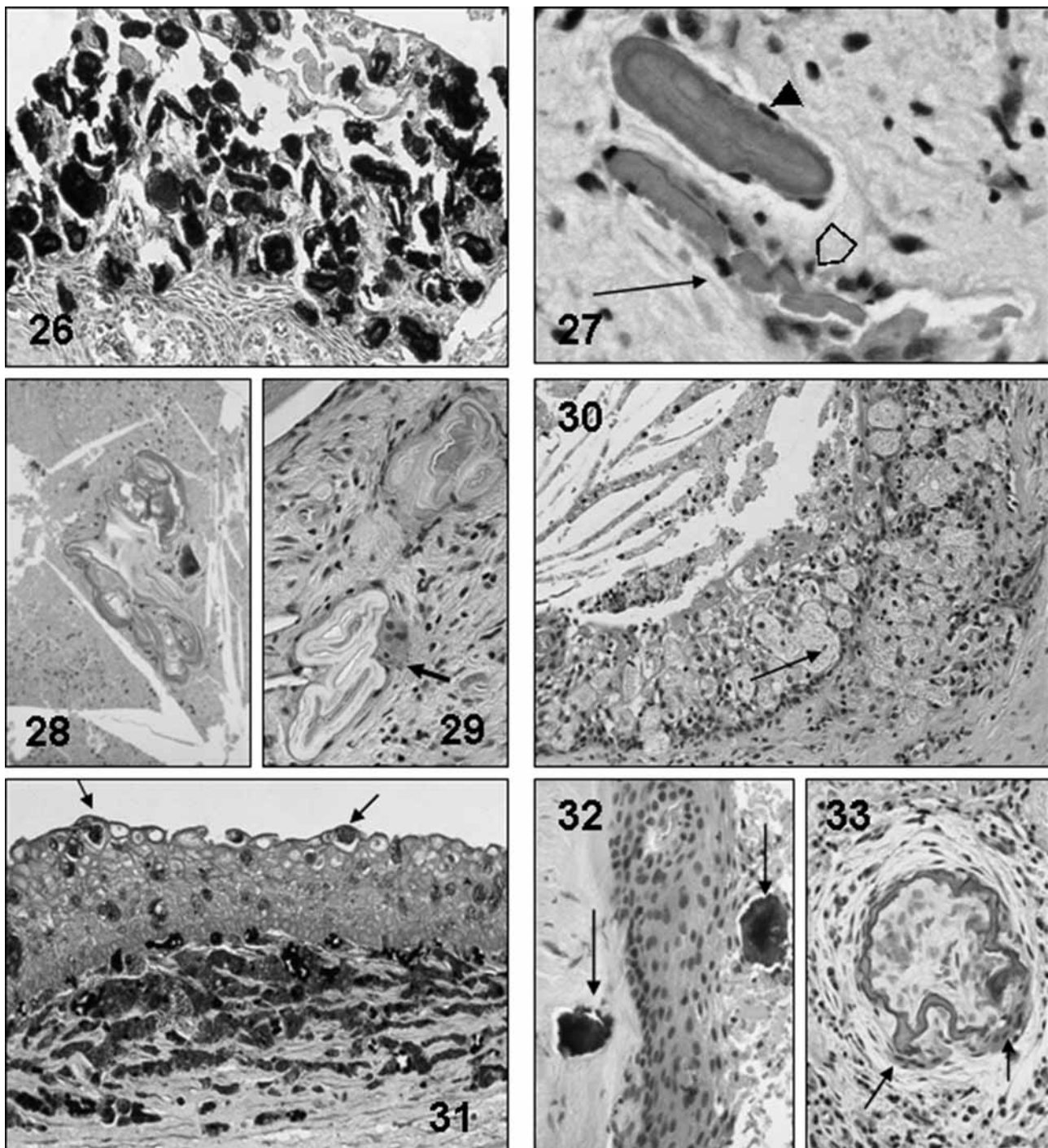
Η σημασία τους συζητείται παρακάτω. Εδώ θα γίνει λόγος για τα υαλοειδή σωμάτια του Rushton<sup>38,80</sup>. Σε ιστολογικές τομές ρουτίνας, τα εντυπωσιακά αυτά σωμάτια είναι κεραμόχροα ή έντονα ρόδινα (ηωσινόφιλα), μοιάζουν με δακτύλιους ή παραμάνες και συνήθως φαίνονται να σχετίζονται με την επένδυση της κύστης (εικ. 25). Με βάση ιστοχημικές (εικ. 26), υπερμικροσκοπικές και ανοσοϊστοχημικές παρατηρήσεις, τα σωμάτια έχουν κατά καιρούς θεωρηθεί ως μη κερατινικά προϊόντα οδοντογενούς επιθηλίου, εκφυλισμένη ελαστίνη ή ξένα σώματα. Η σχετική βιβλιογραφία είναι εκτεταμένη. Έχει ανασκοπηθεί από το Matthews<sup>81</sup> και δεν επαναλαμβάνεται εδώ. Μία πρόσφατη προσπάθεια να συνδεθούν τα σωμάτια με απόπτωση στην επένδυση, δεν είναι πειστική<sup>82</sup>. Οι συγγραφείς υποστηρίζουν την αιματογενή προέλευση των σωματίων και τα θεωρούν ως υαλοειδοποιημένα / εκφυλισμένα υπεραιμικά τριχοειδή. Πράγματι, η σχέση των σωματίων με την επένδυση της κύστης υπενθυμίζει την υπεπιθηλιακή συγκέντρωση υπεραιμικών τριχοειδών που αναφέρθηκε προηγουμένως (εικ. 18). Επιπλέον, ακόμα και σε ιστολογικές τομές ρουτίνας, είναι δυνατό να παρατηρηθούν: (1) σωμάτια Rushton που περιβάλλονται από ενδοθηλιακά κύτταρα, και (2) μεταβατικές μορφές μεταξύ εκφυλισμένων αγγείων και σωματίων Rushton (εικ. 27). (Σημειώνεται ότι σε μία δημοσίευση 37 χρονία πριν από εκείνη του Rushton, τα σωμάτια όχι μόνο είχαν περιγραφεί, αλλά και αποδόθηκαν σε

**Εικ. 22.** Ιστολογική εικόνα μεταπλαστικού κροσσωτού επιθηλίου στην επένδυση κοινής περιριζικής κύστης. Πασσαλοειδή κυλινδρικά κύτταρα «εκπέμπουν» κροσσούς (βέλη) στην κοιλότητα. Οι πυρήνες των κροσσωτών κυττάρων είναι βαθυχρωματικοί, κεντρικά τοποθετημένοι και κυματοειδώς διαταγμένοι. Τμήμα της κάψας (κάτω τμήμα του μικροφωτογραφήματος) παρουσιάζει πεμφοειδή φλεγμονώδη κύτταρα αναγνωρίζομενα από τους μικρούς στρογγυλούς και βαθυχρωματικούς τους πυρήνες. Αρκετά πεμφοειδή κύτταρα έχουν εισέλθη σε εξωκυττάρωση και περιβάλλονται από διαιυγή «άηω». Η άηως οφείλεται σε ιστολογικό artifact συρρίκνωσης και είναι ευκολότερα διακριτή στο τμήμα της επένδυσης υπό τα κροσσωτά κύτταρα (αιματοξυλίνη-πωσίνη).

**Εικ. 23. a.** Ιστολογία βλεννώδους μεταπλασίας σε κοινή περιριζική κύστη. Τα βλεννώδη κύτταρα διατάσσονται σε μία τουλάχιστο συνεχή στιβάδα παρά την κοιλότητα (δεξιό τμήμα του μικροφωτογραφήματος). Τα βέλη επισημαίνουν πυρήνες βλεννώδων κυττάρων, χαρακτηριστικά απωθημένους στο τμήμα του κυττάρου μακριά από την κοιλότητα. Ο αριθμός, διάταξη και κατανομή των βλεννώδων κυττάρων διαφέρουν ανάλογα με την περίπτωση (αιματοξυλίνη-πωσίνη). **β.** Βλεννοοούσιες στην κοινή περιριζική κύστη, όπως ταυτοποιούνται με την ιστοχημική τεχνική Alcian blue σε pH 2,5-PAS. Οι γηνυκοπρωτεΐνες των βλεννώδων κυττάρων χρωματίζονται πορφυρές και αντιστοιχούν στα βαθυχρωματικά στοιχεία του μικροφωτογραφήματος. Διακρίνονται εύκολα από τις γηνυκοζαμινογηνικάνες της κάψας, οι οποίες χρωματίζονται όπως το γαλάζιο του ουρανού και αντιστοιχούν σε ελαφροχρωματικά στοιχεία (αστερίσκος).

**Εικ. 24.** Μαζική απόπτωση στην επένδυση υποθειματικής κύστης. Τα κύτταρα σε απόπτωση έχουν, λόγω συμπύκνωσης της χρωματίνης, χαρακτηριστικά βαθυχρωματικούς πυρήνες, ενίστε κατατυμένους. Είναι επιθηλιακά και όχι φλεγμονώδη, αφού εμφανίζουν άφθονο γωνιώδες κυτταρόπλασμα και μεσοκυττάριες γέφυρες (αιματοξυλίνη-πωσίνη).

**Εικ. 25.** Ιστολογική εικόνα σωματίων Rushton. Τα σωμάτια είναι ποικιλόμορφα και φαίνεται να σχετίζονται με την επένδυση κοινής περιριζικής κύστης. Για κατανόηση της προέλευσής τους, η σύγκριση με την εικόνα 18 είναι χρήσιμη (αιματοξυλίνη-πωσίνη).



εκφύλιση τριχοειδών<sup>83</sup>). Τα σωμάτια παραπτούνται επίσης στην κοιλότητα της κύστης (εικ. 28) και μπορούν να περιβληθούν από πολυπύρωνα γιγαντοκύτταρα (εικ. 29).

#### 11. Κοκκιοκυτταρική αντίδραση

Είναι ασυνήθιστη<sup>84</sup>. Αντιπροσωπεύει διηθήματα από σφαιροειδή κύτταρα με μικρούς πυρήνες και λεπτοκοκκιώδες κυτταρόπλασμα, που

παραπτούνται συνήθως στην επένδυση και την κάψα της κύστης (εικ. 30). Παρ' όλο που τα διηθήματα υπενθυμίζουν κοκκιοκυτταρικούς όγκους, αποτελούνται από μακροφάγα διογκωμένα από συσσώρευση υποθειμάτων φαγοκυττάρωσης. Τα κυτταροπλασματικά κοκκία αντιστοιχούν σε φαγοσώματα με ποικίλης πληποχρωστικές που δίνουν χαρακτηριστικές ιστοχημικές αντιδράσεις (εικ. 31)<sup>84-86</sup>. Το φαγοκυττα-

**Εικ. 26.** Έντονη οροείνοφησία σωματίων Rushton. Η οροείνη χρωματίζει επίσης εκπλεκτικά ελαστικές ίνες και το δευτερογενές οδοντικό υμένιο, με συνέπεια τα σωμάτια να παρερμπονευθούν ως εκτρωματικές μορφές των δομών αυτών (βλέπε βιβλιογραφική παραπομπή υπ' αριθμό 81). Ο μηχανισμός της εκπλεκτικής χρώσης με οροείνη δεν είναι απόλυτα κατανοπτός.

**Εικ. 27.** Τουλάχιστον δύο πυρίνες ενδοθηλιακών κυττάρων, ένας από τους οποίους επισημαίνεται με αιχμή βέλους, βρίσκονται σε επαφή με σωμάτιο Rushton στην κάψα κοινής περιριζικής κύστης. Το βέλος υποδεικνύει τη μετάπτωση από υπεραιμικό τριχοειδές σε άλλο σωμάτιο Rushton που επίσης περιβάλλεται από πυρίνες ενδοθηλίων. Ο αυλός του τριχοειδούς περιέχει έξι «συγκολλημένα» ερυθροκύτταρα (ανοικτό βέλος) (αιματοξυλίνη-πωσίνη).

**Εικ. 28.** Σωμάτια Rushton και νεκρωτικό υπίκιο στην κοιλότητα κοινής περιριζικής κύστης (αιματοξυλίνη-πωσίνη).

**Εικ. 29.** Πολυπύρτονο γιγαντοκύτταρο (βέλος), προϊόν σύντηξης μονοπύρων μακροφάγων<sup>8,9</sup>, επιχειρεί να φαγοκυτταρώσει σωμάτιο Rushton. Το φαινόμενο είναι σπάνιο και, από όσα είναι γνωστά στους συγγραφείς, δεν έχει αναφερθεί στη βιβλιογραφία. Η αδυναμία ανοσοϊστοχημικής καθήλωσης αντισωμάτων για πρωτεΐνες κυτταρικού stress στα σωμάτια, ίσως εξηγεί την «απροθυμία» των μακροφάγων να φαγοκυτταρώνουν σωμάτια Rushton (αιματοξυλίνη-πωσίνη).

**Εικ. 30.** Ιστολογία κοκκιοκυτταρικής αντίδρασης σε κοινή περιριζική κύστη. Τα κοκκιώδη μακροφάγα (σφαιρικές δομές) εντοπίζονται στην κάψα (δεξιό τμήμα του μικροφωτογραφήματος) και, πλόγω εξωκυττάρωσης, στην επένδυση (πορεύεται από κάτω αριστερά προς τα άνω δεξιά) και κοιλότητα (άνω αριστερό τμήμα). Για διάκριση από τα κυτταροπλασματικά κοκκία, το βέλος υποδεικνύει τον πυρήνα μακροφάγου (αιματοξυλίνη-πωσίνη).

**Εικ. 31.** Ιστοχημεία κοκκιοκυτταρικής αντίδρασης σε κοινή περιριζική κύστη. Λόγω υπερφόρτωσης με φαγοσάματα πλούσια σε ελαϊώδεις ουσίες και φωσφοριπίδια<sup>11</sup>, τα κοκκιώδη μακροφάγα χρωματίζονται έντονα με Sudan black B. Τα μακροφάγα είναι πολυσύριθμα στην κάψα, όπου και διατάσσονται υπό μορφή δοκίδων. Ως ζεχωριστές μονάδες (βέλοι) μεταναστεύουν μέσω της επένδυσης πρός την κοιλότητα. Η άπως που περιβάλλει μερικά από τα ενδοεπιθηλιακά μακροφάγα οφείλεται σε artifact (βλέπε εικόνα 22).

**Εικ. 32.** Τα βέλη υποδεικνύουν άμορφες ενασβεστώσεις στην κάψα και κοιλότητα υπολειμματικής κύστης (αριστερό και δεξιό τμήμα του μικροφωτογραφήματος αντίστοιχα). Στο μέσο, η επιπεδώμενη επένδυση. Νεκρωτικά υπολειμματα είναι επίσης παρόντα στην κοιλότητα. Η φλεγμονή στην κάψα έχει υποχωρήσει (αιματοξυλίνη-πωσίνη).

**Εικ. 33.** Ιστολογική εικόνα δακτυηλοειδούς ενασβεστώσεως σε κυστική περιριζική χρόνια φλεγμονή. Τα βέλη υποδεικνύουν πολυπύρτονα γιγαντοκύτταρα που επιχειρούν να φαγοκυτταρώσουν το ενασβεστιωμένο υπίκιο. Ίνωση, αναγνωριζόμενη από τη συγκεντρική διάταξη ινοβλαστών, έχει επίσης αναπτυχθεί γύρω από το «δακτύλιο» (αιματοξυλίνη-πωσίνη).

ρωμένο υπίκιο προέρχεται πιθανώς από νεκρωμένα κύτταρα της επένδυσης.

## 12. Δυστροφική ενασβεστίωση

Είναι συνέπεια της ισχαιμικής νέκρωσης. Πράγματι με τη πύση των νεκρωμένων κυττάρων τα φωσφοριπίδια των μεμβρανών τους εκτίθενται στο μικροπεριβάλλον και δεσμεύουν ιόντα ασβεστίου<sup>87,88</sup>. Εξηγούνται έτσι η παρουσία ενασβεστιώσεων στην κυστική περιριζική χρόνια φλεγμονή (εικ. 32) και η αύξηση της συχνότητας εμφάνισης τους με την πάροδο του χρόνου<sup>75</sup>. Δυστροφικές ενασβεστιώσεις μπορούν να σχετίζονται με σωμάτια του Rushton ή να περιβάλλονται από πολυπύρωνα γιγαντοκύτταρα (εικ. 33).

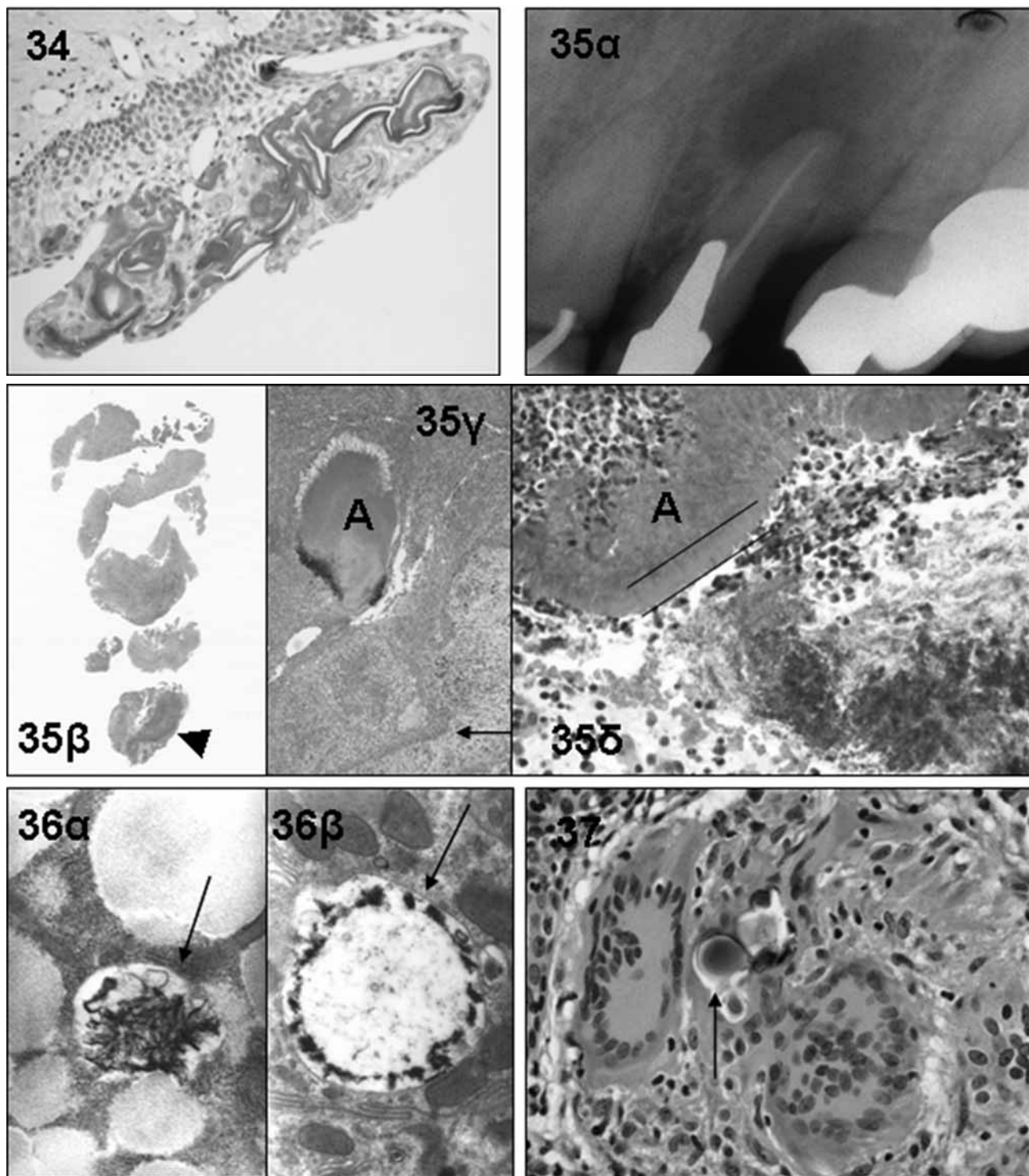
## 13. Κοκκιώματα χοληστερόλης και ξένων σωμάτων

Συζητούνται παρακάτω.

## 14. Διεπιθηλιακή εξάλειψη (trans-epithelial elimination)

Ο όρος χρησιμοποιείται στη Δερματοπαθολογία για να δηλώσει τη μέσω υπερπλαστικής επιδερμίδας μετακίνηση εκφυλισμένων ή ενασβε-

στιωμένων υπίκων, ή κοκκιωμάτων της δερμίδας, και την αποβολή τους στο περιβάλλον<sup>89</sup>. Η μετακίνηση γίνεται μέσω «πόρων» που δημιουργούνται ανάμεσα στα κερατινοκύτταρα, αλλά οι μηχανισμοί (παθητική αποφοιτίδωση ανάλογη εκείνης των κερατινοκυττάρων, ενεργητική «απορρόφηση» ανάλογη ηλεκτρικής σκούπας<sup>89</sup>) δεν είναι διακριβωμένοι. Στο δέρμα, διεπιθηλιακή εξάλειψη παρατηρείται συνήθως σε διατροπικές κολλαγονώσεις και εθιστώσεις, δακτυηλοειδές κοκκίωμα, στιλπνό πειχίνα κ.ά.<sup>89-91</sup>. Στο στόμα έχει παρατηρθεί διεπιθηλιακή εξάλειψη απολυμάτων και ενασβεστιωμένου υπίκιού από οστεοποιούμενες ινώδεις επουλίδες<sup>92</sup>. Η επιθηλιακή υπερπλασία που συνοδεύει τη διεπιθηλιακή εξάλειψη απολυμάτων μπορεί να είναι έντονη και ψευδοκαρκινωματώδης, και δεν θα πρέπει να συγχέεται με καρκίνωμα<sup>93</sup>. Στην κοινή περιριζική κύστη, η ανεύρεση σωματίων Rushton, ορισμένων τουλάχιστον ενασβεστιώσεων και κοκκιωμάτων χοληστερόλης στην κοιλότητα, ερμηνεύεται με γνώση της διεργασίας διεπιθηλιακής εξάλειψης. Η συχνή και στενή επαφή σωματίων Rushton με κύτταρα της επένδυσης, κύριο επιχείρημα των υποστηρικτών της επιθηλιογενούς προέλευσης των σωματίων<sup>82</sup>,



αντικατοπτρίζει διεπιθηλιακή εξάρειψη και όχι τοπική παραγωγή (εικ. 34).

#### *Κοινή περιριζική χρόνια φλεγμονή και βακτήρια*

Η σημασία των βακτηρίων στη γένεση της κυστικής ή συμπαγούς περιριζικής χρόνιας φλεγμο-

νής είναι αποδεκτή και έχει πειραματικά υποστηριχθεί<sup>94,95</sup>. Μικροοργανισμοί ανευρίσκονται στο νεκρωμένο πολφό και οδοντίνη, αλλά υπάρχουν αντιγνωμίες όσον αφορά στη συχνότητα παρουσίας τους σε περιριζικούς ιστούς. Σε ιστολογικές τομές από περιριζικές βιοψίες αναγνωρίζονται σε ποσοστό 14-36%<sup>95-97</sup>. Το ποσοστό υπερδιπλασιάζεται

**Εικ. 34.** Διεπιθηλιακή εξάπλευψη σωματίων Rushton μέσω της επένδυσης κοινής περιριζικής κύστης. Τμήματα της κάψας και κοιλότητας είναι παρόντα στο άνω αριστερό και κάτω δεξιό τμήμα του μικροφωτογραφήματος αντίστοιχα (αιματοξυλίνη-πωσίν).

**Εικ. 35.** a. Ακτινογραφική εικόνα μονόχωρης διαύγασης γύρω από το ακρορίζιο ενδοδοντικά θεραπευμένου δοντιού. Η παθολογο-ανατομική εξέταση έδειξε κυστική περιριζική χρόνια φλεγμονή με αποικίες ακτινομυκήτων. (Το ακτινογράφημα παραχωρήθηκε ευ-γενικά από γενικό οδοντίατρο. Οι ρίζες των δοντιών εμφανίζονται επιμηκυσμένες πλόγω εσφαλμένης γωνίασης της κεφαλής του ακτινογραφικού μηχανήματος κατά τη λήψη). β. Πανοραμική άποψη ιστολογικής τομής εξεμάτων μαλακού ιστού από την ακτινοδιαύ-γαση της εικόνας 35a. Αιχμή βέλους επισημαίνει τις αποικίες. γ. Μεγαλύτερη μεγέθυνση αποκαλύπτει ότι οι αποικίες (A) εντοπίζονται στην κοιλότητα της κύστης. Η υπερπλαστική επένδυση (βέλος) αφορίζει τις αποικίες από τους ιστούς. δ. Πύο (αθροίσματα ου-δετεροφίων πολυμορφοπυρήνων) περιβάλλει αποικία ακτινομυκήτων (A). Το φαινόμενο Splendore-Hoeppli αναγνωρίζεται στη με-σόφαση πύου και αποικίας (περιοχή ανάμεσα στα ευθύγραμμα τμήματα). Βασεόφιλοι κόκκοι έχουν επίσης σχηματίσει αποικίες (κά-τω δεξιό τμήμα του μικροφωτογραφήματος) (αιματοξυλίνη-πωσίν).

**Εικ. 36.** Τα βέλη επισημαίνουν ενασβεστιωμένα φαγοσώματα σε επιθηλιακά κύτταρα από παρωτίδα ικτίδας<sup>105</sup>. a. Σε κύτταρο αδε-νοκυψέλης ανάμεσα σε εκκριτικά κοκκία. β. Σε κύτταρο γραμμωτού πόρου ανάμεσα σε μιτοχόνδρια. Τα φαγοσώματα περιέχουν βελονοειδείς, πλεκτρονιοπικωτικούς κρυστάλλους υδροξυαπατίτη. Οι κρύσταλλοι είναι άτακτα διαταγμένοι στο κέντρο του φα-γοσώματος από το κύτταρο αδενοκυψέλης. Στο κύτταρο του πόρου έχουν συγκεντρωθεί περιφερικά υπό τη μεμβράνη του φαγο-σώματος (κιτρικός μόλυβδος).

**Εικ. 37.** Ιστολογική εικόνα κοκκιώματος από στοματοπροσωπική κοκκιωμάτωση. Τρία πεταλιώδη σωμάτια Schaumann (ένα από τα οποία επισημαίνεται με βέλος) αναγνωρίζονται μεταξύ ενός πολυπύρηνου γιγαντοκυττάρου τύπου Langhans (Theodor, Γερμανός παθολογοανατόμος, 1839-1915) (αριστερά) και ενός πολυπύρηνου γιγαντοκυττάρου τύπου ζένου σώματος (δεξιά). Η διαφορά στη διάταξη των πυρήνων μεταξύ των δύο τύπων γιγαντοκυττάρων είναι εμφανής (αιματοξυλίνη-πωσίν).

(88%) όταν χρησιμοποιούνται μικροβιολογικές τε-χνικές (καθηλεργειες) για την αναζήτηση των μικρο-οργανισμών<sup>96</sup>. Το εύρημα δεν θα πρέπει υποχρεωτικά να ερμηνευθεί ως ενδεικτικό αυξημένης ευαι-σθησίας των μικροβιολογικών τεχνικών, αφού η αυ-ξημένη παρουσία μπορεί να αντιπροσωπεύει artifact επιμόριυνσης κατά τη λήψη του υπικού<sup>95</sup>. Θεωρητικά, η πιθανότητα επιμόριυνσης εξαπλείφεται με την *in-situ* εξέταση της περιριζικής χρόνιας φλεγμονής. Μία μελέτη σχεδιασμένη με βάση την αρχή αυτή, δεν απεκάλυψε την παρουσία μικροορ-γανισμών σε ιστολογικές τομές από πειραματικά προκληθείσες περιριζικές βλάβες<sup>95</sup>. Το πρόβλημα είναι πολυπαραγοντικό και δεν φαίνεται πιθανή η επίτευξη ομογνωμίας και / ή σταθερά αναπαραγώ-γιμων αποτελεσμάτων. Σε συνδυασμό με την εξά-πλευψη επιμόριυνσης, νεότερες τεχνικές για την κα-τάδειξη μικροοργανισμών, π.χ. αλυσιδωτή αντίδρα-ση πολυμεράσης (PCR), μπορούν να εφαρμοσθούν. Το κίνητρο για την ανάληψη περαιτέρω σπουδών κρίνεται ακαδημαϊκό, αφού η κλινική σημασία του προβλήματος είναι αμφισβητήσιμη.

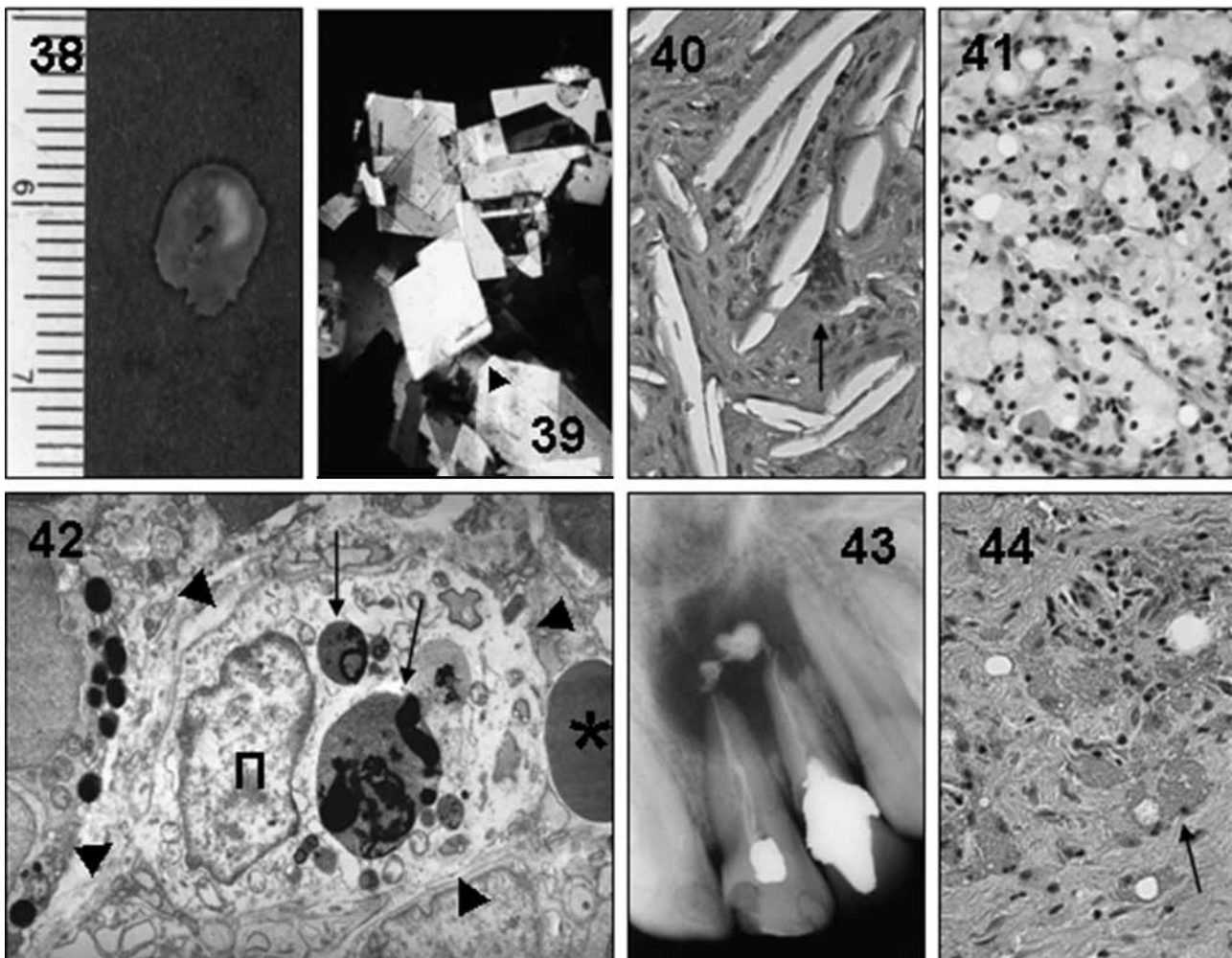
Ακόμα πιο σπάνια (1,8%) είναι η ιστολογική ανεύρεση ακτινομυκήτων σε περιριζικές μονόχω-ρες ακτινοδιαυγάσεις (εικ. 35)<sup>98</sup>. Τέσσερις περιπτώ-σεις των συγγραφέων παρουσιάζονται στον πίνακα 4. Παρά τις αντίθετες απόψεις ορισμένων συγγρα-φέων<sup>98,99</sup>, το εύρημα δεν ισοδυναμεί με ιστολογική διάγνωση ακτινομυκητίασης. Πράγματι οι βάκιλλοι είναι συνήθως μέσα σε κοιλότητες (εικ. 35γ), και δεν φαίνεται να διηθούν έμβιους ιστούς και να προ-

καπούν κοκκιωματώδη αντίδραση. Επιπλέον, η κλι-νική εικόνα δεν είναι εκείνη της κλασικής τραχηλο-προσωπικής ακτινομυκητίασης η οποία χαρακτηρί-ζεται από διόγκωση, τυπικά στη γωνία της κάτω γνάθου, και πυοροούντα εξωτερικά συρίγγια<sup>2</sup>. Συ-νοπτικά, οι περιριζικοί ακτινομύκητες δεν θα πρέπει να θεωρούνται ποιμωχιογόνοι. Ο παθολογοανατό-μος θα πρέπει να διευκρινίζει στην έκθεσή του ότι πρόκειται για απλή παρουσία ακτινομυκήτων και όχι ακτινομυκητίαση. Ατυχής διατύπωση μπορεί να πα-ρεμπηνευθεί και να οδηγήσει σε μη αναγκαία μα-κρόχρονη πενικιλίνηθεραπεία.

Σημειώνεται ότι σε ιστολογικές τομές ρουτίνας οι αποικίες ακτινομυκήτων περιβάλλονται από χα-ρακτηριστικό πωσινόφιλο ακτινωτό «στέφανο». Ο στέφανος αντιπροσωπεύει συλλογή πρωτεΐνων, φωσφοριπιδίων, συμπλεγμάτων αντιγόνου-αντισώ-ματος και υποπλειμάτων φλεγμονώδων κυττάρων, διεργασία γνωστή ως φαινόμενο Splendore-Hoeppli (εικ. 35δ), και χρωματίζεται εκλεκτικά με ποικίλες

**Πίνακας 4.** Ακτινομύκητες σε περιριζικές μονόχω-ρες ακτινοδιαυγάσεις

Φύλο	Ηλικία (χρόνια)	Εντόπιση	Ιστολογία
Θ	61	23	Ακροριζική κύστη
Θ	71	11,12	Ακροριζική κύστη
A	56	22	Ακροριζική κύστη
A	49	27	Χρόνιο απόστημα



ειδικές τεχνικές<sup>100</sup>. Το φαινόμενο Splendore-Hoeppli παρατηρείται επίσης γύρω από αποικίες άλλων μικροοργανισμών, κυρίως μυκήτων, με τυπικό παράδειγμα τα μαδουρομυκητώματα<sup>100</sup>.

### ΜΑΛΑΚΟΠΛΑΚΙΑ

Η ασαφούς αιτιολογίας φλεγμονώδης αυτή διεργασία χαρακτηρίζεται από συγκεντρώσεις μακροφάγων με ενασβεστιωμένα φαγοσώματα και εμφανίζεται συνήθως στην ουροδόχο κύστη<sup>101</sup>. Προσβολή περιριζικών ιστών είναι εξαιρετικά σπάνια<sup>102</sup>. Υπάρχει όμως η πιθανότητα να είναι πλασματική, αφού μικροσκοπικές ενασβεστιώσεις ίσως διαπλύνονται σε μονιμοποιητικά με όξινο pH<sup>103</sup>. Ενασβεστιωμένα φαγοσώματα δεν είναι ίδιον της μαλακοπλακίας. Ανευρίσκονται σε κύτταρα σιαλογόνων αδένων (εικ. 36)<sup>104,105</sup> και τα σωμάτια Schaumann που παρατηρούνται σε επιθηλιοειδή κοκκιώματα (εικ. 37) είναι πιθανώς ενασβεστιωμένα φαγοσώματα<sup>106-108</sup>.

### ΠΕΡΙΡΙΖΙΚΗ ΑΘΗΡΩΜΑΤΩΣΗ

Οι συγγραφείς χρησιμοποίησαν τον όρο «αθηρωμάτωση» για να τονίσουν τις ομοιότητες μεταξύ των εναποθέσεων αδιάλιπτων κρυστάλλων χοληστερόλης στην περιριζική χρόνια φλεγμονή, συμπαγή ή κυστική, και στο τοίχωμα αθηρωσκληρυντικών αρτηριών<sup>70,109-111</sup>. Η περιριζική αθηρωμάτωση αναγνωρίζεται μακροσκοπικά από το κίτρινο χρώμα της (εικ. 38). Δεν σχετίζεται με αρτηρίες αλλά με τους συνδετικούς ιστούς της χρόνιας φλεγμονής.

Η συνήθης ιστολογική τεχνική διαπέντει τους κρυστάλλους, αφίνοντας στη θέση τους ταινιοειδή ή αμφίκυρτα κενά<sup>109,110</sup>. Ιστοχημεία απαιτείται για τη διατίρηση και κατάδειξη τους. Οι χρωστικές τύπου Sudan (εικ. 31) δεν αντιδρούν με τη χοληστερόλη, αλλά κατάληπτη είναι η μέθοδος PAN (perchloric acid - naphthoquinone). Σύμφωνα με τη μέθοδο αυτή, το υπερχλωρικό οξύ «συμπικνώνει» το μόριο της χοληστερόλης που στη συνέχεια

**Εικ. 38.** Μακροσκοπική όψη μονιμοποημένης κυστικής περιορίζικής φλεγμονής που υποβλήθηκε σε παθολογοανατομική εξέταση. Στο πλαίσιο της εξέτασης, η βλάβη διατμήθηκε. Η παχιά, πιθανώς πόρω διεργασιών επιδιόρθωσης, κάψα περιέχει ωχρή ημισεληνοειδή περιοχή που αντιπροσωπεύει αθηρωματική εστία. Αριστερά της εστίας, η μικρή σχισμοειδής κοιλότητα.

**Εικ. 39.** Κατάδειξη κρυστάλλων χοληστερόλης με πολαρισκοπία (polariscopy). (Οι αρχές περιγράφονται στο κείμενο). Αιχμή βέλους υποδηλώνει την κολοβωμένη γωνία ενός κρυστάλλου.

**Εικ. 40.** Ιστολογική εικόνα κοκκιώματος χοληστερόλης. Οι κρύσταλλοι έχουν διαλισθεί, αλλά η παρουσία τους υποδηλώνεται από τους ταινιοειδείς ή λεπτούς αμφίκυρτους κενούς χώρους. Το βέλος υποδεικνύει πολυπύρων γιγαντοκύτταρο σε επαφή με έναν από τους χώρους (αιματοξυλίνη-πωσίνη).

**Εικ. 41.** Ιστολογική εικόνα αφρωδών μακροφάγων. Συγκρίνετε τη μορφολογία τους με εκείνη των κοκκιωδών μακροφάγων της εικόνας 31 (αιματοξυλίνη-πωσίνη).

**Εικ. 42.** Μακροφάγο που έχει επιδοθεί σε φαγοκυττάρωση ερυθροκυττάρων (βέλη) στο υπόστρωμα σιαλογόνου αδένα γάτας, όπως παρατηρείται με το πλεκτρονικό μικροσκόπιο. Αιχμές βελών οριοθετούν το κυτταρόπλασμα του μακροφάγου. Τα φαγοκυττάρωθέντα ερυθροκύτταρα και ποικιλίες πυσσοσωμάτων / φαγοσωμάτων έχουν απωθήσει τον πυρήνα (Π) του μακροφάγου στην περιφέρεια. Σε αντίθεση με ένα εξαγγειωμένο ερυθροκύτταρο (αστερίσκος), τα φαγοκυτταρώμένα ερυθροκύτταρα περιέχουν πλεκτρονιοπυκνωτικό υλικό, ενδεικτικό προϊόντος αποδόμησης κυτταρικών μεμβρανών από πυσσοσωματικά ένζυμα (κιτρικός μόλυβδος).

**Εικ. 43.** Ακτινογράφημα μονόχωρης ακτινοδιαύγασης γύρω από τα ακρορίζια γειτονικών, ενδοδοντικά θεραπευμένων, πρόσθιων άνω δοντιών. Εμφρακτικό υλικό έχει πρωθηθεί πέραν των ακρορίζων, αλλά αιτιοπαθογενετική σχέση μεταξύ του ατυχούς χειρισμού και της ακτινοδιαύγασης δεν είναι δυνατό να προσδιορισθεί από μελέτη του ακτινογραφήματος μόνο.

**Εικ. 44.** Ιστολογική εικόνα περιοχής περιορίζικής χρόνιας φλεγμονής πλούσιας σε μακροφάγα που έχουν φαγοκυτταρώσει υλικό έμφραξης ριζικών σωλήνων. Το αμέταλλο, μικροπορώδες υλικό, χαρακτηριστικής γκριζοπράσινης χροιάς, έχει διογκώσει το κυτταρόπλασμα των μακροφάγων και απωθήσει περιφερικά τον πυρήνα τους (βέλος). Συγκρίνετε με τις εικόνες 31 και 41 (αιματοξυλίνη-πωσίνη).

αντιδρά με τη ναφθοκινόνη για να σχηματίσει αναγνωρίσιμη μικροσκοπικά γαλάζια χρωστική<sup>112</sup>. Για πλέον ταχεία κατάδειξη, η επιφάνεια διατομής μη μονιμοποιημένου ιστού πιέζεται ελαφρά σε αντικειμενοφόρο πλάκα και το «αποτύπωμα» εξετάζεται στο πολωμένο φώς. Οι κρύσταλλοι είναι διπλοθλαστικοί και το κολοβωμά των γωνιών τους είναι χαρακτηριστικό (εικ. 39)<sup>70</sup>.

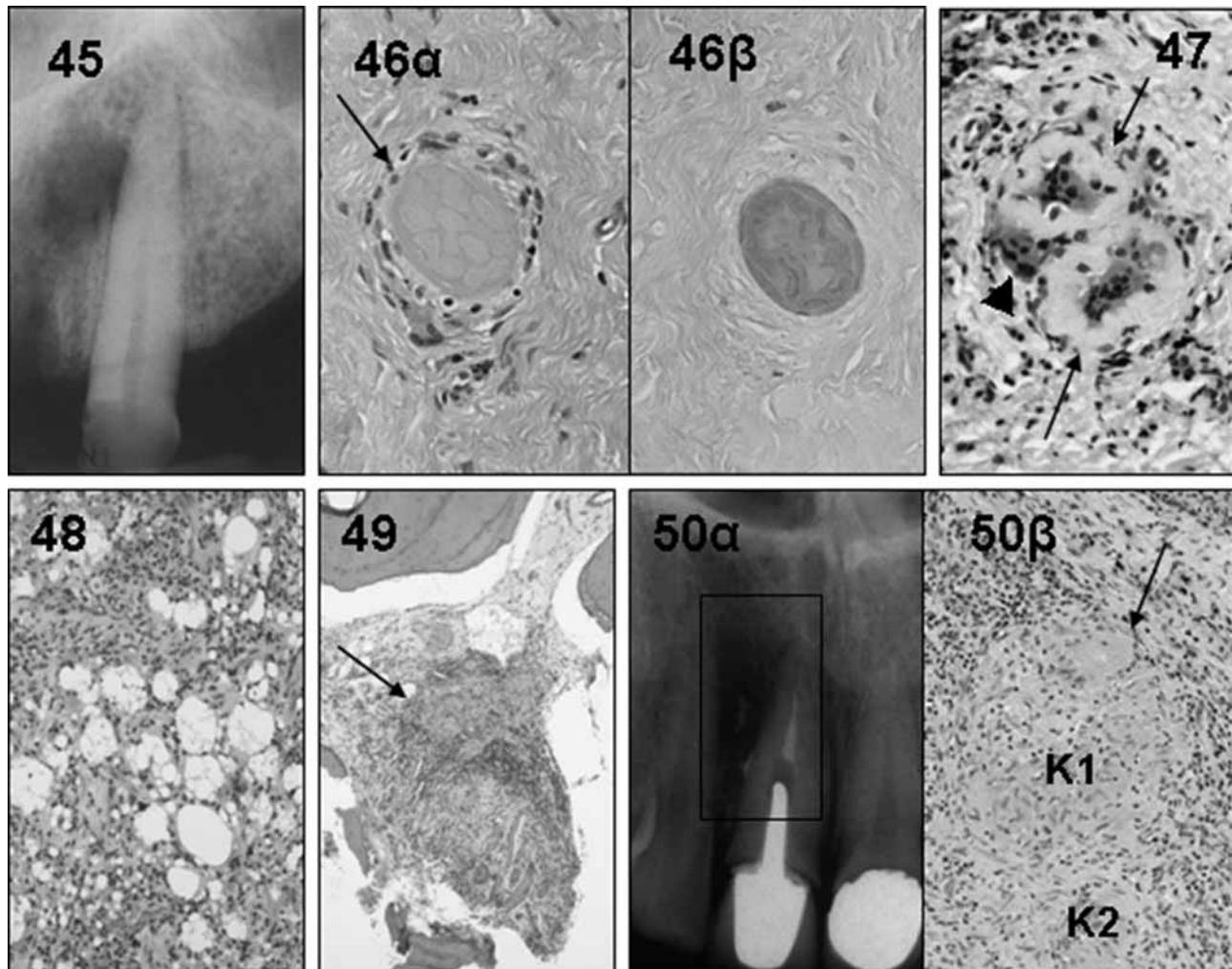
Στους ιστούς, οι κρύσταλλοι χοληστερόλης περιβάλλονται από πολυπύρων γιγαντοκύτταρα (εικ. 40), τα οποία επιχειρούν να τους αποδομήσουν<sup>70, 109-111</sup>. Τα συμπλέγματα ικανοποιούν το χαρακτηρισμό τους ως «κοκκιώματα χοληστερόλης», και σχετίζονται με συγκεντρώσεις αφρωδών μακροφάγων (εικ. 41) και εναποθέσεις αιμοσιδορίνης<sup>70</sup> (εικ. 32)<sup>77</sup>. Εκτός από το τοίχωμα αθηρωσικής πρυντικών αρτηριών και την περιορίζική χρόνια φλεγμονή, κοκκιώματα χοληστερόλης παρατηρούνται στη χρόνια μέσην ωτίτιδα<sup>113</sup>.

Οι μηχανισμοί του σχηματισμού αδιάλυτων κρυστάλλων χοληστερόλης στους ιστούς είναι ιδιαίτερα ενδιαφέροντες. Η γειτνίαση των κρυστάλλων με αφρώδη μακροφάγα και αιμοσιδορίνη υποδηλώνει ότι τα κύτταρα αυτά και η αιμορραγία έχουν σημαίνοντα ρόλο. Πράγματι τα μακροφάγα ενδοκυτταρώνουν και αποδομούν στα πυσσοσωμάτα, εξαγγειώθεντα ερυθροκύτταρα (εικ. 42) και υδατοδιαλυτές πιποπρωτεΐνες οι οποίες περιέχουν εστεροποιημένη χοληστερόλη. Απεκτενθερώνεται έτσι χολη-

στερόλη που, σύμφωνα με την άποψη των Brown και Goldstein, μπορεί να: (1) χρησιμοποιηθεί για ανανέωση κυτταρικών μεμβρανών, (2) επανεστεροποιηθεί και αποθηκευθεί στο κυτταρόπλασμα, και (3) εκτεθεί στην επιφάνεια του μακροφάγου όπου προσλαμβάνεται από κυκλοφορούντα ερυθροκύτταρα και πιποπρωτεΐνες υψηλής πυκνότητας, και απομακρύνεται έτσι από το κύτταρο<sup>114</sup>. Ανάλογη απομάκρυνση δεν ευνοείται στην περιορίζική χρόνια φλεγμονή, πόρω των κυκλοφορικών διαταραχών που αναφέρθηκαν προηγουμένως, και η δυνατότητα του μακροφάγου να ανακυκλώνει χοληστερόλη αποδυναμώνεται<sup>70</sup>. Η αποδυνάμωση αυτή, σε συνδυασμό με την αυξημένη προσαγωγή υλικού μεμβρανών από τα αποδομούμενα ερυθροκύτταρα πλούσιου σε πιπίδια, αυξάνει τα επίπεδα της ελεύθερης χοληστερόλης στο κυτταρόπλασμα του μακροφάγου<sup>70</sup>. Η αύξηση συνεπάγεται κορεσμό και κρυσταλλοποίηση<sup>70</sup>.

## ΠΕΡΙΡΙΖΙΚΕΣ ΑΝΤΙΔΡΑΣΕΙΣ ΞΕΝΟΥ ΣΩΜΑΤΟΣ

Εμφρακτικά ριζικών σωλήνων μπορούν να δράσουν ως ξένα σώματα, για παράδειγμα κοκκία γουταπέρκας ή αιμαλγάματος, που ανάλογα με το μέγεθός τους προσελκύουν και φαγοκυτταρώνονται από μακροφάγα ή πολυπύρων γιγαντοκύτταρα (εικ. 43 και 44).



Ενδιαφέρον παρουσιάζουν οι περιριζικές αντιδράσεις σε όσπρια ή άπλω πλαχανικά που μέσω ριζικών σωλήνων καταλήγουν στην περιοδοντική μεμβράνη και γειτονικές οστικές μυελοκυψέλες, όπου προκαλούν φλεγμονή και οστεόλιση (εικ. 45) ή συνοδεύουν περιριζικές κύστεις και «οδοντικά κοκκιώματα». Για ένα χρονικό διάστημα μετά τον εντοπισμό στους ιστούς, το «ξένο» υλικό αναγνωρίζεται ιστολογικά ως πιοβόμορφα κοκκία αμύλου, ανιχνεύσιμου ιστοχημικά, σκπνωμένα σε ικρίωμα και περιβαλλόμενα από «φλοιό» (εικ. 46). Με την πάροδο όμως του χρόνου το άμυλο αποδομείται και ο φλοιός κολλαγονοποιείται. Δημιουργούνται έτσι χαρακτηριστικοί υαλοειδείς δακτύλιοι που μοιάζουν με λουκουμάδες και βρίσκονται σε στενή επαφή με πολυπύρωνα γιγαντοκύτταρα (εικ. 47)<sup>115,116</sup>. Τα όψιμα αυτά συμπλέγματα είναι γνωστά και ως

«κοκκιώματα δακτυλίων υαλίνης»<sup>117</sup>. Έχουν προκληθεί πειραματικά<sup>118</sup> και η φυτική τους προέλευση δεν αμφισβητείται. Αρχικά όμως είχαν παρερμηνευθεί. Οι προηγούμενες θεωρίες έχουν αναφερθεί απλού<sup>119</sup> και δεν επαναλαμβάνονται, αφού έχουν ιστορική μόνο σημασία. (Στην «πνευμονία από όσπρια», ανευρίσκονται ιστολογικά αμυλούχες δομές ανάλογες εκείνων της εικόνας 46<sup>120</sup>. Σχετικά μικροφωτογραφήματα είχαν δημοσιευθεί πριν τις σπουδές που υποστήριξαν τη φυτική προέλευση των δακτυλίων υαλίνης στις γνάθους. Οι διαφορές στη μορφολογία αμυλούχων μορφωμάτων και κοκκιωμάτων δακτυλίων υαλίνης, πρώιμη και όψιμη παθολογική ανατομία αντίστοιχα, πιθανώς επιβράδυναν την αναγνώριση της μεταξύ τους συσχέτισης).

Λιγότερη πρόοδος έχει επιτευχθεί όσον αφορά στη διακρίβωση της φύσης άπλων ξέ-

**Εικ. 45.** Ακτινογράφημα διαιύγασης σχετιζόμενης με το ακροριζικό τριτημόριο πρόσθιου άνω δοντιού. Η βλάβη είναι ασαφώς περιγεγραμμένη. Η παθολογοανατομική εξέταση έδειξε αντίδραση σε όσπρια (αιματούχος ουσία).

**Εικ. 46.** a. Ιστολογική εικόνα επίπειψειδούς φυτικού μορφώματος (βέλος) σε πυκνό συνδετικό ιστό, το οποίο περιέχει τουπάχιστον δέκα κοκκία αμύλου (μικρότερες, επίπειψειδείς και πλέον ελαφροχρωματικές δομές). Μερικά βαθυχρωματικά φλεγμονώδη κύτταρα περιβάλλουν το μόρφωμα (αιματοξυνή-πωσίνη). b. Μικροφωτογράφημα από μικροτομή γειτονική εκείνης της εικόνας 46a, χρωματισμένη με την ιστοχημική τεχνική PAS. Η τεχνική χρωματίζει εκλεκτικά το μόρφωμα και τα κοκκία, πλόγω της περιεκτικότητάς τους σε υδατάνθρακες.

**Εικ. 47.** Ιστολογική εικόνα δύο κοκκιώματων που περιέχουν δακτυπλίους υαλίνης (βέλος). Οι δακτύλιοι εφάπτονται. Πολυπύρωνα γιγαντοκύτταρα παρατηρούνται στο εσωτερικό των δακτυπλίων και γύρω (αιχμή βέλους) από αυτούς (αιματοξυνή-πωσίνη).

**Εικ. 48.** Ιστολογική εικόνα περιριζικής χρόνιας φλεγμονής πλούσιας σε «φυσαπιδώδεις» «κενοτοπιώδεις» χώρους άγνωστης παθογένεσης (αιματοξυνή-πωσίνη).

**Εικ. 49.** Πανοραμική ιστολογία κοκκιώματώδους οστεομυελίτιδας. Το βέλος επισημαίνει μικρό κοκκίωμα σε μυελοκυψέλη. Τα δομικά συστατικά του δεν αναγνωρίζονται στην μεγέθυνση αυτή, αλλά είναι ανάλογα εκείνων που περιγράφονται στην εικόνα 50β. Η μυελοκυψέλη είναι ινώδης και φλεγμαίνουσα χωρίς αιμοποιητικό ή πιπώδη ιστό (αιματοξυνή-πωσίνη).

**Εικ. 50.** a. Ακτινογραφικό εύρημα σχετιζόμενο με ενδοδοντικά θεραπευμένο άνω τομέα γυναίκας πληκίας 31 ετών. Το παραθηλητόγραμμο οριοθετεί πλαγιοριζική μονόχωρη ακτινοδιαύγαση ασαφούς περιγράμματος. (Με την ευγενική παραχώρωση του S. Appiah-Anane). b. Ιστολογική εικόνα της βλάβης. Αναγνωρίζονται δύο ποικιλομεγέθη κοκκιώματα χωρίς κεντρική νέκρωση (K1, K2), τα οποία αποτελούνται κυρίως από επιθηλιοειδή κύτταρα και περιβάλλονται απελάς από μέτριας πυκνότητας διοθήματα πεμφοκυττάρων. Τα κοκκιώματα διατηρούν την αυτοτέλειά τους και δεν συντήκονται. Το βέλος υποδεικνύει πολυπύρωνα γιγαντοκύτταρο τύπου Langhans (αιματοξυνή-πωσίνη).

νων σωμάτων. Για παράδειγμα, παραμένει αδιευκρίνιστη η φύση των «φυσαπιδών» που συναντώνται συχνά σε περιριζικές βιοψίες (Εικ. 48).

Τεχνολογίες ταυτοποίησης ξένων σωμάτων είναι διαθέσιμες και περιλαμβάνουν μικροανάλυση με ηλεκτρονικό μικροσκόπιο<sup>121,122</sup>. Είναι όμως δαπανηρές, χρονοβόρες και απίθανο να εφαρμοσθούν στην καθ' ημέρα διαγνωστική παθολογική ανατομία, αφού τα περιριζικά ξένα σώματα θεωρούνται σπάνια και ήσσονος κλινικής σημασίας.

## ΠΕΡΙΡΙΖΙΚΗ ΕΠΙΘΗΛΙΟΕΙΔΗΣ ΚΟΚΚΙΩΜΑΤΩΔΗΣ ΦΛΕΓΜΟΝΗ

Επιθηλιοειδής κοκκιώματώδης φλεγμονή στους περιριζικούς ιστούς (εικ. 49) αντιπροσωπεύει ενδοστική εκδήλωση σαρκοειδώσης ή αντίδρασης υπερευαισθησίας<sup>123-125</sup>. Είναι σπάνια και οι σχετικές δημοσιεύσεις αφορούν σε μεμονωμένες περιπτώσεις. Ως εκ τούτου θα πρέπει να καταβάλλεται προσπάθεια χαρακτηρισμού κάθε νέας περίπτωσης με βάση τις αρχές ταξινόμησης των κοκκιώματων, όπως συνοψίζονται στην υπερευάττη για την κοινή συμπαγή περιριζικής χρόνια φλεγμονή<sup>12-16</sup>. Η ταξινόμηση στάθηκε δυνατή χάρις στην περίπτωση που παρουσιάζεται στις εικόνες 50 και 51. Με χρήση ιστολογίας και ανοσοϊστοχημείας βρέθηκε ότι ο φλεγ-

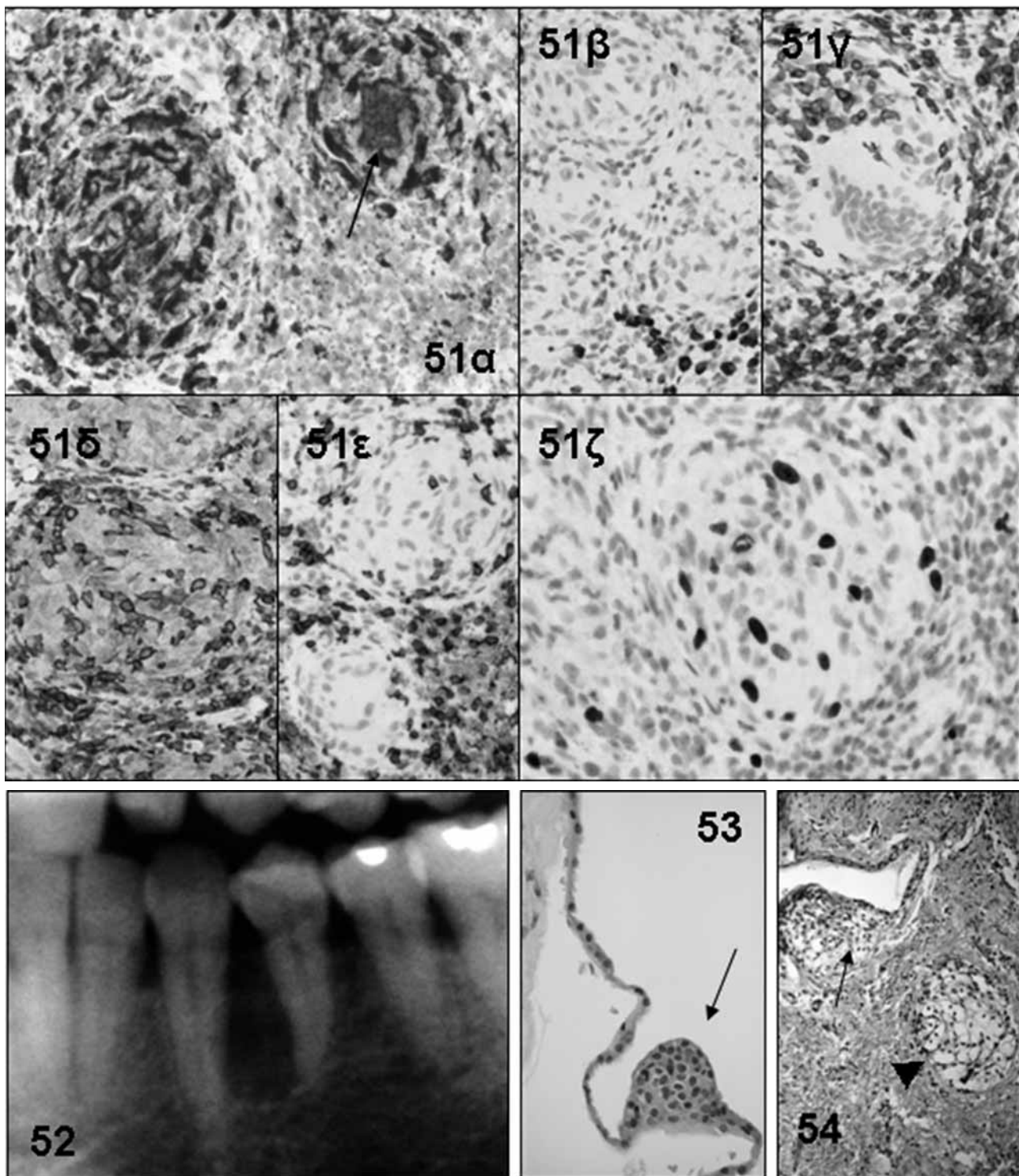
μονώδης ιστός που απόξεσε ο οδοντίατρος από τη βλάβη, περιείχε πολυυάριθμα μη νεκρωτικά, σαρκοειδόμορφα κοκκιώματα με περιορισμένη ικανότητα για φαγοκυττάρωση αλλά αυξημένη κυτταρική κινητική, τα οποία αντικατόπτριζαν ανοσοϊλογική αντίδραση κυτταρικού τύπου. Περαιτέρω έπειγχος δεν απεκάλυψε συστηματική νόσο και η βλάβη ερμηνεύθηκε ως τοπική υπερευαισθησία στο εμφρακτικό υπίκο του ριζικού σωλήνα.

Περιριζικά επιθηλιοειδή κοκκιώματα έχουν αναφερθεί και στη φυματιοειδή μορφή της πλεπρας<sup>126</sup>. Θα πρέπει να θεωρηθούν ως παράδειγμα «εξωτικής» παθολογικής ανατομίας και η συνάντησή τους στην καθ' ημέρα πράξη δεν φαίνεται πιθανή.

## ΙΔΙΟΠΑΘΕΙΣ ΠΕΡΙΡΙΖΙΚΕΣ ΚΥΣΤΕΙΣ

Αυτές αντιπροσωπεύονται από τη μονόχωρη και πλέον συχνή ποικιλία της πλάγιας περιοδοντικής κύστης που συνήθως εντοπίζεται στην περιοχή κυνοδόντων-προγομφίων της κάτω γνάθου (εικ. 52). Η αιτιολογία είναι άγνωστη, αλλά η κύστη δεν σχετίζεται με φλεγμονή και τα γειτονικά δόντια είναι ζωντανά<sup>32,127</sup>.

Η ιστολογία είναι εύκολα αναγνωρίσιμη. Δεν υπάρχει φλεγμονή στην κάψα και η επιθηλιακή επένδυση είναι εξαιρετικά λεπτή αλλά εμφανί-



ζει χαρακτηριστικές τοπικές παχύνσεις που είναι γνωστές ως «πλάκες» (εικ. 53)<sup>38</sup>.

Μερικές φορές οι πλάκες αποτελούνται από κύτταρα με διαυγές / ξάστερο κυτταρόπλασμα που μοιάζουν με τα εμβρυογενή υποθείματα της οδοντικής ταινίας (εικ. 54). Με βάση την ομοιότητα αυτή, ορισμένοι απέδωσαν την πλάγια περιοδοντική

κύστη σε κυστική εκφύσηση των υποθείματων<sup>128</sup>. Σε αρμονία με τους Altini και Shear<sup>129</sup>, οι συγγραφείς υποστηρίζουν την προέλευση της πλάγιας περιοδοντικής κύστης από το λεπτυνθέν επιθήκιο του οργάνου της αδαμαντίνης. Πράγματι το επιθήκιο αυτό μπορεί να εμφανίζει εκβλαστίσεις που μοιάζουν με τις πλάκες της κύστης (εικ. 55).

**Εικ. 51.** Ανοσοϊστοχημεία της ειδικής κοκκιωματώδους φλεγμονής που απεικονίζεται στην εικόνα 50. **a.** Επιθημοϊειδή κύτταρα και ένα πολυπύρων γιγαντοκύτταρο (βέλος) εκφράζουν το αντιγόνο CD68. **β.** Χρώση για αντιγόνο CD79a (συστατικό υποδοχέων B-κυττάρων) δεικνύει οπιγάριθμα B-κύτταρα (κάτω και δεξιό τμήμα του μικροφωτογραφήματος) γύρω από δύο κοκκιώματα. **γ.** Χρώση για αντιγόνο CD3 (αξιόπιστος δείκτης διαφοροποίησης σε T-κύτταρο) δεικνύει πολυάριθμα T-κύτταρα γύρω από κοκκιώματα. **Συγκρίνετε με την εικόνα 51β.** Το πολυπύρων γιγαντοκύτταρο στο κέντρο του μικροφωτογραφήματος είναι αχρωμάτιστο. **δ.** Χρώση για αντιγόνο CD4 δεικνύει επικουρικά T-κύτταρα τόσο μέσα όσο και γύρω από κοκκιώματα. **ε.** Χρώση για αντιγόνο CD8 δεικνύει καταστατικά T-κύτταρα κυρίως γύρω από τα κοκκιώματα. **Συγκρίνετε με την εικόνα 51δ.** **ζ.** Χρώση για Ki67 δεικνύει ότι αρκετά επιθημοϊειδή κύτταρα βρίσκονται σε κυτταρικό κύκλο.

**Εικ. 52.** Ακτινογράφημα πλάγιας περιριζικής κύστης μεταξύ κάτω κυνόδοντα και πρώτου προγόμφιου.

**Εικ. 53.** Ιστολογία πλάγιας περιριζικής κύστης. Το βέλος επισημαίνει πλάκα που προβάλλει στην κοιλότητα. Η υπόλοιπη επένδυση αποτελείται από μία έως δύο στιβάδες πεπλατυσμένων ή κυβοειδών κυττάρων. Η κάψα (αριστερό και κάτω τμήμα του μικροφωτογραφήματος) είναι ελεύθερη φλεγμονής (αιματοξυλίνη-πωσίνη).

**Εικ. 54.** Το μικροφωτογράφημα περιέχει τμήμα περιοδοντικής κύστης με πλάκα (βέλος), και υποδιοιειδές υπόλειμμα οδοντικής ταίνιας (αιχμή βέλους). Οι μικροί βαθυχρωματικοί πυρίνες και το διαυγές κυτταρόπλασμα των κυττάρων της πλάκας και υποδίας, διακρίνονται εύκολα. Κυτταροπλασματική «διαιγύεια» έχει αποδοθεί στην παρουσία γηλικογόνου ή / και artifact μονιμοποίησης<sup>32,126-128</sup>. Το φαινόμενο δεν είναι σπάνιο στη διαγνωστική παθολογική ανατομία (αιματοξυλίνη-πωσίνη).

### ΧΩΡΟΚΑΤΑΚΤΗΤΙΚΕΣ ΔΥΣΠΛΑΣΤΙΚΕΣ (ΔΥΣΓΕΝΕΤΙΚΕΣ) Ή ΜΗ ΠΕΡΙΡΙΖΙΚΕΣ ΒΛΑΒΕΣ

Εδώ εξετάζονται οι περιριζική οστική δυσπλασία και η περιριζική γιγαντοκυτταρική βλάβη.

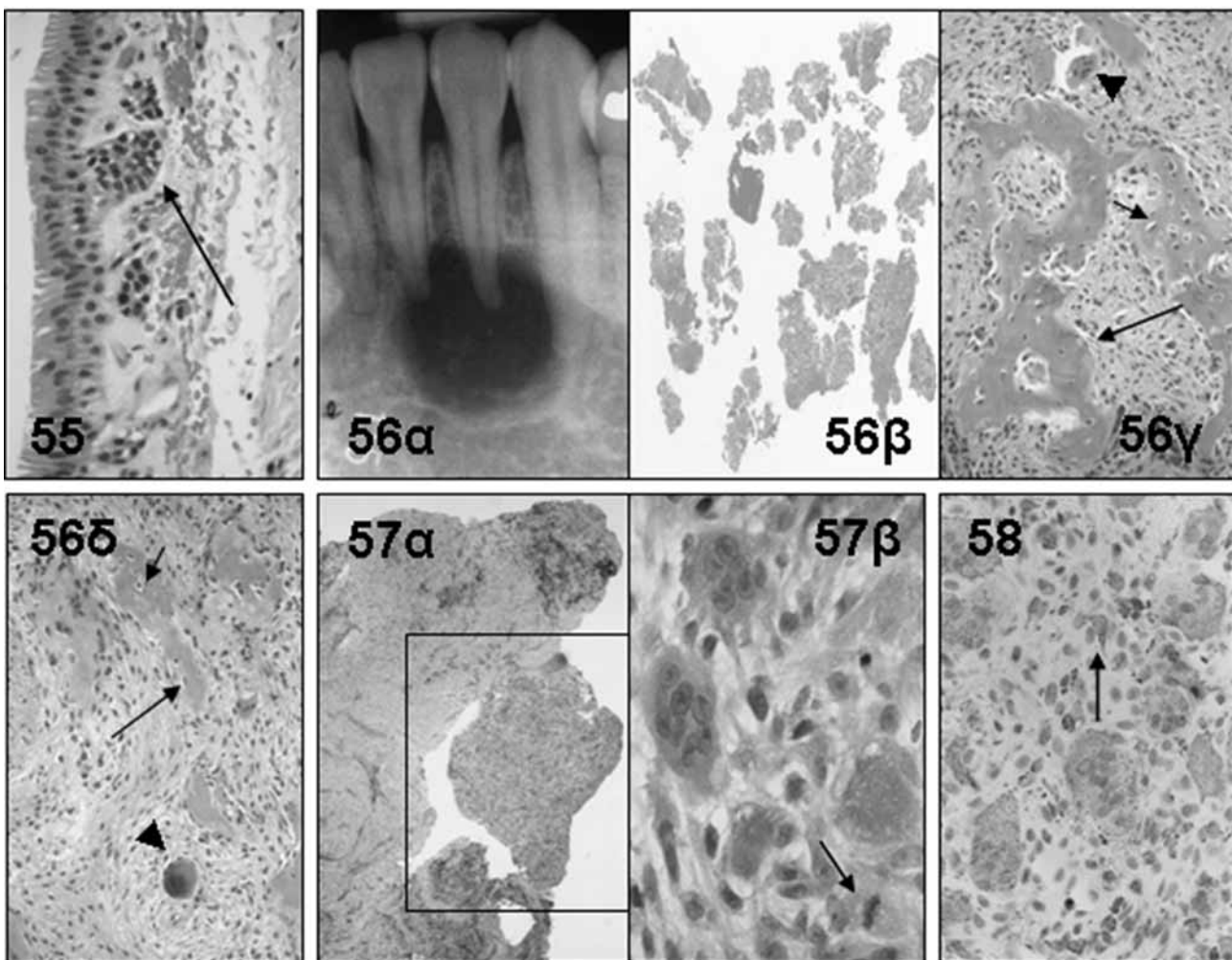
Σε αντίθεση με τις άλλες νοοσφηρικές οντότητες που συζητούνται στην παρούσα ανασκόπηση, η περιριζική οστική (οστεϊνική ή εστιακή οστεϊνο-οστική) δυσπλασία<sup>1,2,130-132</sup> χαρακτηρίζεται από αντικατάσταση μάλλον, παρά από καταστροφή οστού. Παρατηρείται γύρω από ζωντανά δόντια, τόσο πρόσθια όσο και οπίσθια (εικ. 56α), και πιο συχνά στην κάτω γνάθο και συνήθως είναι περιορισμένη σε έκταση<sup>130,132</sup>. Ο παθολογικός ιστός συνέχεται με το γειτονικό οστούν και η αφαίρεσή του επιτυγχάνεται με απόξεση μάλλον παρά εκπυρήση. Ιστολογικά, τα αφαιρεθέντα ξέσματα (εικ. 56β) αποτελούνται από νεοοχηματισμένες δοκίδες οστεοειδούς, ινοβλάστες και οστεϊνύλια σε ινώδες υπόστρωμα (εικ. 56γ και 56δ)<sup>1,2,130-132</sup>. Οι δοκίδες είναι πιεπτές, έχουν ανώμαλο σχήμα, και η άτακτη, μη πειτουργική διάταξή τους (εικ. 56γ) δεν εξασφαλίζει ικανοποιητική αντίσταση σε μηχανικές φορτίσεις και stress. Προοδευτική ενασβεστίωση εξηγεί τις μεταβολές στην ακτινογραφική απεικόνιση, που επίσης χαρακτηρίζουν τη βλάβη<sup>1,2,131</sup>. Πιθανώς η βλάβη αντιπροσωπεύει δυσγένεση, αλλά οι μηχανισμοί δεν είναι διακριβώμενοι. Η πιθανότητα μετατηλάξεων στο γονίδιο GNAS1 το οποίο εντοπίζεται στο χρωματοσωματικό

τόπο 20q13 και κωδικοποιεί την πρωτεΐνη G (άπα), αξίζει να διερευνηθεί. Μετατηλάξεις του GNAS1 έχουν καταγραφεί στην ινώδη δυσπλασία και το σύνδρομο Albright<sup>133</sup>. Οι οντότητες αυτές επίσης χαρακτηρίζονται από αντικατάσταση οστού, η οποία όμως είναι πλέον εκτεταμένη, μπορεί να προσβάλλει περισσότερα από ένα οστά και, στην περίπτωση του συνδρόμου, να συνοδεύεται από ενδοκρινικές διαταραχές.

Η περιριζική γιγαντοκυτταρική βλάβη περιγράφηκε σχετικά πρόσφατα<sup>134</sup>. (Οι κλινικοί χαρακτήρες τριών περιπτώσεων αυτής της εργασίας παρουσιάζονται στον πίνακα 5). Η βλάβη αντιπροσωπεύει συμπαγή περιριζική χρόνια φλεγμονή που περιέχει μικρές πιο βόμορφες κυτταροβριθείς εστίες ανάλογες της κεντρικής γιγαντοκυτταρικής βλάβης των γνάθων (εικ. 57)<sup>1,2,131,135</sup>. Οι εστίες αποτελούνται από συγκεντρώσεις πολυπύρων γιγαντοκυττάρων που μοιάζουν με οστεοκλάστες σε υπόστρωμα από μιτωτικά ενεργά μονοπύρωνα κύτταρα. Τα πολυπύρωνα γιγαντοκύτταρα και μονοπύρωνα κύτταρα του υπο-

**Πίνακας 5.** Κλινικοί χαρακτήρες περιριζικής γιγαντοκυτταρικής βλάβης

Φύλο	Ηλικία (χρόνια)	Εντόπιση	Κλινική διάγνωση
Θ	16	22	Ακροριζική κύστη
Θ	21	47	Ακροριζική κύστη
A	56	31, 32	Υποτροπιάζουσα ακροριζική ποίμωξη

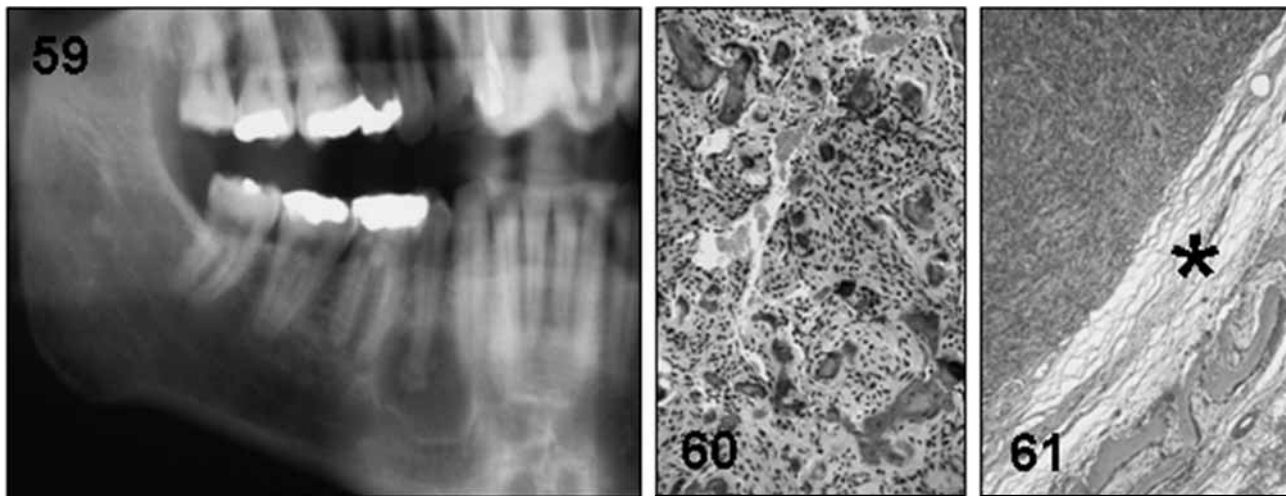


**Εικ. 55.** Στο αριστερό τμήμα του μικροφωτογραφήματος αναγνωρίζεται πεπτυνθέν επιθήλιο του οργάνου της αδαμαντίνης το οποίο βλαστάνει τοπικά (βέλος) στο γειτονικό οδοντοθυλάκιο. Τα δύο επιθηλιακά νησίδια άνω και κάτω από την εκβλάστηση αντιπροσωπεύουν «κορυφές» ανάλογων εκβλαστήσεων που ή συνέχονται με το πεπτυνθέν επιθήλιο σε επίπεδα που δεν περιλαμβάνονται στην ιστολογική τομή από την οποία πήρθηκε το μικροφωτογράφημα, ή έχουν ήδη αποχωρισθεί από το πεπτυνθέν επιθήλιο. Τυχαίο εύρημα στο οδοντοθυλάκιο κάτω δεξιού δεύτερου γομφίου έφηβου ηλικίας 15 ετών.

**Εικ. 56.** *a.* Ακτινογράφημα περιριζικής οστικής δυσπλασίας. *β.* Πανοραμική άποψη ιστολογικής τομής μετά από βραχεία αφαλάτωσης των χαρακτηριστικών ξεσμάτων<sup>131</sup>. *γ* και *δ.* Ιστολογία περιριζικής οστικής δυσπλασίας. Μεγάλα βέλη υποδεικνύουν οστικές δοκίδες. Αιχμή βέλους υποδεικνύει οστεϊνύλιο. Οι δοκίδες περιέχουν οστεοκύτταρα (μικρά βέλη), απλά δεν περιβάλλονται από συνεχή στιβάδα οστεοβλαστών. Μία οστεοκλάστη είναι παρούσα (αιχμή βέλους). Σε αντίθεση με τις δοκίδες, το οστεϊνύλιο είναι σφαιροειδές, βαθυχρωματικό και ακύτταρο (αιματοξυλίνη-ηωσίνη).

**Εικ. 57.** *a.* Πανοραμική ιστολογία περιριζικής γιγαντοκυτταρικής βλάβης. Το παραπηλόγραμμο οριοθετεί περιοχή αυξημένης κυτταροβρίθειας. Συνέχεται με συμπαγή ιστό στον οποίο υποστρέφει φλεγμονή και εξεπλίσεται ίνωσην. Παρατηρείται τοπικά απόσχιση (κενοί χώροι στο κεντρικό και κάτω τμήμα του μικροφωτογραφήματος). Αντιπροσωπεύει ιστολογικό artifact και οφείλεται σε διαφορές στον αριθμό κυττάρων και ποσότητα κολλαγόνων ίνών μεταξύ των δύο ιστών. Ανάλογα artifacts είναι συνήθη στη διαγνωστική παθολογική ανατομία. Συμβαίνουν κατά τη διάρκεια της μικροτόμησης, όταν η πεπίδη του μικροτόμου συναντά τη μεσόφαση ιστών διαφορετικής σύστασης ή συνεκτικότητας. *β.* Μεγαλύτερη μεγέθυνση από την περιοχή αυξημένης κυτταροβρίθειας. Διακρίνονται τέσσερα πολυπύρωνα γιγαντοκύτταρα που μοιάζουν με οστεοκλάστες και ένα μονοπύρων κύτταρο υποστρώματος, το οποίο βρίσκεται σε μίτωση (βέλος) (αιματοξυλίνη-ηωσίνη).

**Εικ. 58.** Ανοσοϊστοχημεία γιγαντοκυτταρικής βλαβής. Έκφραση αντιγόνου CD68 παρατηρείται στο κυτταρόπλασμα των πολυπύρων γιγαντοκυττάρων και μονοπύρων κυττάρων του υποστρώματος, ιδιότητα ενδεικτική της συγγενούς τους φύσης (βέλος).



**Εικ. 59.** Ακτινογραφική εικόνα οστεοποιούμενου ινώματος γύρω από το ακροριζικό τριτημόριο κάτω δεύτερου προγόμφου. Η διαύγαση είναι περιγεγραμμένη, περιέχει δύο ακτινοσκιερές εστίες που μπορεί να συγχιθούν με «αποσχισμένη» οστεΐη, και περιβάλλεται μερικά από ακτινοσκιερή άλω πυκνωτικού οστού (βλέπε εικόνα 1).

**Εικ. 60.** Ιστολογική εικόνα από το κέντρο οστεοποιούμενου ινώματος. Κυτταροβριθές υπόστρωμα, δοκίδες οστεοειδούς και οστεϊνύπια είναι ορατά. Για τη διάκριση μεταξύ οστεοειδούς και οστεϊνυπίων, χρήσιμα είναι τα κριτήρια που αναφέρονται στην επεξήγηση της εικόνας 58δ (αιματοξυπίνη-πωσίνη).

**Εικ. 61.** Ιστολογική εικόνα από την περιφέρεια οστεοποιούμενου ινώματος. Τμήμα του όγκου και φυσιολογικό οστού είναι διακριτά στο άνω αριστερό και κάτω δεξιό τμήμα του μικροφωτογραφήματος αντίστοιχα. Οστεοβλάστες είναι δυσδιάκριτες ή απουσιάζουν. Η μεσόφαση ή κάψα (αστερίσκος) αποτελείται από παράλληλη διαταγμένης κολλαγόνες ίνες, ποικιλώς διαχωρισμένες από «διαιυγείς» περιοχές που ερμηνεύονται ως οίδημα ή ιστολογικό artifact (εικ. 57α) (αιματοξυπίνη-πωσίνη).

στρώματος εκφράζουν αντιγόνα μακροφάγων, πιστοποιήσιμα ανοσοϊστοχημικά (εικ. 58). Η αιτιοπαθογένεια της περιριζικής γιγαντοκυτταρικής βλάβης δεν είναι γνωστή, αλλά δεν φαίνεται ότι σχετίζεται με ενδοκρινοπάθεια. Πάντως, η ιστολογική της διάγνωση θα πρέπει να ακολουθείται από αποκλεισμό υπερπαραθυρεοειδισμού με βάση τα επίπεδα ασβεστίου, παραθορμόνις και αλκαλικής φωσφατάσης στο πλάσμα.

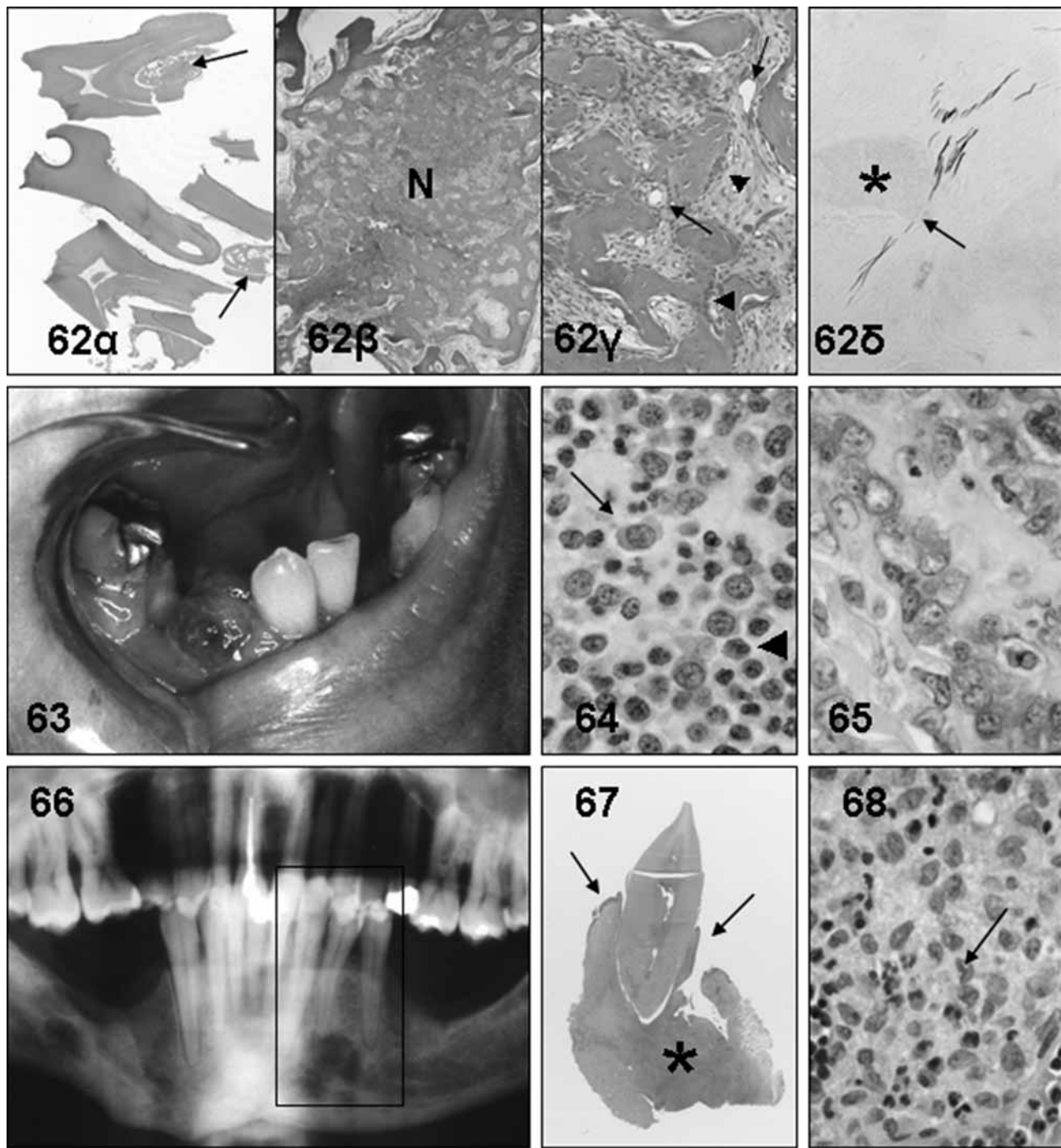
## ΠΕΡΙΠΙΖΙΚΑ ΝΕΟΠΛΑΣΜΑΤΑ

Στο υλικό της εργασίας αυτής, οστεογενή νεοπλάσματα και νεοπλάσματα αιματοποιητικού ιστού βρέθηκαν να προσβάλλουν περιριζικούς ιστούς και να εμφανίζονται ως μονόχωρες ακτινοδιαιγάσεις.

Το πλέον συχνό από τα σχετικά οστεογενή νεοπλάσματα είναι το οστεοποιούμενο (οστεϊνο-οστεοποιούμενο) ίνωμα (εικ. 59). Η οντότητα είναι καθά τεκμηριωμένη στη βιβλιογραφία<sup>1,2,40,131,136</sup>. Παρουσιάζει ανάλογη ιστολογία με την περιριζική οστική δυσπλασία, αλλά εκπτύσσεται σταθερά και καταστρέφει το οστούν.

Μεταπλάξεις στο γονίδιο *CNAS1* δεν έχουν αναφερθεί<sup>136</sup>. Βλαστάνουσες ινοβλάστες, δοκίδες οστεοειδούς και, συχνά απλά όχι πάντοτε, οστεϊνύπια σχηματίζουν μάζα σαφώς αφοριζόμενη από κάψα και χαρακτηρίζουν τον όγκο (εικ. 60 και 61)<sup>1,2,40,131,136</sup>. Είναι ευνόητο ότι εάν η μάζα αφαιρεθεί υπό μορφή ζεσμάτων στα οποία δεν περιλαμβάνεται η κάψα, είναι δύσκολη η παθολογοανατομική διάκριση από την περιριζική οστική δυσπλασία ή, σε περίπτωση που απουσιάζουν οστεϊνύπια, από την ινώδη δυσπλασία. Στις περιπτώσεις αυτές επιβάλλεται η αξιολόγηση των ακτινογραφικών και κλινικών πληροφοριών από τον παθολογοανατόμο. Θα ήταν όμως ενδιαφέρον να αναπινθεί ανοσοϊστοχημική συγκριτική μελέτη του αριθμού των κυττάρων που έχουν εισέλθει σε κυτταρικό κύκλο στο οστεοποιούμενο ίνωμα και στις εν πλάγω δυσπλασίες, με τη βοήθεια σχετικών «δεικτών» (Ki67, PCNA, bcl-1).

Λιγότερο συχνό στις γνάθους είναι το οστεοειδές οστέωμα<sup>137-139</sup>. Στην εικόνα 62 παρουσιάζεται μία περίπτωση με μεσοριζική εντόπιση. Παραδοσιακά, το οστεοειδές οστέωμα θεωρείται



νεόπλασμα, αλλά η πιθανότητα να αντιπροσωπεύει αντιδραστική φλεγμονώδη διεργασία δεν θα πρέπει να αποκλεισθεί αβασάνιστα. Ο όγκος είναι μικρός και χαρακτηρίζεται ιστολογικά από «πυρήνα» (nidus) που διακρίνεται εύκολα από την γειτονικό οστούν και είναι υπεύθυνος για την ακτινοδιαύγαση (εικ. 62β). Ο «πυρήνας» αποτελείται από δίκτυο δοκίδων νεοσχηματισμένου οστεοειδούς, συχνά περιβαλλόμενες από ευδιάκριτες οστεοβλάστες σε αγγειοβριθές υπόστρω-

μα (εικ. 62γ)<sup>93,140</sup>. Κλινικά, το οστεοειδές οστέωμα συνοδεύεται από άλγος με νυκτερινούς παροξυσμούς, που υποχωρεί στα μη στερεοιδή αντιφλεγμονώδη<sup>93,138,140</sup>. Η αιτιολογία του άλγους είναι άγνωστη, αλλά η σχέση μεταξύ οστικών δοκίδων και νευρικών ινών στο υπόστρωμα του όγκου<sup>93</sup> έχει ίσως σημασία. Όπως φαίνεται στην εικόνα 62δ, ίσως κάποιες δοκίδες δρούν ως «σπηρούνια» που πυροδοτούν αιγυογόνες κεντρομόρφες ώσεις.

**Εικ. 62.** α. Οστεοειδές οστέωμα (βέλη) στο μεσορίζιο του κάτω δεξιού πρώτου γομφίου γυναικας πλικίας 49 ετών. (Ο όγκος συναφαιρέθηκε με το δόντι. Μετά από μονιμοποίηση και αφαλάτωση, το δόντι τριχοτομήθηκε οβελιαία. Οι αντίστοιχες ιστολογικές τομές απεικονίζονται στο μικροφωτογράφημα). β. Η ιστολογία του όγκου σε μικρή μεγέθυνση. Αν και ο πυρήνας (Ν) δεν περιβάλλεται από κάψα, διακρίνεται εύκολα από το φυσιολογικό οστούν στην περιφέρεια του μικροφωτογραφήματος. γ. Σε μεγαλύτερη μεγέθυνση αναγνωρίζονται πλεπτοτοιχωματικά αγγεία (βέλη) στο υπόστρωμα του όγκου και οστεοβλάστες (βέλη) σε επαφή με λεπτές δικτυόμορφες δοκίδες οστεοειδούς. Συγκρίνετε με την εικόνα 61 (αιματοξυνή-πωσίνη). δ. Μικροφωτογράφημα περιοχής του όγκου από ιστολογική τομή εμποτισμένη με άργυρο (τεχνική Linder) για κατάδειξη νευρικών Ινών. Δοκίδα οστεοειδούς (αστερίσκος) φαίνεται ότι «διατιτραίνει» τις ίνες (βαθυχρωματικές γραμμώσεις) στην περιοχή που επισπεύδεται από το βέλος.

**Εικ. 63.** Κλινική εικόνα αιματοπλευροειδούς νεοπλάσματος. Η κλινική διαφορική διάγνωση μπορεί να περιβάλλει διάφορες οντότητες, αλλά η διακρίβωση της φύσης της βλάβης εξασφαλίζεται μόνο με βιοψία και ιστολογική εξέταση. Είναι προτιμότερο ο γενικός οδοντίατρος να μπορεί να αναγνωρίζει βλάβες που χρήζουν βιοψίας και / ή παραπομπής, παρά να χρονοτρίβει με μακροσκεπείς «πίστες» διαφορικής διάγνωσης που ελάχιστα προσφέρουν στον ασθενή.

**Εικ. 64.** Ιστολογική εικόνα μυελοειδούς σαρκώματος. Το κυτταρόπλασμα των νεοπλασματικών κυττάρων είναι συχνά άφθονο και ρόδινο (πωσινόφιλο), με συνέπεια να αναγνωρίζεται εύκολα (βέλος). Η ιδιότητα επιτρέπει την ταυτοποίηση των κυττάρων ως νεοπλασματικές μυελοβλάστες και προμελοκύτταρα, και τη διάκρισή τους από κύτταρα πεμφώματος ή άλλου νεοπλάσματος από «μικρά γαλάζια κύτταρα». Διάσπαρτα πωσινόφιλα μεταμελοκύτταρα (αιχμή βέλους) είναι επίσης παρόντα (αιματοξυνή-πωσίνη).

**Εικ. 65.** Το κυτταρόπλασμα των νεοπλασματικών κυττάρων μυελοειδούς σαρκώματος χρωματίζεται με την ιστοχημική τεχνική για Napthol AS-D κλωροδεική εστεράση. Η αντίδραση είναι πιο γενική στην επιφάνεια των σιτευτικών κυττάρων (εικ. 7).

**Εικ. 66.** Πολυεστιακή βλαστική νόσος από κύτταρα Langerhans στην κάτω γνάθο, όπως απεικονίζεται σε πανοραμικό ακτινογράφημα. Παρατηρείται την ακτινοδιαύγαση στο ακρορίζιο δοντιού με βαθιά έμφραξη (περιοχή μέσα στο παραθηλόγραμμο), η οποία μπορεί να εκπληρώνεται από περιριζική χρόνια φλεγμονή στο κοινό οδοντιατρικό ακτινογράφημα.

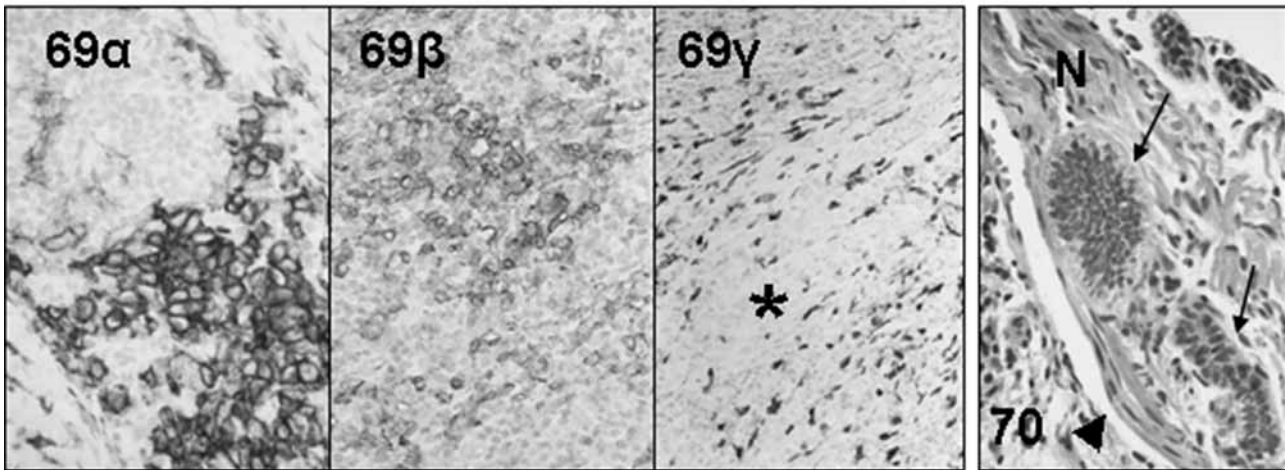
**Εικ. 67.** Βλαστική νόσος από κύτταρα Langerhans (αστερίσκος) έχει καταστρέψει το φατνιακό οστούν και το δόντι συγκρατείται μόνο από τα ούλα (βέλος) (αιματοξυνή-πωσίνη).

**Εικ. 68.** Ιστολογική εικόνα βλαστικής νόσου από κύτταρα Langerhans. Μείγμα από ωχρά κύτταρα Langerhans και βαθυχρωματικά πωσινόφιλα πολυμορφοπούρωνα. Η μορφολογία των πυρήνων των κυττάρων Langerhans εκτιμάται ευκολότερα στο κύτταρο που επισημαίνεται από βέλος (αιματοξυνή-πωσίνη).

Σπάνια, πιευχαιμίες και πιεμφώματα μπορεί να προσβάλλουν περιοριζικούς ιστούς<sup>141,142</sup>. Στην εικόνα 63 απεικονίζεται μάζα που εμφανίσθηκε στο μετεξακτικό φατνίο μίας κατά τα άλλα υγιούς γυναικας πλικίας 86 ετών. Ο οδοντίατρος έπιασε βιοψία και η παθολογοανατομική εξέταση ήταν ενδεικτική μυελογενούς σαρκώματος (μία ογκόμορφη ποικιλία οξείας μυελογενούς πιευχαιμίας) (εικ. 64)<sup>143-146</sup>. Η διάγνωση επιβεβαιώθηκε με τη χρήση ιστοχημείας για ένζυμα (εικ. 65) και ανοσοϊστοχημείας για λυσοζύμη<sup>146</sup>. Ο αιματολογικός έπιεγχος που ακολούθησε έδειξε πιευχαιμική εικόνα στο περιφερικό αίμα.

Η επόμενη οντότητα παρουσιάζει ιδιαίτερο ενδιαφέρον για το γενικό οδοντίατρο, αφού μπορεί να είναι ο πρώτος που θα τη συναντήσει, συχνά σε νεαρούς ασθενείς. Πρόκειται για τη βλαστική μορφή της νόσου από κύτταρα Langerhans (ιστιοκυττάρωση από κύτταρα Langerhans)<sup>147</sup>, παλαιότερα γνωστή με επώνυμους και μή όρους, δηλωτικούς της τότε άγνωστης φύσης της νόσου, της πολυσυστηματικής ή μή εκδήλωσής της, ή χαρακτηριστικών συνδρό-

μων, τα οποία όμως σπάνια συναντούνται. Αν και η νόσος θεωρείται συνήθως αντιδραστική μάλλον παρά νεοπλασματική διεργασία σχετιζόμενη με αυξημένες κυτταροκίνες ή ποιμωνή με ερπιτοϊό 6, μπορεί να παρατηρηθεί κλωνικότητα και δεν αποκλείεται νεοπλασματική εκτροπή<sup>147</sup>. Στις γνάθους η νόσος μπορεί να είναι μονοεστιακή ή πολυεστιακή (εικ. 66) και προσβάλλει συχνά τις φατνιακές αποφύσεις και το περιριζικό οστούν, οπότε συγχέεται με νεανική περιοδοντίτιδα ή περιριζική φλεγμονή<sup>2,40,131,147,148</sup>. Κυτταροβριθείς μάζες προκαλούν εκτεταμένη καταστροφή οστού με συνέπεια κινητικότητα ή και εκγόμφωση του δοντιού (εικ. 67)<sup>2,40,131</sup>. Οι μάζες αποτελούνται από μείγμα φλεγμονώδων κυττάρων με χαρακτηριστικά «ωχρά» κύτταρα, πωσινόφιλα και άλλα φλεγμονώδη κύτταρα σε άλλοτε άλλες αναπογίες (εικ. 68)<sup>131,148</sup>. Τα ωχρά κύτταρα, παθογνωμονικά της νόσου, έχουν ανοικτόχρωμο νεφροειδή πυρήνα και μικρά πυρήνια<sup>147</sup>, γνωρίσματα που στην κλασική ιστολογία θεωρούνται ενδεικτικά μακροφάγων. Με ανοσοϊστοχημεία όμως, αποδεικνύεται ότι αντιπροσωπεύουν βλα-



**Εικ. 69.** Ανοσοϊστοχημεία βλαστικής νόσου από κύτταρα Langerhans. **α.** Χρώση για αντιγόνο CD1a (μέλος ομάδας τεσσάρων πρωτεΐνων, μερικά ομόλογες με τα τάξης I αντιγόνα HLA<sup>149</sup>). Το προϊόν της ανοσοαντίδρασης συγκεντρώνεται στην περιφέρεια των κυττάρων Langerhans. **β.** Χρώση για αντιγόνο HLA-DR (τάξης II αντιγόνο HLA) αναδεικνύει τόσο κύτταρα Langerhans όσο και μακροφάγα. **γ.** Χρώση για αντιγόνο CD68. Σε αντίθεση με τα μακροφάγα (βαθυχρωματικές κουκίδες), τα αθροίσματα από κύτταρα Langerhans (αστερίσκος) παραμένουν αχρωμάτιστα.

**Εικ. 70.** Ιστολογική εικόνα υποσίδων οδοντογενούς επιθηλίου (βέλη) μέσα σε μικρό νεύρο. Το νεύρο βρέθηκε στην κάψα κύστης από το ακρορίζιο του κάτω δεξιού κυνόδοντα άνδρα ηλικίας 78 ετών. Τα υποσίδια εκτοπίζουν το περινεύριο το οποίο επισημαίνεται με αιχμή βέλους. Τα κύτταρά τους δεν εμφανίζουν ατυπία ή μιτώσεις και είναι πασσαλοειδώς διαταγμένα στην περιφέρεια των υποσίδων. Οι ιδιότητες αυτές επιπρέπουν τη διάκριση από την κακοήθη περινευρική διήθηση (αιματοξυνή-πωσίνη).

στάνοντα κύτταρα Langerhans και εκφράζουν αντιγόνα ιστοσυμβατότητας ή ομόλογά τους (CD1a και HLA-DR), και S-100 πρωτεΐνη (εικ. 69α και 69β)<sup>147,149</sup>. Αντίθετα δεν εκφράζουν ρήσοσωματικά αντιγόνα τα οποία χαρακτηρίζουν τα κοινά μακροφάγα (εικ. 69γ).

Στο πλαίσιο της περιριζικής νεοπλασίας αναφέρεται ένα σπάνιο, αληθιά αξιοπερίεργο φαινόμενο. Ως γνωστό, ποικιλότυπα καρκινώματα και αδενοκαρκινώματα διηθούν νεύρα<sup>150</sup>. Σε συμπαγή ή κυστική περιριζική χρόνια φλεγμονή είναι δυνατό να παρατηρηθούν μικρά νεύρα διηθημένα από υποσίδες οδοντογενούς επιθηλίου<sup>151-154</sup>. Μόνο πέντε ανάλογες περιπτώσεις έχουν δημοσιευθεί<sup>151-154</sup>. Στην εικόνα 70 παρουσιάζεται περίπτωση των συγγραφέων, τυχαίο εύρημα σε κοινή περιριζική κύστη άνδρα ηλικίας 78 ετών. Το φαινόμενο δεν υποδηλώνει κακοήθεια και στερείται κλινικής σημασίας. Η παρεμπνεία του από άπειρο παθοιλογοανατόμο μπορεί να οδηγήσει σε μη αναγκαίες εξετάσεις και stress για τον ασθενή. Από άποψη παθογένεσης, η «καλοίθης» αυτή διήθηση αποδόθηκε σε δυσγένεση ή μετατραυματικές διεργασίες, ενώ προτάθηκαν αναλογίες με νευροεπιθηλιακά αθροίσματα που έχουν περιγραφεί στις γνάθους, όπως και με το παραστοματικό όργανο του Chievitz<sup>154,155</sup>.

Στο όργανο όμως αυτό, τα νεύρα παρεμβάλλονται μεταξύ υποσίδων επιθηλίου και δεν διηθούνται από αυτές<sup>156-160</sup>.

## ΕΠΙΛΟΓΟΣ

Έγινε προσπάθεια να συνοψισθεί το ευρύ φάσμα παθοιλογικών διεργασιών που εμφανίζονται ως περιριζική μονόχωρη ακτινοδιαύγαση. Τονίζεται ότι για την ορθή διάγνωση και αντιμετώπισή τους, ο οδοντίατρος θα πρέπει να αποτέλλει τους μαλακούς ιστούς που εξαιρεί γύρω από ρίζες δοντιών, για εξέταση από παθοιλογοανατόμο ειδικευμένο σε στοματικές και γναθοπροσωπικές βλάβες.

## SUMMARY

P. ECONOMOPOULOU, A. TRIANTAFYLLOU

### PATHOBIOLOGY OF RADICULAR UNILOCULAR RADIOLUCENCIES

STOMATOLOGIA 2007, 64(1): 3-37

These radiolucencies could be apical or lateral and result from destruction or replacement of

normal alveolar bone by solid or cystic inflammation or dysgenesis (dysplasia), and by tumours. Chronic inflammations around foramina of non-vital teeth are most common, and include granulation tissue, radicular cysts, atheromatous cholesterol deposition and reaction to filling materials or vegetables. Cystic inflammation following pericoronitis (para-dental cyst) is also common. Radicular and parodontal cysts are lined by multilayered epithelium that originates from odontogenic vestigia in the periodontal membrane, and co-expresses cytokeratins of complex and simple epithelia. Hyperplasia, occasionally marked and simulating unicystic ameloblastoma, metaplasia appearing as mucous or ciliated cells, and atrophy effected by apoptosis or autophagy (residual cyst) are also features of the lining epithelium. Hyperaemic capillary-sized vessels are subadjacent to the lining. Formation of Rushton's bodies is attributable to alteration of these vessels. Macrophages are significant in radicular inflammation. Through phagcytosis of extravasated lipoproteins and erythrocytes, extravasation following circulatory disturbance in the periodontal membrane, they influence the formation of cholesterol crystals. Accumulation of phagosomes in the cytoplasm of macrophages results in granulation and appearances similar to granular cell tumours. Calcification in phagosomes accounts for the very rare malakoplakia. Solid and cystic radicular inflammations occasionally contain bacteria, e.g. *Actinomycetes*. Radicular unilocular radiolucencies resulting from epithelioid granulomatous inflammation, a reflection of sarcoidosis or hypersensitivity to filling materials, and from dysgenetic cysts (lateral periodontal cyst) are rare. Solid dysgenetic lesions (apical osseous dysplasia), apical giant-cell lesions, osteogenic tumours, e.g. ossifying fibroma and osteoid osteoma, and haematomymphoid tumours, e.g. Langerhans cell histiocytosis and leukaemias, occasionally affect the tissues around roots of teeth. The very rare finding of neuroepithelial structures in solid or cystic radicular inflammation should not be confused with invasion by malignant tumour. There is a wide

range of pathological processes appearing as radicular unilocular radiolucencies. To ensure their diagnosis and optimal management, the general dental practitioner should submit any soft tissue removed from around roots for histopathological examination.

**KEY WORDS:** Radiolucency, Tooth, Cyst, Neoplasm, Inflammation.

## ΒΙΒΛΙΟΓΡΑΦΙΑ

1. SHAFER WG, HINE MK, LEVY BM. A Textbook of Oral Pathology. 4th ed. Mosby, Philadelphia, 1983: 297-299, 479-510
2. SOAMES JV, SOUTHAM JC. Oral Pathology. 4th ed. Oxford University Press, Oxford, 2005: 57-84, 158-159, 245-246, 260-261
3. GROSSMAN LI. Endodontic Practice. 8th ed. Lea and Febiger, Philadelphia, 1974: 67-92
4. OGILVIE AL. Periapical Pathosis. Στο: INGLE JI. Endodontics. Lea and Febiger, Philadelphia, 1974: 349-387
5. NANCI A, SOMERMAN MJ. Periodontium. Στο: NANCI A. Ten Cate's Oral Histology. Development, Structure and Function. 6th ed. Mosby, St Louis, 2003: 240-274
6. HODSON JJ. Epithelial residues of the jaw with special reference to the edentulous jaw. *J Anat* 1962, 96: 16-24
7. TEN CATE AR. The epithelial rests of Malassez and the genesis of the dental cyst. *Oral Surg* 1972, 34: 956-964
8. FLOREY HW. General Pathology. 4th ed. Lloyd-Luke Medical Books, London, 1970: 22-123, 480-548
9. ZWEIFACH BW. The Inflammatory Process. Academic Press, New York, 1973-1974
10. THOMA KH. A histo-pathologic study of the dental granuloma and diseased root apex. *J Nat Dent Ass* 1917, 6: 1075-1090
11. SELTZER S, BENDER IB, SMITH J, FREEDMAN I, NAZIMOV H. Endodontic failures - an analysis based on clinical, roentgenographic and histologic findings. I. *Oral Surg* 1967, 23: 500-516
12. HIRSH BC, JOHNSON WC. Concepts of granulomatous inflammation. *Int J Dermatol* 1984, 23: 90-100
13. MICHALANY J, MICHALANY NS. A new morphological concept and classification of granulomatous inflammation: the polar granulomas. *Ann Pathol* 1984, 4: 85-95

14. SPECTOR WG. The dynamics of granulomas and the significance of epithelioid cells. *Pathol Biol (Paris)* 1975,23: 437-439
15. WILLIAMS GT, WILLIAMS WJ. Granulomatous inflammation - a review. *J Clin Pathol* 1983,36: 723-733
16. TURK JL. The mononuclear phagocyte system in granulomas. *Br J Dermatol* 1985,28: 49-54
17. MCKINNEY RV Jr. Clarification of the terms granulomatous and granulation tissue. *J Oral Pathol* 1981,10: 307-310
18. YAMAGISAWA S. Pathologic study of periapical lesions. 1. Periapical granulomas: clinical, histopathologic and immunopathologic studies. *J Oral Pathol* 1980,9: 288-300
19. JOHANNESSEN AC, NILSEN R, SKAUG N. Enzyme histochemical characterization of mono-nuclear cells in human dental periapical chronic inflammatory lesions. *Scand J Dent Res* 1984,92: 325-333
20. MATTHEWS JB, MASON GI. Immunoglobulin producing cells in human periapical granulomas. *Br J Oral Surg* 1983,21: 192-197
21. SKAUG N, JOHANNESSEN AC, NILSEN R, MATRE R. In situ characterization of cell infiltrates in human dental periapical granulomas. 3. Demonstration of T lymphocytes. *J Oral Pathol* 1984,13: 120-127
22. KONTIANEN S, RANTA H, LAUTENSCHLAGER I. Cells infiltrating human periapical inflammatory lesions. *J Oral Pathol* 1986,15: 544-546
23. GAO Z, MACKENZIE IC, RITTMAN BR, KORZUN AK, WILLIAMS DM, CRUCHLEY AT. Immuno-cytochemical examination of immune cells in periapical granulomas and odontogenic cysts. *J Oral Pathol* 1988,17: 84-90
24. SUZUKI T, KUMAMOTO H, Ooya K, MOTEGI K. Immunohistochemical analysis of CD1a-labeled Langerhans cells in human dental periapical inflammatory lesions - correlation with inflammatory cells and epithelial cells. *Oral Dis* 2001,7: 336-343
25. LEONARD EP, LUNIN M, PROVENZA DV. On the occurrence and morphology of Russell bodies in the dental granuloma. An evaluation of seventy-nine specimens. *Oral Surg* 1974,38: 584-590
26. HSU SM, HSU PL, McMILLAN PN, FANQER H. Russell bodies: a light and electron microscopic immunoperoxidase study. *Am J Clin Pathol* 1982,77: 26-31
27. MATTHEWS JB. The immunoglobulin nature of Russell bodies. *Br J Exp Pathol* 1983,64: 331-335
28. GASPARONI A, REQOLI M, DELLA CASA M, FONZI M, FONZI L. Immunological and ultrastructural characterization of plasma cells of human periapical chronic inflammatory lesions (granulomas). *Ital J Anat Embryol* 2005,110: 1-9
29. LI TJ, BROWNE RM, MATTHEWS JB. Expression of epidermal growth factor receptors by odontogenic jaw cysts. *Virchows Arch A Pathol Anat Histopathol* 1993,42: 137-144
30. BROWNE RM, SMITH AJ. Pathogenesis of odontogenic cysts. Στο: BROWNE RM (Ed). *Investigative Pathology of the Odontogenic Cysts*. CRC Press, Boca Raton, 1991: 87-109
31. JONES AV, CRAIG CT, FRANKLIN CD. Range and demographics of odontogenic cysts diagnosed in a UK population over a 30-year period. *J Oral Pathol Med* 2006,35: 500-507
32. BROWNE RM. The classification of odontogenic cysts. Στο: BROWNE RM (Ed). *Investigative Pathology of the Odontogenic Cysts*. CRC Press, Boca Raton, 1991: 1-19
33. CRAIG CT. The parodontal cyst. A specific inflammatory odontogenic cyst. *Br Dent J* 1976,141: 9-14
34. HODSON JJ. Observations on the origin and nature of the adamantinoma with special reference to certain muco-epidermoid variations. *Br J Plast Surg* 1957-58,10: 38-59
35. ZEHNDER M, GOLD SI, HASSELGREN G. Pathologic interactions in pulpal and periodontal tissues. *J Clin Periodontol* 2002,29: 663-671
36. THOMSON IO, De WAAL J, NORTIE CJ. Mandibular infected buccal cyst and parodontal cyst: the same or separate entities? *J Dent Assoc S Afr* 1997,52: 503-506
37. MAIN DMG. Epithelial jaw cysts: a clinico-pathological reappraisal. *Br J Oral Surg* 1970,8: 114-125
38. BROWNE RM. The structure of odontogenic cysts. Στο: BROWNE RM. (Ed). *Investigative Pathology of the Odontogenic Cysts*. CRC Press, Boca Raton, 1991: 21-51
39. GARDNER DG, HEIKINHEIMO K, SHEAR M, PHILIPSEN HP, COLEMAN H. Ameloblastomas. Στο: BARNES L, EVESON JW, REICHART P, SIDRANSKY D (Eds). *World Health Organization Classification of Tumours*.

- Pathology and Genetics of Head and Neck Tumours. IARC Press, Lyon, 2005: 296-300
40. LUCAS RB. Pathology of Tumours of the Oral Tissues. 4th ed. Churchill Livingstone, Edinburgh, 1984: 47-49, 402-405
41. MATTHEWS JB, MASON GI, BROWNE RM. Epithelial cell markers and proliferating cells in odontogenic jaw cysts. *J Pathol* 1988;156: 283-290
42. LI TJ, BROWNE RM, MATTHEWS JB. Quantification of PCNA+ cells within odontogenic cyst epithelium. *J Oral Pathol Med* 1994;23: 184-189
43. LO MUZIO L, STAIBANO S, PANNONE G, BUCCI P, NOCINI PF, BUCCI E et al. Expression of cell cycle and apoptosis related proteins in sporadic odontogenic keratocysts and odontogenic keratocysts associated with the nevoid basal cell carcinoma syndrome. *J Dent Res* 1999;78: 1345-1353
44. WALKER NI, HARMON BV, GOBÉ GC, KERR JF. Patterns of cell death. *Methods Achiev Exp Pathol* 1988;13: 18-54
45. SHEAR M. Inflammation in dental cysts. *Oral Surg* 1964;17: 756-767
46. SCHURCH W, SEEMAYER TA, GABBANI G. The myofibroblast. A quarter century after its discovery. *Am J Surg Pathol* 1998;22: 141-147
47. MATTHEWS JB, BROWNE RM. An immunocytochemical study of the inflammatory cell infiltrate and epithelial expression of HLA-DR in odontogenic cysts. *J Oral Pathol* 1987;16: 112-117
48. VERED M, SHOHAT I, BUCHNER A, DAYAN D. Myofibroblasts in stroma of odontogenic cysts and tumors can contribute to variations in the biological behaviour of lesions. *Oral Oncol* 2005;41: 1028-1033
49. ABELL E. Spongiotic Dermatitis. Στο: FARMER ER, HOOD AF (Eds). Pathology of the Skin. Appleton and Lange, Norwalk, 1990: 63-78
50. TANDLER B. Salivary glands and the secretory process. Στο: SHAW JH, SWEENEY EA, CAPUCCINO CC, MELLER SM (Eds). Textbook of Oral Biology. Saunders, Philadelphia, 1978: 547-592
51. FULLMER H. Observations on the development of oxytalan fibers in dental granulomas and radicular cysts. *Arch Pathol* 1960;70: 59-67
52. HARVEY W. Bone resorption in relation to odontogenic cysts. Στο: BROWNE RM (Ed). Investigative Pathology of the Odontogenic Cysts. CRC Press, Boca Raton, 1991: 139-153
53. FULLMER HM. Collagenase and periodontal diseases: a review. *J Dent Res* 1971;50: 288-293
54. BIRKEDAL-HANSEN H, COBB CM, TAYLOR RE, FULLMER HM. In vivo and in vitro stimulation of collagenase production by rabbit alveolar macrophages. *Arch Oral Biol* 1976;21: 21-25
55. BIRKEDAL-HANSEN H, COBB CM, TAYLOR RE, FULLMER HM. Fibroblastic origin of bovine gingival collagenase. *Arch Oral Biol* 1976;21: 297-305
56. HORMIA M, YLIPAAVALMIEMI P, NAGLE RB, VIRTANEN I. Expression of cytokeratins in odontogenic jaw cysts: monoclonal antibodies reveal distinct variation between different cyst types. *J Oral Pathol* 1987;16: 338-346
57. GAO Z, MACKENZIE IC, WILLIAMS DM, CRUCHLEY AT, LEIGH I, LANE EB. Patterns of keratin expression in rests of Malassez and periapical lesions. *J Oral Pathol* 1988;17: 178-185
58. SMITH AJ, MATTHEWS JB. Odontogenic epithelium and its residues. Στο: BROWNE RM. (Ed). Investigative Pathology of the Odontogenic Cysts. CRC Press, Boca Raton, 1991: 53-85
59. LU DP, TATEMOTO Y, KIMURA T, OSAKI T. Expression of cytokeratins (CKs) 8, 13 and 18 and their mRNA in epithelial linings of radicular cysts: implication for the same CK profiles as nasal columnar epithelium in squamous epithelial lining. *Oral Dis* 2002;8: 30-36
60. MORGAN PR, SHIRLAW PJ, JOHNSON NW, LEIGH IM, LANE EB. Potential applications of anti-keratin antibodies in oral diagnosis. *J Oral Pathol* 1987;16: 212-222
61. PETERS BH, PETERS JM, KUHN C, ZOLLER J, FRANKE WW. Maintenance of cell-type-specific cytoskeletal character in epithelial cells out of epithelial context: cytokeratins and other cytoskeletal proteins in the rests of Malassez of the periodontal ligament. *Differentiation* 1995;59: 113-126
62. BERKOVITZ BK, WHATLING R, BARRETT AW, OMAR SS. The structure of bovine periodontal ligament with special reference to the epithelial cell rests. *J Periodontol* 1997;68: 905-913
63. REGAUER S, GOQQ-KAMERER M, BRAUN H, BEHAM A. Lateral neck cysts - the branchial theory revisited. A critical review and clinico-

- pathological study of 97 cases with special emphasis on cytokeratin expression. *APMIS* 1997, 105: 623-630
64. MORGAN PR, ECONOMOPOULOU P, LEIGH IM, LANE EB. Fast-turnover keratin localization in normal and neoplastic oral epithelia. *J Dent Res* 1991, 70: 724
  65. NAIR PN, PAJAROLA G, LUDER HU. Ciliated epithelium-lined radicular cysts. *Oral Surg* 2002, 94: 485-493
  66. HODSON JJ. Muco-epidermoid odontogenic cysts of the jaws with special reference to those in the mandible. *Proc R Soc Med* 1956, 49: 637-639
  67. KRIKOS GA. Histochemical studies of mucins of odontogenic cysts exhibiting mucous metaplasia. *Arch Oral Biol* 1966, 11: 633-640
  68. BROWNE RM. Metaplasia and degeneration in odontogenic cysts in man. *J Oral Pathol* 1972, 1: 145-158
  69. CAVALARIS CJ, KRIKOS GA. Vitamin A produced mucous metaplasia. *J Oral Ther Pharmacol* 1967, 3: 452-461
  70. CAVALARIS CJ, MATUKAS VJ, KRIKOS GA. Histochemistry of the mucins of vitamin A produced mucous metaplasia in hamsters. *Arch Oral Biol* 1969, 14: 1313-1322
  71. GARRETT JR, PARSONS PA. Changes in the main submandibular salivary duct of rabbits resulting from ductal ligation. *Z Mikrosk Anat Forsch* 1979, 93: 593-608
  72. SEIFERT G, DONATH K. Zur Pathogenese des Küttner-Tumors der Submandibularis. *HNO* 1977, 25: 81-92
  73. TESTA RIVA F, RIVA A, PUXEDDU R. Ciliated cells in the main excretory duct of the submandibular gland in obstructive sialadenitis. *Ultrastruc Pathol* 1987, 11: 1-10
  74. PATEY DH. Inflammation of the salivary glands with particular reference to chronic recurrent parotitis. *Ann R Coll Surg* 1965, 36: 26-44
  75. HIGH AS, HIRSCHMAN PN. Age changes in residual radicular cysts. *J Oral Pathol* 1986, 15: 524-528
  76. TAKAHASHI K, MACDONALD D, MURAYAMA Y, KINANE D. Cell synthesis, proliferation and apoptosis in human periapical lesions analysed by *in situ* hybridisation and immuno-histochemistry. *Oral Dis* 1999, 5: 313-320
  77. ΟΙΚΟΝΟΜΟΠΟΥΛΟΥ Π, TRIANTAFYLLOU A. Μελάγχρωση του στόματος: από την κυτταρική αντίδραση στον κλινικό προβληματισμό. 25ο Πανελλήνιο Οδοντιατρικό Συνέδριο της Ελληνικής Οδοντιατρικής Ομοσπονδίας, Λάρισα, 27-29 Οκτωβρίου 2005: 287-305
  78. MAJNO G, JORIS J. Cells, Tissues and Disease. *Blackwell Science, Cambridge, Massachusetts*, 1996: 41-52
  79. GARRETT JR, WINSTONE KMS. Cholesterol in the walls of odontogenic cysts: a histochemical and ultrastructural study. Στο: BROWNE RM (Ed). *Investigative Pathology of the Odontogenic Cysts*. CRC Press, Boca Raton, 1991: 175-190
  80. RUSHTON MA. Hyaline bodies in the epithelium of dental cysts. *Proc R Soc Med* 1955, 48: 407-409
  81. MATTHEWS JB. Hyaline bodies in the walls of odontogenic cysts. Στο: BROWNE RM (Ed). *Investigative Pathology of the Odontogenic Cysts*. CRC Press, Boca Raton, 1991: 191-209
  82. PESCE C, FERLONI M. Apoptosis and Rushton body formation. *Histopathology* 2002, 40: 109-111
  83. DEWEY KW. Cysts of the dental system. *Dental Cosmos* 1918, 60: 555-570
  84. BROWNE RM, RIPPIN JW. Autofluorescent granular cells in odontogenic cysts. *Histopathology* 1984, 8: 937-945
  85. TRIANTAFYLLOU A. Cytological and cytochemical investigations on granular cells in oral lichen planus. *J Oral Pathol Med* 1996, 25: 350-355
  86. TRIANTAFYLLOU A. Ceroid formation: a common path to cytoplasmic granulation. *J Dent Res* 1996, 75: 1144
  87. ANDERSON HC. Calcific diseases. A concept. *Arch Pathol Lab Med* 1983, 107: 341-348
  88. ANDERSON HC. Mechanisms of pathologic calcification. *Rheum Dis Clin North Am* 1988, 14: 303-319
  89. WEEDON D. Skin Pathology. 2nd ed. *Churchill Livingstone, Edinburgh*, 2002: 12-13, 21-22
  90. REED RJ, CLARK WH Jr, MIHM MC. The cutaneous collagenoses. *Hum Pathol* 1973, 4: 165-186
  91. REED RJ, CLARK WH Jr, MIHM MC. The cutaneous elastoses. *Hum Pathol* 1973, 4: 187-199
  92. ODELL EW, MORGAN PR. Biopsy Pathology Series 22. *Biopsy Pathology of the Oral Tissues*. *Chapman and Hall Medical*, 1998: 107

93. SPJUT HJ, DORFMAN HD, FECHNER RE, ACKERMAN LV. *Atlas of Tumor Pathology*, Second Series, Fascicle 5, Tumors of Bone and Cartilage. *Armed Forces Institute of Pathology, Washington, D.C.*, 1971: 120-132, 387-390
94. BANDO Y, NAGAYAMA M. Odontogenic cyst induction by periapical infection in rats. *J Oral Pathol* 1993;22: 323-326
95. WALTON RE, ARDJIMAND K. Histological evaluation of bacteria in induced periapical lesions in monkeys. *J Endod* 1992;18: 216-227
96. WAYMAN BE, MURATA SM, ALMEIDA RJ, FOWLER CB. A bacteriological and histological evaluation of 58 periapical lesions. *J Endodont* 1992;18: 152-155
97. RICUCCI D, PASCON EA, FORD TR, LANGELAND K. Epithelium and bacteria in periapical lesions. *Oral Surg* 2006;101: 239-249
98. HIRSHBERG A, TESISI T, METZGER Z, KAPLAN I. Periapical actinomycosis: a clinicopathologic study. *Oral Surg* 2003;95: 614-620. Σχόλιο των ALDRED MJ, TALACKO AA. Στο: *Oral Surg* 2003;96: 386. Απίστον συγγραφέων, 386
99. JEANSONNE BG. Periapical actinomycosis: a review. *Quintessence Int* 2005;36: 149-153
100. JOHNSON FB. Splendore-Hoepli phenomenon. Στο: BINFORD CH, CONNOR RC (Eds). *Pathology of Tropical and Extraordinary Diseases. An Atlas*. Volume 2. *Armed Forces Institute of Pathology, Washington, D.C.*, 1976: 681-683
101. McCLURE J. Malakoplakia. *J Pathol* 1983;140: 275-330
102. PESCE C, PATE G, VALENTE S, TANZI R. Focal malakoplakia in chronic periapical periodontitis. *Histopathology* 1999;34: 140-143
103. SCOTT J. The prevalence of consolidated salivary deposits in the small ducts of human submandibular glands. *J Oral Pathol* 1978;7: 28-37
104. TRIANTAFYLLOU A, HARRISON JD, GARRETT JR. Microliths in normal salivary glands of cat investigated by light and electron microscopy. *Cell Tissue Res* 1993;272: 321-327
105. TRIANTAFYLLOU A, HARRISON JD, GARRETT JR. Microlithiasis of the parotid of ferret. *J Oral Pathol Med* 2000;29: 468
106. JONES WILLIAMS W. The nature and origin of Schaumann bodies. *J Pathol Bacteriol* 1960;79: 193-201
107. MOCHIZUKI I, FUKUSHIMA M, HIROSE Y, KONO H, GOMI E, SUZUKI K et al. Ultrastructural studies of concentric lamellar bodies in the bronchus of patients with sarcoidosis. *Sarcoidosis* 1987;4: 111-115
108. KIRKPATRICK CJ, CURRY A, BISSET DL. Light- and electron-microscopic studies on multinucleated giant cells in sarcoid granuloma: new aspects of asteroid and Schaumann bodies. *Ultrastruct Pathol* 1988;12: 581-597
109. SHEAR M. Cholesterol in dental cysts. *Oral Surg* 1963;16: 1465-1473
110. BROWNE RM. The origin of cholesterol in odontogenic cysts in man. *Arch Oral Biol* 1971;16: 107-13
111. BAYLISS OB. The giant cell in cholesterol resorption. *Br J Exp Pathol* 1976;57: 610-618
112. BAYLISS HIGH O. *Microscopy Handbooks 06. Lipid Histochemistry*. Oxford University Press, Royal Microscopical Society, 1984: 3-34, 39-41
113. FRIEDMANN I, GRAHAM MD. The ultrastructure of cholesterol granuloma of the middle ear: an electron microscope study. *J Laryngol Otol* 1979;93: 433-442
114. BROWN MS, GOLDSTEIN JL. Lipoprotein metabolism in the macrophage: implications for cholesterol deposition in atherosclerosis. *Annu Rev Biochem* 1983;52: 223-261
115. HARRISON JD, MARTIN IC. Oral vegetable granuloma: ultrastructural and histologic study. *J Oral Pathol* 1986;15: 322-326
116. TALACKO AA, RADDEN BG. Oral pulse granuloma: clinical and histopathological features. A review of 62 cases. *Int J Oral Maxillofac Surg* 1988;17: 343-346
117. CHOU L, FICARRA G, HANSEN LS. Hyaline ring granuloma: a distinct oral entity. *Oral Surg* 1990;70: 318-324
118. TALACKO AA, RADDEN BG. The pathogenesis of oral pulse granuloma: an animal model. *J Oral Pathol* 1988;17: 99-105
119. ΤΡΙΑΝΤΑΦΥΛΛΟΥ Α, ΠΑΠΑΔΑΚΟΥ-ΣΑΡΑ Α. Ακρορριζική κύστη με δακτύλιους υαλίνης στο τοίχωμά της. *MMC* 1982;10: 91-94
120. CONNOR DH, NEAFIE RC. Lentil pneumonia. Στο: BINFORD CH, CONNOR RC (Eds). *Pathology of Tropical and Extraordinary Diseases. An Atlas*. Volume 2. *Armed Forces Institute of Pathology, Washington, D.C.*, 1976: 661-663
121. HARRISON JD, DAVIES KJ. A method for the identification of particulate material in

- biopsies of the oral tissues. *Br Dent J* 1982, 153: 327-329
122. KOPPANG HS, KOPPANG R, STOLEN SO. Identification of common foreign material in postendodontic granulomas and cysts. *J Dent Assoc S Afr* 1992, 47: 210-216
123. MACDONALD DG, ROWAN RM, BLAIR GS. Sarcoidosis involving the mandible. A case report. *Br Dent J* 1969, 18: 168-171
124. BETTEN B, STROMME KOPPANG H. Sarcoidosis with mandibular involvement. Report of a case. *Oral Surg* 1976, 42: 731-737
125. MATHIESON G, MOODY GH. Sarcoid-type reaction associated with retained roots: an unusual cyst-like lesion of the jaw. *Br Dent J* 1991, 171: 323-324
126. TANI-ISHII N, OSADA T, WATANABE Y, UMEMOTO T. Histological findings of human leprosy periapical granulomas. *J Endodont* 1996, 22: 120-122
127. SHEAR M. Developmental odontogenic cysts. An update. *J Oral Pathol Med* 1994, 23: 1-11
128. WYSOCKI GP, BRANNON RB, GARDNER DG, SAPP P. Histogenesis of the lateral periodontal cyst and the gingival cyst of the adult. *Oral Surg* 1980, 50: 327-334
129. ALTINI M, SHEAR M. The lateral periodontal cyst: an update. *J Oral Pathol* 1992, 21: 245-250
130. SLOOTWEG PJ. Osseous dysplasias. Στο: BARNES L, EVESON JW, REICHART P, SIDRANSKY D (Eds). World Health Organization Classification of Tumours. Pathology and Genetics of Head and Neck Tumours. IARC Press, Lyon, 2005: 323
131. SCIUBBA JJ, FANTASIA JE, KAHN LB. Atlas of Tumor Pathology. 3rd Series. Fascicle 29. Tumors and Cysts of the Jaws. Armed Forces Institute of Pathology, Washington, D.C., 2001: 151-153, 216-221
132. SUMMERLIN D-J, TOMICH CE. Focal cemento-osseous dysplasia: a clinicopathologic study of 221 cases. *Oral Surg* 1994, 78: 611-620
133. COHEN MMJr, SIEGAL GP. McCune-Albright syndrome. Στο: FLETCHER CDM, UNNI KK, MERTENS F (Eds). World Health Organization Classification of Tumours. Pathology and Genetics of Tumours of Soft Tissue and Bone. IARC Press, Lyon, 2002: 357-359
134. DAHLKEMPER P, WOLCOTT JF, PRINGLE GA, HICKS MA. Periapical central giant cell granuloma: a potential endodontic diagnosis. *Oral Surg* 2000, 90: 39-45
135. JUNDT G. Central giant cell lesion. Στο: BARNES L, EVESON JW, REICHART P, SIDRANSKY D (Eds). World Health Organization Classification of Tumours. Pathology and Genetics of Head and Neck Tumours. IARC Press, Lyon, 2005: 324
136. SLOOTWEG PJ, EL MOFTY SK. Ossifying fibroma. Στο: BARNES L, EVESON JW, REICHART P, SIDRANSKY D (Eds). World Health Organization Classification of Tumours. Pathology and Genetics of Head and Neck Tumours. IARC Press, Lyon, 2005: 319-320
137. RUSHTON MA. An osteoid osteoma of the mandibular alveolus. *Oral Surg* 1951, 4: 86-88
138. GREENE GWJr, NATIELLA JR, SPRING PNJr. Osteoid osteoma of the jaws. Report of case. *Oral Surg* 1968, 26: 342-351
139. HUTCHISON IL, HOPPER C, COONAR HS. Neoplasia masquerading as periapical infection. *Br Dent J* 1990, 168: 288-294
140. KLEIN MJ, PARISIEN MV, SCHNEIDER-STOCK R. Osteoid osteoma. Στο: FLETCHER CDM, UNNI KK, MERTENS FF (Eds). World Health Organization Classification of Tumours. Pathology and Genetics of Tumours of Soft Tissue and Bone. IARC Press, Lyon, 2002: 260-261
141. KEYES GG, BALABAN FS, LATTANZI DA. Periradicular lymphoma: differentiation from inflammation. *Oral Surg* 1988, 66: 230-235
142. WRIGHT JM, RADMAN WP. Intrabony lymphoma simulating periradicular inflammatory disease. *J Am Dent Assoc* 1995, 126: 101-105
143. REICHART PA, ROEMELING RV, KRECH R. Mandibular myelosarcoma (chloroma): primary oral manifestation of promyelocytic leukemia. *Oral Surg* 1984, 58: 424-427
144. SALEH MN, RODU B, PRCHAL JT, De LEON ER. Acute myelofibrosis and multiple chloromas of the mandible and skin. *Int J Oral Maxillofac Surg* 1987, 16: 108-111
145. BARKER GR, SLOAN P. Maxillary chloroma: a myeloid leukaemic deposit. *Br J Oral Maxillofac Surg* 1988, 26: 124-128
146. BRUNNING RD, BENNETT J, MATUTES E, HEAD D, FLANDRIN G, HARRIS NL et al. Acute myeloid leukaemia not otherwise categorised. Στο: JAFFE ES, HARRIS NL, STEIN H, VARDIMAN JW (Eds). World Health Organization Classification of Tumours. Pathology and Genetics of Tumours of Haematopoietic and Lymphoid Tissues. IARC Press, Lyon, 2001: 91-105

147. PERLMAN EJ. Ewing's sarcoma, lymphoma, and Langerhans' cell proliferations. Στο: HELLIWELL TR (Ed). *Pathology of Bone and Joint Neoplasms. Major Problems in Pathology. Vol 37.* Saunders, Philadelphia, 1999: 279-303
148. PRINGLE GA, DALEY TD, VEINOT LA, WYSOCKI GP. Langerhans' cell histiocytosis in association with periapical granulomas and cysts. *Oral Surg* 1992, 74: 186-192
149. La ROCCA G, ANZALONE R, BUCCHIERI F, FARINA F, CAPELLO F, ZUMMO G. CD1a and antitumour immune response. *Immunol Lett* 2004, 95: 1-4
150. ASHBURY AK, JOHNSON PC. Pathology of Peripheral Nerve. Στο: BENNINGTON JL (Ed). *Major Problems in Pathology. Vol 9.* Saunders, Philadelphia, 1978: 242-245
151. JENSEN JL, WUERKER RB, CORRELL RW, ERICKSON JO. Epithelial islands associated with mandibular nerves. Report of two cases in the walls of mandibular cysts. *Oral Surg* 1979, 48: 226-230
152. WYSOCKI GP, WRIGHT BA. Intraneural and perineural epithelial structures. *Head Neck Surg* 1981, 4: 69-71
153. GEORGE DJr, GOULD AR, BEHR MM. Intraneural epithelial islands associated with a periapical cyst. *Oral Surg* 1984, 57: 58-62
154. BRANNON RB, FOWLER CB. Intraneural epithelial islands associated with periapical granulomas: a cause for concern? *J Oral Maxillofac Surg* 2003, 61: 725-728
155. EVERSOLE LR, LEIDER AS. Maxillary neuro-epithelial structures resembling those seen in the organ of Chievitz. *Oral Surg* 1978, 46: 555-558
156. ZENKER W. Juxtaoral Organ (Chievitz's Organ). Morphology and Clinical Aspects. *Urban and Schwarzenber, Baltimore-Munich*, 1982
157. MULLER E, ZENKER W. Enzyme-histochemistry of the juxtaoral organ in man ("organ of Chievitz"). *Histochemistry* 1981, 71: 279-290
158. TSCHEN JA, FECHNER RE. The juxtaoral organ of Chievitz. *Am J Surg Pathol* 1979, 3: 147-150
159. DANFORTH RA, BAUGHMAN RA. Chievitz's organ: a potential pitfall in oral cancer diagnosis. *Oral Surg* 1979, 48: 231-236
160. PANTANOWITZ L, BALOGH K. Significance of the juxtaoral organ (of Chievitz). *Head Neck* 2003, 25: 400-405

**ΔΙΕΥΘΥΝΣΗ ΕΠΙΚΟΙΝΩΝΙΑΣ:**

Παναγιώτα Οικονομοπούλου  
Σερρών 6  
152 31 Χαλάνδρι  
ΑΘΗΝΑ